

МИНИСТЕРСТВО ГЕОЛОГИИ СССР  
ПРОИЗВОДСТВЕННОЕ ОБЪЕДИНЕНИЕ „УРАЛГЕОЛОГИЯ

Инз. № 125

ГОСУДАРСТВЕННАЯ  
ГЕОЛОГИЧЕСКАЯ КАРТА СССР  
МАСШТАБА 1:200 000

Серия Среднеуральская  
Лист О-41-VII

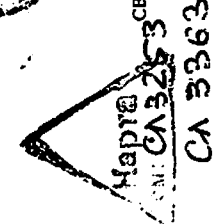
ОБЪЯСНИТЕЛЬНАЯ ЗАПИСКА

Составили Е.Г. Заборовский,  
С.А. Зворская  
Редактор В.А. Грачев

Утверждено Научно-Редакционным советом  
Мингега СССР при ВСГЕИ 14 декабря 1982 г., протокол № 28



11669



СЛ 32-3 СВЕРДЛОВСК 1985  
СЛ 3363

## В В Е Д Е Н И Е

Территория листа 0-41-У1, ограниченная координатами 58°40'-59°20' с.ш. и 60°00' - 61°00' в.д., располагается в пределах Верхногорского и Новолялинского районов Свердловской области.

Западная часть площади охватывает предгорья восточного склона Среднего Урала с увалисто-холмистым рельефом. Вершины холмов и увалов сложены, склоны пологие, слабовыпуклые. Абсолютные отметки водоразделов 220-260 м, максимальная - 298 м (гора Карапульская Сопка), относительные превышения 50-100 м. Речные долины асимметричны, глубина эрозионного вреза до 40 м, крутие склоны южной склонистости. Осажденность водоразделов слабая.

Центральная часть площади с пологоволнистым рельефом и абсолютными отметками 130-170 м относится к району приподнято-го отрепарированного пенеплена восточного склона Среднего Урала. Субмеридиональные пологие возвышенности соответствуют серпентинитовым массивам. Район прорезан разработанными речными долинами, глубина эрозионного вреза до 30 м. Долины ящи-кообразной формы обычно с пологими склонами. Уплощенные водоразделы и широкие днища долин заболочены. Естественные обна-жения наблюдаются только в крутих береговых уступах.

Восточная часть района приналежит Западно-Сибирской низменности, представляет почти плоскую сильно заболоченную равнину с абсолютными отметками 120-140 м. Речная сеть разрежена, реки меандрирующие, долины широкие с неглубоким врезом и на-глубоким уклоном. Естественные обнаружения наблюдаются только в береговых склонах крупных рек.

Климат района резко континентальный с довольно низкой среднегодовой температурой (-0,1-0,50) и продолжительной холодной зимой. Морозная погода с температурой 20-25° устойчива, абсолютный минимум температуры воздуха минус 50-52° (декабрь-фев-

раль). Лето умеренно теплое, изотерма июля +17°, максимум температуры воздуха +36° (июнь-август). Среднегодо- вое количество осадков 446–500 мм. Устойчивый снежный покров образуется в начале ноября. Средняя мощность снежного покрова в марте 45–50 см. Почвы промерзают на глубину до 90–142 см. Полное оттаивание почв – во второй декаде мая. Ветры преоблада- ют западные и юго-западные, средняя скорость 3–5 м/с.

Речная сеть принадлежит бассейну р. Тобол. Наиболее крупные реки – Тура, Дияля, Лобва. В западной части района они имеют пологорный характер с частыми перекатами, гидрорельсы врезают долин и скорость течения 1–1,5 м/с. При выходе на равнинные площади русла рек меандрируют среди широких заболоченных пойм, скорость течения 0,5 м/с, угол до 1–1,5°. Ледостав наступает в первой декаде ноября, вскрываятся реки во второй декаде апре- реля. Весенний паводок с подъемом уровня на 2–4 м продолжает- ся 1,5–2 мес. Реки Тура, Дияля и Лобва зарегулированы системой водохранилищ. По данным гидрологических болгарей качество воды рек Туры, Дияля и Лобвы не удовлетворяет нормам санитар- но-бытового использования водоемов; города Верхотурье, Новая Дияля и пос. Лобва не имеют очистных сооружений и являются пос- тоянными загрязнителями речных вод.

Район расположен в зоне тайги, распространены преимущест- венно смешанные леса. Общая выровненность и слабый дренаж ме- диуситет в центральной и восточной частях площасти приводят к широкому развитию болот. Преобладают подзолисто-солотнины, тор- фяно-солотнины и болотные почвы.

Район относится к числу малообжитых территорий со слабозаселенной экономикой и редкой сетью путей сообщения. Основная часть населения сосредоточена в г. Новая Дияля (17,5 тыс. жите- лей) пос. Лобва (11,3 тыс.) и г. Верхотурье (9 тыс.). Экономика района связана с заготовкой и переработкой древесины – Новоля- линской целлюлозно-бумажной комбинат и леспромкомбинат. Вер- хотурский лесохимический завод, леспромкомбинат, леспромхоз, химлескоз. Лобвинский лесокомбинат, леспромхоз, гипромлесхоз. Сельское хозяйство мясо-молочного и овощеводческого на- правления. Минеральные ресурсы практически не осваиваются.

Улучшенная грунтовая дорога связывает города Верхотурье, Но- вую Диялю, поселки Лобев, Дашово, Коптяки, Красный Яр, Поздня- ковку. Речная сеть проселочных дорог пригодна для высокопрохо-

димого автотранспорта в сухое и зимнее время года. В стадии строительства автомагистраль Свердловск–Серов, проходящая че-рез центральную часть площасти. В межнациональном направлении территории пересечена электрифицированной железнодорожной ма- гистралью Свердловск–Североуральск. Районные центры связаны местными автодорогами с г. Свердловском.

## ГЕОЛОГИЧЕСКАЯ ИЗУЧЕННОСТЬ

Геологическая изученность района неравномерна, основной объем геологических и геофизических работ сосредоточен в западной части листа, менее изучена восточная половина площасти. Первые сведения о геологическом строении района получены в результате путешествий и маршрутных наблюдений И. Г. Гмелина, П. С. Чалласа, М. Н. Карпинского, Г. Розе, Э. Гофмана, К. Носылова, А. М. Земцова, А. П. Каргинского, А. А. Краснопольского (первая по- ловина XVII–XIX вв.).

В 1927–1939 гг. маршрутные наблюдения в восточной части площасти с целью изучения мезозойских и кайнозойских отложе-ний проводили: А. А. Коэлов [46], С. В. Эштейн [102, 103], Е. Е. По-лов [76], Е. П. Александрова [21]. В это же время В. М. Сергиев-ским была составлена геологическая карта масштаба 1:200 000 западной и центральной частей площасти и дано обстоятельное описание стратиграфии, тектоники и полезных искошаемых [13].

С 1940 г. в пределах листа началось систематическое прове-дение крупномасштабных геологическихъемочных работ: С. Д. Радинович [80], Н. В. Павлова [69], Т. А. Смирнова [90], К. В. Никифорова [8, 65], В. Л. Мухина и др. [59], Р. А. Соктина и др. [94], З. В. Шала-гинов и др. [101], и к началу 60-х годов вся западная полови-на листа была окхачена геологической съемкой масштаба 1:50000. В целом эти работы отличает тщательность петрографических ис-следований и использование при расчленении вулканогенных об-разований принципиально более сложных стратиграфических схем, раз-работанных в основном для смежных районов В. М. Сергиевским [87] и Н. А. Штрейсом [19]. При расчленении мезозойских и кайнозой-

зойских отложений использовались в основном литолого-петрографические признаки, в связи с чем предложение стратиграфических схем часто было недостаточно обоснованы. В результате проведенных работ положительно оценивается перспективы западной части района относительно меднолтгданного и старновомагнетитового оруденений, россыпного золота и других полезных ископаемых. Обращается внимание на широкое развитие кварц-глиноцитовых пестранников как ценного сырья для производства минеральных красок [81, 82]. Геодинамические методы при геологическом картировании не использовались.

Завершением геологических исследований этого этапа можно считать составление геологической карты масштаба 1:200000 листа 0-41-УП под редакцией И.Д.Соболева [15], представляющей картографическую сводку всех имеющихся на это время геологических материалов.

Стратиграфией верхнего мезозоя и кайнозоя восточного склона Урала в этот период занималась В.П.Рентгартен [11, 12]; им детально были описаны обнажения в бассейне рр. Ляля и Лобан. Т.В.Длановой [3], Г.И.Черняковским [17, 99], А.С.Мельниковой и Р.И.Ерофеевской [58] были составлены в основном для смежных районов обстоятельные сводки по петрографии, петрологии вулканогенных пород, минералогии колчеданных проявлений и выполнены первый опыт фациального расчленения и палеогеография - ческих реконструкций вулканогенно-осадочных толщ.

Последние работы с 1938 по 1958 г. проводились в небольшом объеме на различные полезные ископаемые (альманы, ртуть, каолин, слюду, мезодорийские угли, голубой амфибол-асбест, фосфориты) и не дали положительных результатов: М.А.Гневутов [33], Н.И.Архангельский [26], П.Т.Натек [62, 63], В.Г.Пресман [79], Н.А.Попова [77, 78], Н.Н.Старцев [91], Н.А.Говорухин [34], Г.М.Пакулин [70].

Постановкой комплексных поисково-разведочных и комплексных геологосъемочных работ масштаба 1:50000 со значительными объемами карттирования бурения на ранее засечных площадях настает новый этап геологического изучения района.

В 1958-1968 гг. Б.М.Алентьев и др. [24, 25] дана оценка перспектив бокситоносности площади на водоразделе рр. Гуры и Полуденного Актая, разведана Туринско-Талицкая золото-платиновая россынь, одновременно решены основные вопросы стратиграфии и

возраста бокситов, детально расчленены мезозойские и кайнозойские отложения.

В 1962-1967 гг. В.А.Куликов [53], Л.И.Кононова [47], Ю.А.Капиус [43], В.М.Назаров [60] на основании комплексных поисковых работ на спилкитно-никелевые руды в пределах Лобинского и Вагранского серпентинитовых массивов сделали заключение об отсутствии на опицкованной площасти месторождений спилкито-никелевых руд.

В 1965-1970 гг. Б.И.Петров, Е.Г.Заборовский и др. [71] провели комплексную геологическую съемку масштаба 1:50000 в магнитной части площи. В результате применения комплекса геофизических методов, значительных объемов буровых работ детально изучен разрез отложений мезозоя и кайнозоя. Впервые для района составлена геологическая карта домезозойских образований масштаба 1:50000 и ряд специальных карт, дана перспективная оценка района на различные полезные ископаемые. Авторами использован формационный принцип расчленения геологического разреза, приводится обширный практический материал, данные палеонтологических, палинологических, петрографических и других видов исследования.

В 1967 г. Б.П.Хозиным, И.И.Зенковым и др. [45] завершена комплексная геологическая съемка масштаба 1:50000 в пределах листа 0-41-37-В (западная половина). На основе формационного и фациального анализа детально расчленены вулканогенные образования и даны методические рекомендации по картированию превышающих вулканогенных толщ.

В 1974-1976 гг. В.С.Селезнев, Г.И.Емельянов и др. [86] выполнили гидрогеологическую съемку масштаба 1:200000 листа 0-41-УП, которая сопровождалась лемешеврированием аэрофотоматериалов.

В 1976-1979 гг. Е.Г.Заборовский, З.П.Закохруничев и др. [40] провели аэрофотогеологическое картирование масштаба 1:50000 листов 0-41-25-А,Б,В,Г на основе комплексного лемешеврирования аэрофотоматериалов, обобщения всей геолого-геофизической информации прежних лет и контрольных полевых работ. В связи с отсутствием прямого лемешеврирования объектов ряда выводов и построений авторов имеет проблематичный характер.

Существенное значение в изучении геологического строения и

полезных ископаемых района имели в этот период тематические научно-исследовательские работы по литолого-стратиграфическому расчленению континентальных осадков в пределах Акташ-Тагильского участка Иильско-Тагильской продольной эрозионно-структурной дendirии - Г.И.Даур и др. [98], А.В.Ломаев и др. [56]; по изучению петрохемии вулканогенных гор Тагильского мегасинклиниория - С.В.Автонеев, Р.А.Ситкина [20] и его прогнозно-перспективной оценке на медные руды на основе структурно-фашиального анализа - Е.С.Контарь и др. [48]; по составлению структурно-формационной карты магматических образований Тагильского мегасинклиниория - И.С.Каретин, Е.М.Ананьев и др. [44] \*) и карты гранитоидных формаций Восточно-Уральского поднятия - М.С.Рапопорт, Е.М.Ананьева [83] масштабов 1:200000 как основы для прогнозирования различных типов оруденения; по обобщению современных представлений о геологическом развитии и металлогении Урала - К.К.Золев, М.С.Рапопорт и др. [2].

Геофизическая и зученность. Первый опыт применения геофизических методов относится к 1944-1947 гг., когда Д.Ф.Уманцев [36], Г.Б.Джини [55], П.А.Кутин [52] провели первые профильные пересечения, включавшие аэро- и наземную магнитометрию и электроразведочные работы.

В 1953-1958 гг. В.И.Страхов и др. [33], Н.Ю.Имбрю [41], А.П.Брылев и др. [39], И.Я.Нансканси и др. [61], С.П.Ошев и др. [68] выполнили большой объем площадных наземных магнито-метрических работ масштаба 1:25000 и 1:10000 с целью оценки перспектив района на железо. В это же время Н.П.Ермакова и др. [38] и А.В.Тарасова и др. [95] провели площадные электроразведочные работы методом ВЭЗ в восточной половине района с целью выявления угленосных депрессий. В 1961 г. Н.Ю.Имбрю и др. [42] обобщили результаты магнитометрических работ и составили сводные магнитные карты масштаба 1:50000 и 1:200000 на всю площасть листа.

В 1961-1962 гг. В.В.Дерев и др. [36] выполнили гравиметрический съемку масштаба 1:200000, в результате которой получены основные сведения о глубинном строении района.

\*) Основательно перспектив колчеданного оруденения существует несолько мнений. Одни исследователи [44] считают, что первоначальные являются только вулканические образования контрастной формации, другие [48], в том числе и авторы, в разряд спектических относят и непрерывные серии.

В 1964-1967 гг. аэрогеофизические работы масштабов 1:10000, 1:25000, 1:50000 В.А.Ульянена [97], А.В.Чурова и др. [100] позволили получить магнитные карты АГ и определить перспективность района на железо и радиоактивное сырье.

В 1976-1979 гг. Н.В.Гильзановым и др. [32] были проведены комплексные геофизические работы с целью поисков глубокозалегающих железных руд в северо-западной части площасти. Установлено отсутствие промышленных скоплений магнетитовых руд на глубине до 200-300 м.

В 1981 г. С.Д.Коскиным и др. [50] выполнена гравиметровая съемка масштаба 1:50000 в юго-западной части листа. В результате западная половина площасти вся оказалась обеспеченной качественными геодинамическими материалами масштаба 1:50000 и крупные, в то время как для восточной половины имеется карта только 1:200000 масштаба, при этом карта аномального магнитного поля составлена по данным съемок 50-х годов. Геокимическая изученность. Площадные геохимические исследования исследования проходили только в северо-западной части площасти.

В 1958 г. Г.А.Востротнуков [31] гидрохимические показали масштаба 1:50000 оквяти бассейн р.Ляли на площасти около 130 км<sup>2</sup>. Выявлен аномальный участок с повышенным содержанием меди в районе Травянского месторождения золота.

В 1967-1969 гг. под руководством Б.Г.Красильникова [73] проведены площаственные литеохимические поиски по вторичным ореолам рассеяния масштаба 1:25000 в северо-западной части площасти. Выявлено 19 комплексных геохимических аномалий, из них наиболее перспективная - Латинская была детализирована методом глубинных литеохимических поисков в комплексе с геофизическими методами [74]. Все выявленные геохимические аномалии не получили окончательной оценки.

Работы по подготовке геологических карт листа 0-41-У1 к изданию проведены с октября 1979 г. по июнь 1982 г. в соответствии с Инструкцией по составлению и подготовке к изданию листов Государственной геологической карты СССР масштаба 1:200000, 1969 г. и Сводной легендой Среднеуральской серии листов госу-дартственной геологической карты СССР масштаба 1:200000 (гл.ректоры М.С.Рапопорт, В.В.Шлагинов), утвержденной НГС Мингео СССР при ВСЕГЕИ 24 июня 1980 г.

Основой при составлении геологических карт, текстовых схем явились результаты геолого-земельных [40, 45, 71, 101], геоморфологических и поискового-разведочных [24, 25, 73, 74, 75] работ периода 1958–1979 гг., при этом были использованы первичные материалы предыдущих исследователей [59, 69, 80, 90 и др.]. Качество использованных материалов в целом удовлетворительное, хотя часто весьма неравномерно.

В восточной половине листа геологические работы не проводились, в связи с тем для составления геологических карт автором были приведены гендактионно-язычечные маршруты по рекам Лобве, Дяле, Отве, Актар и Тура; использованы материалы гидрогеологической съемки масштаба 1:200000 [86], геологополисковых работ на мезозойские утили [78], фосфориты [70] и другие полезные ископаемые.

Примерно на 80% площади имеются аэрофотоснимки масштабов 1:15000–1:30000, качество материала низкое, детализируемость плохая. При составлении геологических карт использовались карты аномального магнитного поля [42] и поля силы тяжести [36] масштаба 1:200000, дополнение результатами съемок более поздних лет [32, 40, 50, 71].

В подготовке материалов к изданию принимали участие: геолог Е.Г. Засборовский, геофизик С.А. Зворская, ст. техник-геолог Ф.А. Кременецкая и гидрогеолог Г.М. Новак.

С.А. Зворской собраны сведения по геофизической изученности, физическая свойствам пород, составлены схемы магнитного и гравитационного полей, проведена интерпретация геодинамических материалов. Ф.А. Кременецкой составлены списки месторождений, проявленных полезных ископаемых и пунктов минерализации. Глава Подземные воды и схема распространения водноносных комплексов и зон составлена Т.М. Новак по материалам В.С. Салминова [86]. Основные главы записки, схемы и приложения составлены Е.Г. Засборовским с участием С.А. Зворской. Редактор В.А. Грачев. Окончательная редакция карт и объяснительной записи выполнена главным редактором Среднеуральской серии В.В. Шлагиновым.

Ископаемые остатки определены в палеонтологической и литолого-стратиграфической частях объединения "Уралгеология" – М.В. Штурыгиной (ргузы), Ф.Л. Негт (табулаты), И.А. Бреинель (брхиоподы), О.В. Богоявленской (строматопороды). Г.Г. Зенковой (остракоды), А.И. Еремеевой (формаминыферы). А.И. Григорьевой (растения виды анапазов, изотопные определения возраста выполнены в лабораториях объединения "Уралгеология".

## С Т Р А Т И Г Р А Ф И Я

Главные особенности геологического строения района определяются положением его на стыке Тагильско-Магнитогорского прогиба и Восточно-Уральского поднятия, в связи с чем наблюдается четкая закономерность в распространении различных палеозойских и докембрийских образований в пределах двух структурно-фаунистических зон, соответственно – западной и восточной. Существенные различия в истории геологического развития этих структур обусловлены, с одной стороны, накопление в прогибе мощных среднепалеозойских толщ вулканогенных и осадочных пород, с другой – широкое распространение в поднятии метаморфических пород.

Метаморфические породы в пределах поднятия представлены преимущественно амфиболитами, плагиогнейсами и кристаллосланцами различного состава. Они условно датируются средним-верхним рифей и нижним палеозоем и могут считаться основанием сводного разреза района. Разрез палеозойских, вулканогенных образований протягивается с контрастной спилит-альбино-фидровой ассоциацией на гратовой серии нижнего-среднего мландовери, которая выше по разрезу последовательно сменяется вулканитами существенно кислого состава верхнего мландовери – сред-

<sup>24</sup> Определения проведены при выполнении палеонтологической партией темы: "Стратиграфия и возраст бокситов" [24] и съемочных работ Б.Н. Петрова, Е.Г. Засборовского и др. [71]. Списки ископаемых остатков, приведенные в тексте, в этом случае союро – вождаются только ссылкой на литературу, в других – указаны авторы сборов и определены.

него венока, затем – андезитового и андезито–базальтового составов верхнего венока–лудлова и вулканогенно–осадочными отложениями триасового–лохковского возраста (туринская свита). Завершается разрез палеозоя западной структурно–фаунистической зоной известняками нижнего (пражский ярус) и среднего (карпинский и висотинский горизонты) девона.

Положение района на границе восточного склона Урала с Западно-Сибирской низменностью объясняет развитие олигического чехла мезозойских и кайнозойских отложений в восточной части площади, среди которых выделяются: раннепермские дельтиально–проливально–карстовые образования, морские озерно–аллювиальные отложения лантурской свиты, нижне–верхнемеловые континентальные осадки мысовской свиты, верхнемеловые морские осадки камышловской и федоринской свит, палеоценовые и эоценовые морские осадки талицкой, серовской и ирбитской свит, континентальные отложения наурзумской свиты верхнего олигоцена, каракольской серии мысцево–нижнего плиоцена и кустанайской свиты верхнего плиоцена. Четвертичные отложения представлены эоловально–дельтиальными, озерно–аллювиальными, аллювиальными, дельтиальными и озерно–балотными образованиями.

## ВЕРХНИЙ ПРОТЕРОЗОЙ

### СРЕДНИЙ–ВЕРХНИЙ РИФЕЙ (Р<sub>1</sub>–?)

К среднему–верхнему рифу условно отнесен комплекс сложно дислоцированных и глубоко метаморфизованных пород, представляемых плагиоклазами и амфиболитами, которые распространены к востоку от Актаиско–Туринского и Лобинского серпентинитовых массивов. Редкие выходы метаморфических пород наблюдаются в береговых склонах рр. Ляля, Туры и Черной.

Весьма ограниченный геологический материал с учетом результатов анализа физических полей позволяет лишь оконтурить площади распространения пород комплекса и довольно условно выделить три этапа разреза: существенно амфиболитовый – по р. Ляле на отрезке г. Новая Ляля – пос. Ниж. Салтаново; плагиогнейсово–амфиболитовый – по береговым выходам в долине рек Туры и Черной восточнее г. Верхотурье и существенно плагиогнейсовый – по разрезам скважин южнее восточного конкакта серпентинитовых

массивов.

Магнитное поле над метаморфическими породами отрицательное, слабо дифференцированное (рис.1), что соответствует их магнитной восприимчивости: плагиогнейсы – 0–50·10<sup>-6</sup> СГС, амфиболиты – 0–300·10<sup>-6</sup> СГС [7]. Среднеэарфиметическое значение плотности амфиболитов 2,92 г/см<sup>3</sup>, плагиогнейсов – 2,70 г/см<sup>3</sup>. Контигениты амфиболитов (амфиболитовый и плагиогнейсовые) на пирестные типы разреза (амфиболитовый и плагиогнейсовые) на пирестые г. Новая Ляля фиксируются в гранитопионном поле разноподстильными аномалиями (рис.2). В юго–восточной части листа метаморфические породы в физических полях выражаются менее уверенно в силу своего смешанного (плагиогнейсово–амфиболитового) состава.

Метаморфические породы слагаются ограниченным набором типичных минералов, подчеркивающих глубокие преобразования и гомогенизацию перлитных пород различного состава в условиях амфиболитовой фации. Типоморфными минералами для всех разновидностей пород являются: плагиоклаз (андезин, олигоклаз), роговая обманка, кварц, реле биотит, гранат. Некоторое разнообразие структурных и текстурных признаков пород, слагающих комплекс, обусловлено неравномерным и, вероятно, неоднородным проникновением ультраметаморфизма, в связи с чем наблюдается различие магматитов (послойные, линзовидные, инъекционные, птигматиты и др.). Амфиболиты развитием пользуются послойные магматиты, субстратом которых является амфиболиты. Предполагается, что чаще всего именно такие магматиты проявляются в виде плагиогнейсов от лёгкого до меланократового состава во всех типах разреза, образуя обширные поля, в которых амфиболиты встречаются в виде прослоев или мелких неправильной формы тел с нечеткими границами типа реликтовых обособлений.

Амфиболиты характеризуются полосчатой или массивной текстурой, темно–серым, иногда почти чёрным цветом, мелко- и среднеразмеристой гранулометрией или лепиогранулометрией в структурной форме. Роговая обманка и андезин содержатся примерно в равных количествах (35–50%), присутствует биотит (до 10%), реже кварц, гранат. Последний в амфиболитах у пос. Ниж. Салтаново составляет до 5–10%.

В биотит–амфиболитовых плагиогнейсах преобладает андезин (40–60%), роговая обманка и кварц составляют 10–30%, биотит 5–10%. В существенно биотитовых разностях количество кварца

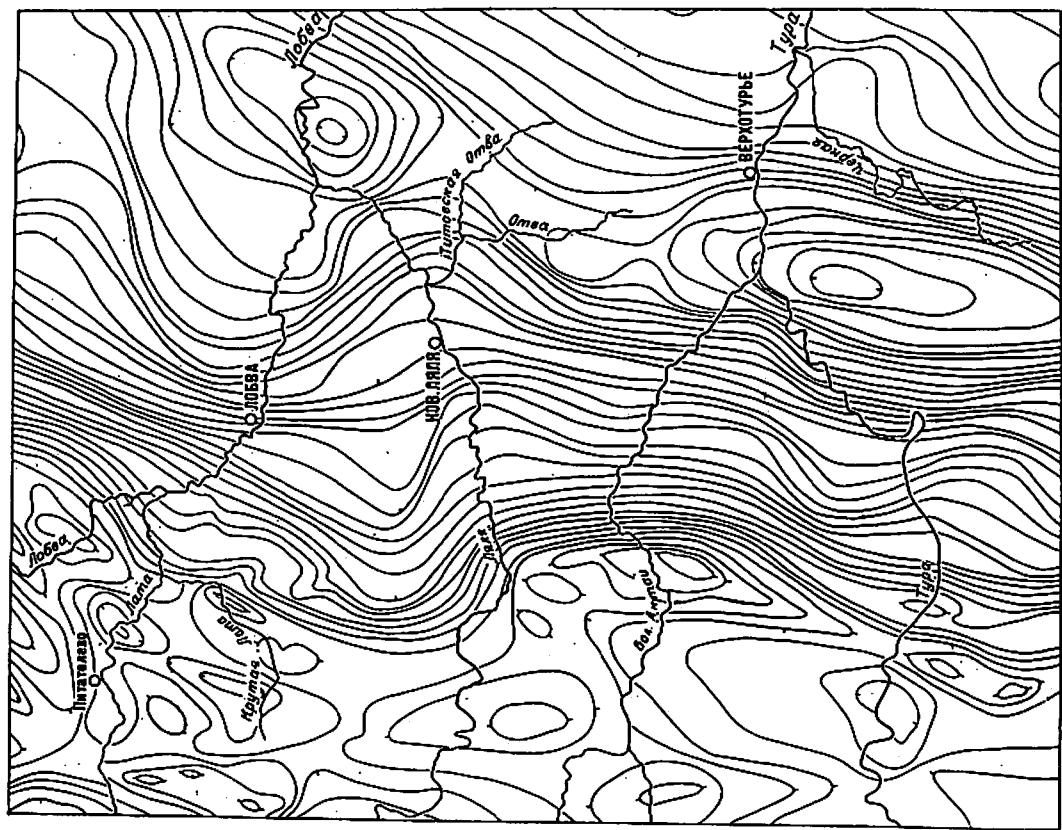


Рис.2. Схема гравитационного поля в условных изоаномиях синклинальной тякести (по материалам Е.М.Ананьевой)



Рис.1. Карта аномального магнитного поля за (по материалам Е.М.Ананьевой).

появляется до 50–60%, плагиоклаз представлен олигоклазом, в лепидолитоамфибластовых тканях наблюдается ветвящиеся, причудливой формы выделения решетчатого микроклина (до 2–3%). Плагиогнейсы и амфиболиты содержат близкий набор акцессорных минералов: сфеен, апатит, рутил, циркон, турмалин, магнетит. В тяжелой фракции амфиболитов у восточной окраины г. Верхнотурье встречены единичные зерна корууда. Средний химический состав биотит-амфиболовых плагиогнейсов приведен в прил. 9.

Изотопные определения возраста галли-аргоновым методом биотит-амфиболового плагиогнейса в среднем течение Р.Актаи 447±25 млн. лет (прил. 8, проба 3), роговой обманки из амфиболита у восточной окраины г. Верхнотурье – 440 млн. лет (проба 14), биотита из тех же амфиболитов – 330 млн. лет (проба 14). Близкие к приведенным значения изотопного определения возраста галли-аргоновым методом получены Р.А.Куриловым для метаморфических пород сменной пачки – 451–480 млн. лет [5], Н.С.Лисовским для биотита из плагиогнейсов – 434 млн. лет [6]. Полученные цифры могут соответствовать скорее всего времени проявления этапов регионального метаморфизма, а не возрасту магматических пород.

По характеру разреза, вещественному составу и степени метаморфизма описываемые метаморфические породы сопоставляются с пильменогорским гнейсово-магматитовым комплексом, возраст которого ограничивается средним-верхним рифием, согласно стратиграфической схеме, утвержденной МСК СССР в 1978 г.

### НИЖНИЙ ПАЛЕОЗОЙ (Pz,?)

Нижним палеозоем условно датируется толща дислоцированных кристаллических сланцев, обнажающихся в береговых склонах р.Туры и ее правого притока р.Коссольники. На водоразделе рр.Туры и Большой Актаи они перекрыты мезозойскими и кайнозойскими осадками мощностью 15–50 м. Редколами шурфами вскрыты в 9 км западнее пос.Любовь среди серпентинитов Любовинского массива; выражены по характеру магнитного поля и геологическим наблюдениям на стечении площадях вдоль восточного контакта Вагранского и Любовинского серпентинитовых массивов [6] и в его восточной части листа [35]. Наиболее полное представление о

характере залегания, состоянию и положению в разрезе различных по составу кристаллических сланцев дает разрез по рр.Тура и Коссольнике, пересекающий толщу вкrest простирания.

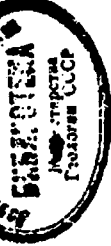
Верхнюю часть разреза съягает эпидот-амфиболовые, которые обнажаются западнее Д.Волотино. Породы темно-серого цвета с массивной или сланцеватой текстурой. Структура гранонематобластовая с реликтиами порфировой, которая определяется наличием крупных порфиробластов опицитизированной роговой обманки. Амфиболиты и сланцы состоят из роговой обманки (65–80%), альбитита и эпидота (20–33%), иногда присутствует кварц; акцессорные минералы: апатит, сбиен, магнетит.

Ниже по разрезу характерно чередование сланцев амфиболовых с существенно полевошпат-кварцевыми, кварцевыми и слюдистыми со слюсто-сланцеватой, силикатной текстурами и сочетанием фибролепидо- и нематогранобластовых структур. Залегание сланцев вкремненое, азимут падения 270–290°, угол 70–80° (сланцеватость совпадает со слоистостью). Такой характер разреза сохраняется примерно до устья р.Коссольники.

Ниже по течению р.Туры в разрезе нижней части толши преобладают силико-полевошпат-кварцевые, сплошно-кварцевые граffitiстые, гранатодержащие сланцы, кварциты и мраморы. Для этой части разреза характерно частое переслаивание сланцев разного состава. Мощность прослоев мраморов достигает 80 м. Породы дислоцированы с образованием плойчатых, микроплойчатых текстур, складок волочения и т.п.

Состав сланцев нижней части разреза зависит от различных соотношений альбит-одигиоклаза, биотита зеленошато-бурого ( $Ng=Km=I, 646$ ) и ярко-красного (флогопитомодобного,  $Ng=Km=I, 615$ ), роговой обманки ( $Ng=I, 680-I, 686$ ,  $Km=I, 670-I, 677$ ,  $Wp=I, 658-I, 665$ ), диопсида, реже салита ( $Ng=I, 703-I, 713$ ,  $Km=I, 680-I, 694$ ,  $Wp=I, 679-I, 687$ ), кварца, микромилна, карбоната, эпилота, граната, графитистого материала. Микроклин развивается в лейкократовых сланцах, где его солерование иногда доходит до 20%. Очень редко микроклин образует крупные линзоидные порфиробласты, придающие породе очковую структуру. В сланцах, содержащих даже незначительные по мощности прослойки карбонатного материала, наблюдаются зерна диопсид-сацита. Относительно менее глубокие преобразования кристаллизуются в основных эпидот-амфиболовите-

11669



вой фации дают возможность определить основные особенности первичного состава материальных пород. В верхней части разреза преобладали вулканиты основного состава с полтитенным прослоем вулканогенно-осадочных и осадочных пород, в нижней – терригенные породы полимиктового, архозового и кварцевого составов с прослоями известняков и углисто-кремнистых осадков.

Физические свойства кристаллосланцев изменяются в широких пределах, что объясняется нестабильностью их состава. Средне-арифметическое значение плотности составляет  $2,86 \text{ г}/\text{см}^3$ , при наибольшее вероятной  $2,74 \text{ г}/\text{см}^3$ , предел изменения магнитной восприимчивости  $0-2970 \cdot 10^{-6} \text{ СГС}$  при наиболее вероятной  $0-50 \cdot 10^{-6} \text{ СГС}$  [7]. В связи с этим участкам развития кристаллосланцев соответствует слабоперменное пониженное магнитное поле интенсивностью  $-750-100$  гамм. В поле сель тяжести эти породы располагаются в зоне крупной гравитационной ступени, отвечающей границе Тагильско-Магнитогорского прогиба и Восточно-Уральского поднятия.

Взаимоотношения кристаллосланцев с более древними метаморфическими породами не выяснены. Ископаемые остатки отсутствуют. По характеру разреза, вещественному составу и степени метаморфизма они сопоставляются с аналогичными образованиями в обрамлении Ильменогорского комплекса и, вероятно, соответствуют определенному стратиграфическому уровню, условно принятому как нижний палеозой. Мощность около 900 м.

Почти не сопровождающие широкластикой и отвечающие по составу контрастной ассоциации.

В нижней части разреза преобладают диабазы, микродиабазы, диабазовые порфириты с прослоями спилитовидных афиритов, микропорфиритов плагиоклазовых и пироксен-плагиоклазовых базальтового и андезито-базальтового составов [7]. Липаритовые и липарито-диабазовые порфиры среди них, судя по наблюдениям в обнажениях берегового склона р. Полуденный Актай (л. Полуденная), образуют редкие пластообразные интрузивные залежи типа силлов мощностью до 50 м с секущими апорфазами. В обнажениях правого берегового склона р. Полуденный Актай у д. Полуденной наблюдаютсь кристалло-литро-литокластические туфы мощностью 5-16 м, прослаивающиеся с базальтовыми микропорфиритами и микролиабазами мощностью I-II м (западут падения  $0-30^\circ$ , угол падения  $60-70^\circ$ ). Широкластическая структура затушевана спеканием обломков с глиновой и раковитой структурой базальтовых афиритов, микропорфиритов и интексивным окварцеванием. Витрокластический пузинистый пемзовый материал сварен в сплошную лавоподобную флюидальную массу с перлитовыми структурами. Для этой части разреза характерно широкое развитие сравнительно крупных субвулканических тел основного состава (долериты, габбро-диабазы), которые в магнитном поле отвечают изометричные в плане положительные аномалии интенсивностью 200-500 гамм.

В верхней части сводного разреза наблюдается чередование примерно в равных объемах мицелейкаменных спилитовидных афиритов базальтового состава и фельзитовых липарито-дацитовых порфиритов.

Севернее р. Дили по геофизическим материалам предполагаются участки преимущественного развития вулканитов кислого состава, которым соответствует купчий минимум силы гравести с треми эпицентрами относительной интенсивностью 2 мг (см. рис. 2). Магнитное поле ровное, интенсивность – 400-200 гамм. В пределах этих участков отдельнофирмированы концентрические колышевые морфоструктуры диаметром до 2 км, просвечивающие под покровными осадками мезозоя и кайнозоя и, возможно, отвечающие положению экструзионных куполов [40].

Все разновидности эфузивов в основного состава отличаются только структурами без существенного изменения минерального и химического составов: характерен афировый и микропорфировый

## СИЛУРИЙСКАЯ СИСТЕМА

### НИЖНИЙ ОТДЕЛ

УДАЛЬЧЕВИНСКИЙ ЯРУС,  
НИЖНИЕ СРЕДНИЕ ПОДЛЯРЫ (S<sub>1-2</sub>)

Вулканогенение и вулканогенно-осадочное образования этого возраста развиты в западной структурно-фацальной зоне, образуя две разобщенные (западную и восточную) полосы с характерными для каждой осадностями разреза.

В восточной полосе под мезозойскими и кайнозойскими осадками редкими скважинами от широты р. Туры до северной границы района прослежены эфузивные и струевулканические образования,

облик пород. В диабазовых порфиритах вкрашены представлены альбитизированным основным плагиоклазом и актинолитизированным калинодиоксено. Основная масса состоит из лейст албита, зерен пойкалосфигитов, долеритовых структур. В макропорфиритах преобладает сериально-микропорфировая, интерсертальная и гиалопилитовая структуры, а в афирикатах — интерсертальная. Наличие удаленных лейст албита с расщепленными юницами сближает структуру пород в целом со спилитовой. Минералы выполнены кварцем, эпидотом, хлоритом.

Среднее значение плотности основных аффузивов  $2,67 \text{ г/см}^3$ , магнитная восприимчивость изменяется в пределах  $7\text{--}2830 \cdot 10^{-6} \text{ СГС}$  [71].

Порфиры липаритового и липарито-дацитового состава имеют фельзитовую, микропорфиритовую, сферолитовую, гранодиоритовую, редко трахитоидную структуру основной массы. Состав пород: албит (35–68%), кварц (20–35%), гидросиенит и хлорит (9–13%), эпидот (до 13%), сфеен, лейкоксен, апатит. Породы практическа немагнитны ( $0\text{--}120 \cdot 10^{-6} \text{ СГС}$ ), имеют среднюю плотность  $2,57 \text{ г/см}^3$  [71].

Булганинты восточной полосы обычно в тектонических склоках выявлены в соприкосновение с различными по составу и возрасту породами, включая известняки прямского яруса нижнего девона. Взаимоотношений с посттиапилическими образованиями не установлено.

В разрезах западной полосы нижне-среднеландштадийские образования представлены ассоциацией вулканогенных пород, близких по составу к вулканитам верхней части разреза восточной полосы. Для них характерно полтиленное развитие диабазов и диабазовых порфиритов, наличие полупечных лав спилитов с яшмовидным материалом, появление в разрезе вулканитов андезито-дацитового состава, тонкослоистых туфопесчаников, ульсто-кремнистых сланцев. На примыкающей с севера площади, вдоль северной границы листа при проведении геологического доказательства масштаба 1:50000 [54], установлен контрастный тип разреза: спилиты, микропорфириты базальтовые и андезито-базальтовые с подчиненным субвулканитами кислого состава. Аналогичный разрез установлен в долине р. Кецровой по скважинам поискового бурения и в обнаженных береговых склонов р. Цели и на устье р. Поздняковка, где спилиты и микропорфириты составляют значительную часть разреза толщи [40, 101]. Достоверно установить соотношение и положение

в разрезе описываемых пород затруднительно из-за плохой обнаружности, в связи с чем вопрос о возрасте и формационной принадлежности данной ассоциации пород до сих пор остается дискуссионным\*.

Поле сильной тяжести характерных особенностей не имеет. Гравитационный макрофут (5х14 км) с амплитудой в 2 мГи зашалнее д. Ольховка (см. рис. 2) носит глубинный характер и скорее всего обусловлен интрузивными породами основного состава. Магнитное поле однородное, имеет повышенный фон до 200 гамм и осложнено локальными аномалиями различной формы интенсивностью 400–600 гамм.

В целом описываемые вулканогенные образования западной и восточной полос относятся к натровой серии (прил. 9) с широким проявлением гипотермально-метасоматических процессов (окварцевание, серпентинизация), развитием вторичных кварцитов, кварцитовых сланцев с сульфидной минерализацией, в связи с чем плоскости распространения этих пород рассматриваются как перспективные на оруденение колчеданного типа.

Возраст принят по аналогии со смежным с запада районом, где в кремнисто-углистых сланцах, перекрывающихся с маломощными покровами спилитов и микропорфиритов базальтового состава, вблизи западной рамки листа собрана фауна граптолитов среднего лландоверия [49]. Общая мощность разреза около 1500 м.

#### ЛАНДОВЕРНИЙСКИЙ ЯРУС. ВЕРХНИЙ ПОДЪЯРУС. ВИНОКОРСКИЙ ЯРУС. СРЕДНИЙ ПОДЪЯРУС (Sl<sub>5</sub>–v<sub>2</sub>)

Вулканогенные и вулканогенно-осадочные породы верхнего лландоверя-среднего венгеля имеют ограниченное распространение в западной структурно-фаунистической зоне, развиты на правобережье р. Цели у западной рамки листа и в юго-западной части района.

На правобережье р. Цели они представлены андезитовыми, андезито-дацитовыми, дацитовыми порфиритами, их туфами, липарито-дацитами, кислыми туфами и вулканитами. Считают существенной особенностью этой полосы широкое развитие вулканитового состава образующихся с гипабиссальным гранитоидами, развитыми в этой части района сложную генетическую единицу ассоциации. Но Ю.С. Каретину [44], описываемые породы относятся к контрастной формации раннего-среднего лландоверия.

вны, липарито-дацитовыми порфирями, подчиненными микропорфиритама ампелито-базальтового состава, турмалинами, туришитами, слявочными иго-восточную периферию Гарникского вулкано-купольной структуры. Состав и соотношение пород в разрезе установлены в смежном районе при проведении поисковых работ на Гарникском рудодропильном [22, 23].

В пределах рассматриваемого района обнаружено единого комплекса плаги. Единичные выходы дацитовых, ампелитовых порфиритов и липарито-дацитовых порфиритов с подчиненными прослоями ампелито-базальтовых микропорфиритов, наблюдаются в северо-восточных склонах правого берега р.Ляли винес пос. Позанниковки. В гравиметрическом поле плоскости их развития соответствует четким магнитным аномалиям в 2 мГл. Магнитное поле слабо дифференцировано, отдельные аномалии достигают 300–500 гамма. Характерными особенностями вещественного состава описываемых образований правобережья р.Ляли являются: резко подчиненная роль эфузивных ампелито-базальтового состава, широкое развитие субвулканического состава, присутствие вулканического пироксена и роговой обманки во всех разновидностях щаров, наличие высокосиликатных пород, натровой серии с повышенным содержанием кальция до 2,12% (прил. 9).

Графики корреляционных отношений  $\text{Ca}$ ,  $\text{Fe}$ ,  $\text{Co}$ ,  $\text{Cr}$  и  $\text{Zr}$  кислых дифференциатов верхнего ландшовера-среднего венгеля и контрастной ассоциации нижнего-среднего ландшовера (западной полосы) неспецифичны [40].

Породы в основном немагнитны, только 10–20% имеет магнитную восприимчивость  $350\text{--}2000 \cdot 10^{-6}$  СИУ. Средние значения плотности для лагтологических разновидностей лемат в пределах 2,59– $2,65 \text{ г}/\text{см}^3$  [40], при этом кислые разности имеют наименьшую плотность, и в связи с этим дацит-липаратит Гарникской вулкано-купольной структуры фиксируется четким гравигидродинамическим.

В описываемых породах с зонами трещиноватости сязано прорывание гидрогермерального метасоматоза в виде окварцевания и серicitизации (примеси бемеле р.Ляли и на других участках). В смектитном с запада районе к подобным породам приурочено Гарникское колчеданно-полиметаллическое рудопроявление [22, 23]. В юго-западной части района в основании разреза верхнего ландшовера-среднего венгеля Б.П.Козинин [45] отмечается замет-

ная контрастность состава эфузивных образований, обусловленная одновременным наличием базальтов и дацитов. Вверх по разрезу контрастность постепенно нарушается появлением промежуточных дифференциатов – андезитов, андезито-базальтов и вулканогенно-осадочных пород андезито-базальтового состава\*.

Взаимоотношения с никелевыми комплексами в пределах листа не установлены. Возраст признается по аналогии со смекитом районом [45, 49] и предполагается непрерывное наложение вулканогенных образований в западной части листа от нижнего ландшовера до луждова эксплуатационно. Мощность около 1200 м.

#### НИЖНИЙ ОТДЕЛ. ВЕНДОКСКИЙ ЯРУС. ВЕРХНИЙ ПОДЬЯРУС – ВЕРХНИЙ ОТДЕЛ. ЛУДЛОВСКИЙ ЯРУС ( $S_3$ – $l$ – $d$ )

К этому возрасту отнесены вулканогенные и вулканогенно-осадочные образования довольно разнообразного фациального состава, развитие в западной структурно-диапазонной зоне в основном на водоразделе рр. Туры и Ляли. Севернее р.Ляли они фрагментированы обнажаются или вскрыты скважинами восточнее пос. Позанниковка, в районе д.Ольковки и в среднем течении р.Кедровой.

Основной объем разреза составляет продукты андезито-базальтового вулканизма: широкие-плагиоклазовые порфириты, их туфы и язвобрекчи, находящиеся в тесной ассоциации с широксен-плагиоклазами, плагиоклазовыми андезитами, андезито-базальтами порфиритами и липаритовыми, липарито-дацитовыми порфиритами. Вулканогенно-осадочные отложения – турово-глиоморены, пестранные, туфиты с прослоями углисто-кремнистых сланцев пользуются подчиненным развитием.

Формирование этого сложного по составу комплекса вулканогенных и вулканогенно-осадочных пород связывается некоторыми исследователями с деятельностью крупных полигенных стратовулканов [45, 49].

\* Верхнюю часть разреза, представляющую андезито-базальтовыми и подчиненными андезитовыми породами совместно с вулканогенно-осадочными породами, авторы считают возможным сопоставлять с полюбными по составу образованиями верхнего венгеля-ландшовера района пос. Ляленки и Карапульской Сопки.

Наиболее интересный фрагмент верхней части разреза можно наблюдать в обнажениях по береговым склонам р. Гури у пос. Лиденка [45], где однообразные лавы с грубоглибовой стельностью представляют минералекзаменные пироксен-плагиоклазовыми порфиритами ацесито-базальтового состава. Формирование которых происходило, вероятно, в наземных условиях. Мощность потоков 40–50 м. На них залегают (снизу вверх, м):

1. Давобрекчи и подушечные лавы того же состава. Размер лавовых подушек до 1,0–1,5 м . . . . . 10
  2. Грубообломочные бомбо-запыленные туфы широкен-платниклазовых порфиритов ацесито-базальтового состава . 35
  3. Подгупповые лавы ацесито-базальтового состава. Ази-мут падения 1600°, угол 30° . . . . . 12
  4. Грубообломочные бомбо-запыленные туфы широкен-платниклазовых порфиритов ацесито-базальтового состава . 3
  5. Средневулканические туфы того же состава, включаяние мелкообломочных бомб размером до 0,2 м. Цемент материала. Ази-мут падения 1600°, угол 20° . . . . . 60
  6. Вулканогенно-осадочные породы туринской свиты, залегающие с разрывом и несогласием.
- Породы имеют порфировый облик. Вкраплениями представлены альбитом (с реликтами лабрадора), моноклинным широкенсном, структурой основной массы интэрсеральная, микронитовая, гипалопилитовая. Многочисленные минералы выполнены хлоритом, кальцитом, халцедоном, кварцем. По химическому составу породы натровые с относительно повышенным содержанием калия (прил. 9). Туфы литеистические, витрокластические от макко- до грубосбломочных, включают вулканические бомбы и лапиллы миндалекаменных широкен-платниклазовых порфиритов с гипалопилитовой структурой основной массы.

По южному ограничению лавового поля у пос. Лиденка прецессует наличие недолихов по размерам остатков вулканических построек трещинно-экструзионного типа, эродированных и частично перекрытых образованиеами туринской свиты. Центральные части этих структур фиксируются в береговых склонах р. Гури жерловыми брекчиями ацесито-базальтовых порфиритов, имеющих скопление положение относительно залежаний туфов того же состава [45].

Пестрый фациональный состав описываемой толщи определяет однородность-магнитных свойств, которые меняются в пределах  $0-200 \cdot 10^{-6}$  СТС. В связи с этим магнитное поле слабодифферен-

цированное. Ложильные положительные аномалии достигают +200 Гамма. В поле силы тяжести отложения верхнего ренолока-лудлова отражения не находят.

Севернее р.Лиди в разрезе толщи пребывают вулканогенно-осадочные образования, причем в турокоглимератах у д.Латин-Джек появляются обломки известняков, а в среднем течении р.Кедровой в тубулестранах – прослои утилсто-хремнистых сланцев с граптолитами.

С подстилающими вулканогенными образованиями контактирует в основном геокинетические. Других взаимоотношений в районе не установлено. Как отмечалось ранее, на водоразделе р.Гури и Джиды предполагается непрерывное наложение вулканогенных и вулканогенно-осадочных образований от нижнего ландшверса до лудлова включительно. Севернее р.Лиди вулканогенно-осадочные породы верхнего венолока-лудлова залегают, вероятно, со знанием первичного на куполовах нижнего-среднего ландшверса.

Возраст определяется наложением ацесито-базальтовых порфиритов (аналогичных порфиритам у пос.Лиденка) на известняки верхнего венолока на смешной с запада платоами [45] и находками комплекса граптолитов в утилсто-хремнистых сланцах в среднем течении р.Кедровой, соответствующего верхней гранититовой зоне лудлосского яруса: Bohemograptus ex gr. bohemicus (Barr.), B. bohemicus cf. tenuis (Boudék) – собор Н.С.Лисова [40], определения Т.Н.Кореня. Общая мощность образованной верхнего венолока-лудлова около 1000 м.

#### СИЛИУРИЙСКАЯ СИСТЕМА. ВЕРХНИЙ ОТДЕЛ-ДЕВОНСКАЯ СИСТЕМА. НИЖНИЙ ОТДЕЛ

Туринская свита ( $S_2-D_1$ -тр.). Вулканогенные, вулканогенно-осадочные и осадочные образования туринской свиты широко распространены в западной структурно-фациальной зоне, где их выходы, как правило, фиксируются возвышенными участками рельфа в виде гряд и холмов на фоне выровненных и заболоченных площадей развития более древних вулканогенных образований. Лишь в пределах мезозойской эрозионно-структурной депрессии породы туринской свиты перекрыты мезозойскими и кайнозойскими осадками.

Разрез туринской свиты представлен олонко стратифири –

ранными фациальными вулканогенно-осадочными и первокластическими образованиями с полчленными породами эф-фузинов, их субуланитическими аналогами и известниками. Поро-ды залегают поясменно с размытым угловым и азимутальным не-согласием на более древних образованиях.

В основании разреза залегают полимиктовые конгломераты и песчаники мощностью до 12–16 м, включающие обломки спилитов, базальтовых и андезито-базальтовых микропорфиритов, андезито-базальтовых глыб, в том числе и известняков с фации приподъ-ного возраста: *Cypidula cf. optata* (Barr.), *Lissatypus lingua* (Buch.), *Atrypa subleptida* Vern. и Dr. (сборн. Т.А.Смирновой, Т.В.Диановой, В.В.Шалагинова, Б.П.Козина, определения Д.В.На-ливкина, А.Н.Ходалевича, Ф.Е.Янет, Н.Г.Брейзен) [45, 86, 101]. Конгломераты наблюдались в береговых склонах р.Луры западнее д.Карелена и у пос.Лягичева, р.Лыни ниже устья р.Лодийники и в 4 км северо-западнее пос.Чумского и на других участках. Большая контактная с серпентинитами в конгломератах (Л.Белая Речка) отмечены обломки шаркооконитов и серпентинитов [40]. На сменной с запада площади в основании вулканогенно-осадочного разреза туринской свиты залегают известники приподъ-ского возраста [45, 49].

В нижней части разреза свиты преобладают порфириты широ-сен-плагиоклавовые базальтового, трахизабазальтового и трахи-девито-базальтового составов, их туфи, туфопесчаники сметанно-го состава (обломочный материал базальтовых, трахизабазальтовых порфиритов, трахидиезит-травертиновых порфиритов и их туфов).

В верхней части разреза породы существенно трахидиезит-трахитового состава: туфопесчаники и туфи трахидиезит-трахи-зольтовые порфириты, известники. В районе пос.Ключи, на правобе-ремье р.Лыни и на других участках в верхней части разреза сви-ти вновь появляются в небольшом объеме базальтовые и трахи-зольтовые порфириты. Граница между нижней и верхней частями разреза, как правило, нечеткая, иногда (на водоразделе гр.Ла-ты и Кругой Латы) устанавливается по появлению в разрезе конгломератов с одоломками пород нижней части разреза свиты и из-вестников. Наличие конгломератов межгоризонтального типа на уровне устьевой границы нижней и верхней частей разреза свиты позво-ляет предполагать местные перерывы во время накопления вул-

каногенных образований, при смене существенно основного вулка-низма грахитовым.

Завершает разрез туринской свиты светло-серые разованные мас-сивные, часто бреектированные известники с фауной хохловского яруса: *Ivalelinia procera* (Barr.), *Clorinda troschekaeensis* Khod., *Spirigerina supramarginalis* (Khod.), *Clorinda vagr-a-pensis* Khod., *Quadrithyridina losvensis* (Khod.) (сборн. Т.В.Диановой, В.В.Шалагинова, определения А.Н.Ходалевича, М.Г.Брейзен).

Базальтовые, трахизабазальтовые и трахидиезито-базальтовые порфириты по минерологическому составу и структурам почти не отличаются. В основной массе базальтовых порфиритов отсутству-ет кальцийный полевой шпат, составляющий в трахизабазальтовых пор-фиритах до 15–20% основной массы. Это темно-серые массивные по-роды с коротко выраженной порфировой структурой. Вкрапленники представляют андезином и клинопироксеном. Структура основной массы интерсертальная, паллакситовая, вариолитовая. Базальто-вые порфириты имеют высокую магнитную восприимчивость ( $\chi_{ver} = 1900 \cdot 10^{-6}$  СИ) и зацветают в положительных аномальных интен-сивность 400–500 гамм. Вероятное значение пород 2,75 г/см<sup>3</sup>, что определяет появление ложевых полихроматических аномалий в 0,5–2,5 мг среди полей с пониженными значениями си-ли тяжести.

Трахитовые порфириты и трахидиезитовые порфириты не имеют четких различий. Структура у них порфировая, олигопорфировая, мик-ропорфировая с лущисто-трахитовой, вариолитовой, флюидально-микролитовой основной массой. Вкрапленники представляют пелли-тизированным пятнистым калинагровым (макро- и криптопеллит) по-левым шпатом, альбитом (8–10% An) с реактиами амфибина, реце-ортоклазом. Основная масса состоит из альбита, калинагрового полевого шпата, олигита, хлорита, эпилота, карбоната, лейкоксе-на; акцессорные минералы: апатит, сфен, ильменит. Вероятное значение магнитной восприимчивости 0–50–10<sup>-6</sup> СИ, плотности – 2,56–2,59 г/см<sup>3</sup>. Участкам развития осадочных пород и щелочники булыжников верхней части разреза свиты соответствуют спокойные прямумышественно ограниченные магнитные поля с интенсивностью 250–500 гамм [40].

Туфи отличаются не только разнообразием состава, но и очень сложными витро-пикрокристаллокластическими структурами в различ-ных сочетаниях. Обычно мелкообломочные, часто спекшиеся (игним-

брюхов). Текстура полосчатая или флюидальная.

По химическому составу породы синты относятся к субщелочным сернистым солеродным галлиям (прл. 9). Их отложения суть слои неизвичайных преобразований (сладая соскрапатизация, хлоритизация, пачитизация). Интенсивные сернистые отложения и скрапатование на локальных участках связаны с контактом воздействием интрузии кварцеводиоритового соста - виа.

Мощность образований туринской синты около 1000 м. Возраст определяется находками органических остатков в известняках, залегающих в основании [45, 49] и в верхней части разреза синты. Результаты изотопного определения возраста калий-аргоновым методом пород туринской синты (прл. 8): 430 млн. лет. (проба 1), 407 млн. лет (проба 2) и 383 млн. лет (проба 6).

## ДЕВОНИСКАЯ СИСТЕМА

Девонские отложения завершают разрез палеозоя западной структурно-фациальной зоны. Представлены главным образом известняками, которые на основании определений органических остатков расчленяются на горизонты, соответствующие пралскому ярусу, нижнему подъярусу эйфельского яруса (карпинский горизонт) и верхнему подъярусу хиветского яруса (высотинский горизонт). Девонские известняки пронзены к осевой части Алтай - Талышской синклинией. Редкие обнажения наблюдаются в береговых склонах рр. Чуры, Талица и Погудченного Алтая. На водоразделах перекрыты осадками мезозойского и кайнозойского возраста средней мощностью 25-30 м и вскрыты скважинами. Известняки немагнитны, имеют относительную плотность ( $\rho_{ср}=2,68 \text{ г/см}^3$ ) [71]. Широкий разветвления известняков соединяют обласст спокойного отрицательного магнитного поля.

### НИЖНИЙ ОТДЕЛ ПРАЖСКИЙ ЯРУС (0<sub>р</sub>)

Отложения пралского яруса разбиты в восточной и центральной частях Алтай-Талышской синклинии в субмеридиональных тектонических блоках, ограниченных взбросами значительной амплитуды.

туди, благодаря чему они выведены на уровень с различными по возрасту осадочными и вулканогенными образованиями. Представлены темно-серыми слоистыми биогенных тонкозернистыми известняками с прослоями серых рыхлых криноидных и светло-серых массивных разностей.

Взаимоотношения с породами туринской синты установлены по р. Деле и в районе д. Мурзинка. На правом берегу р. Деле в 4 км от западной границы площасти серые слоистые известняки с прослоями турбоконгломератов, туфопесчаников и туффитов выполняют синектическую структуру размером 0,3 км в поперечнике и залегают на трахибазальтовых порфиритах туринской синты. В основании известняков установлены овальные конгломераты с известковым цементом и обломками трахибазальтовых порфиритов и известняков. В последних собраны брахиоподы ложковского яруса [101]. Мощность конгломератов 4-5 м. В туфопесчаниках и известняках наблюдаются обломки кристаллов опадитализированной горной обманки и кварца. Общая мощность слоистых пород около 40 м.

В районе д. Мурзинки подобные серые и темно-серые слоистые известняки содержат белый по составу комплекс органических остатков с остракодами *Niccocheilinella malobatschatskienensis uralensis* Zenk., *Bairdiolaealdites karcevae* (Pol.) [71]. Ранее А. Н. Ходалевским в известняках р. Муранки были определены брахиоподы *Losaria operosa* (Knob.), *Serpula tritensis* (Barr.), *Bardandella sergesensis* Knob., *Karpinskia conjugula* Taschen. [101].

В основании известняков установлены полимитовые слоистые песчаники. Обломочный материал в песчаниках окатанный и турийской свиты - тектонические. В известняках обнаружен различной сохранности, но одинаковой по составу комплекс органических остатков: таубиты "Thamnopora plumosa" Yanet, *Riphaeolites obviti* Yanet, *Squamofavositites frequens* Smirn., ругозы *Rhizoplyllum uralicum*

- яруса с вулканогенными и вулканогенно-осадочными образованиями раннего-среднего лдлановера и турийской свиты - тектонические. В известняках обнаружен различной сохранности, но одинаковой по составу комплекс органических остатков: таубиты "Thamnopora plumosa" Yanet, *Riphaeolites obviti* Yanet, *Squamofavositites frequens* Smirn., ругозы *Rhizoplyllum uralicum*

Soshik., брахиоподы *Lovisia operosa* (Khod.), *Barrandella sergænsis* Khod. [24].

Анализ комплекса фауны позволяет датировать известники в пределах от пражского яруса до нижней эйфельского яруса включительно. Однако наличие значительного количества форм, имеющих широкое развитие в осадках пражского яруса, дает возможность ограничить возраст описываемых отложений пражским ярусом. Общая мощность около 400 м.

#### СРЕДНИЙ ОТДЕЛ

##### ЭЙФЕЛЬСКИЙ ЯРУС, НИЖНИЙ ПОДЬЯРУС

**КАРПИНСКИЙ ГОРİОНТ** ( $D_2^{kr}$ ). Отложения эйфельского яруса пользуются преимущественным развитием среди осадочных образований девонского возраста. Они прослежены в крупных субмеридиональных тектонических блоках в западной, центральной и восточной частях Актаи-Галыцкой синклиналии. Представлены в основном светло-серыми, розоватыми массивными известниками с призраками глинистого бокситового материала. В верхней части разреза характерно наличие прослоев темно-серых слоистых битуминозных и серых брекчированных известников с примесью терригенного материала, переходящих в песчанистые известники и известковые известники.

Известники содержат маломощные прослой бокситов и аллита. Причем известники почвы и кровли бокситового горизонта литологически склонны и отображаны из них фауна имеет одинаковый видовой состав, что указывает на кратковременность процесса бокситообразования. Светло-серые известники в западном крыле Актаи-Галыцкой синклиналии интенсивно рассланцованны и мраморизованы. В основании разреза эйфельских отложений восточной половины наблюдаются маломощные покровы гипабразильтов, прослои андезитовых порфиритов и их туфов, свидетельствующие о неизвестном проявлении эйфельского вулканизма.

Безаллювиальные с подстилающими отложениями в районе не установлено. Б.Н.Петров [71] предполагает, что эйфельские известники западной половины на левом берегу р.Туры с резким несогласием залегают на вулканогенных породах туринской свиты и сидерят в основании пачки мощностью около 30 м песчано-глинистых сланцев с тентакулитами. Т.А.Смирнова [90] считает, что

формировано карбонатных отложений эйфельского яруса предмет новой значительной размы в нижележащих толщах.  
Органические остатки содержатся во всех разновидностях из-вестняков, причем смены яйкового состава фауны в разрезе не наблюдалась: строматопориды *Atelodictyon uralicum* Bogoyavl., табуляты *Favosites regularissimus* var. *minuta* Yanet, *Gracilopora angusta* Yanet, пузыри *Neocolularia vagranensis* Sostak, *Gryphophyllum striatum* Soshik., брахиоподы *Terebellina lvdelensis* (Khod.), *Bspirifer superbus* (Eichw.), остроколы *Bairdioceraspis cordiformis* Rosd., *Cooloemella testata* Pol. [24]. Мощность карбонатных осадков карпинского горизонта около 850 м.

#### ЖИВЕТСКИЙ ЯРУС

**ВЫСОТИНСКИЙ ГОРИОНТ** ( $D_2^{uv}$ ). Евретские отложения слагают центральную часть Актаи-Галыцкой синклиналии, представлены темно-серыми, черными отчетливо сплошными битуминозными известняками с прослоями глинистых, утилисто-глинистых и кремнисто-глинистых сланцев. На водоразделе р.Туры и Большого Актаи известняки живетского яруса интенсивно рассланцованны, притягива-рованы, часто содержит линзы габбро-диабазов. Западная и восточная границы полосы живетских отложений севернее р.Туры совпадают с плоскостями мощных субвертикальных взбросов, идущих к вендурильям подавляющей часть даек и малых интрузий габбро-диабазов.

На правобережье р.Туры объем глинистых сланцев в разрезе живетских отложений значительно уменьшается, отсутствуют даек габбро-диабазов, падение пород полого.

На правобережье р.Туры объем глинистых сланцев в разрезе формированию карбонатных отложений живетского яруса предшествовал значительный перерыв. В районе Винновского месторождения на неровной поверхности светло-серых известников карпинского горизонта залегают глинистые сланцы с линзовидными прослоями бокситов и темно-серые битуминозные известники высотинского горизонта. В районе пос. Михайловского Т.А.Смирнова [90] приводят следующий разрез (снизу вверх):

1. Светло-серые известники эйфельского яруса.
2. Конгломераты с галей эйфельских известняков, спементированных глинистым материалом. Мощность 1 м.
3. Известково-глинистые сланцы с прослоями известняков. Мощ-

ность 100 м. По пространнию замечается глинистым отложением с просторами бокситов. Мощность 30 м.  
4. Известняки темно-серые и черные битуминозные с тонкими прослойками сланцев.

Возраст определяется уверенно сборами богатого комплекса органических остатков, среди которых руководящими являются строматориды *Actinostroma bifarium* Nich., *Amphipora ramosa* (Frill.), табуляты *Calyptora battersbyi* (M.-Eau. et Haime), *Alveolites obtortus* Lsc., пытозы *Pseudomicropora fungii* (Yoh.),

*Urticopeltium Isaacis (green)*, *Oreohypolepis strigosa* *vernalis* *var.* *retinifolia* *Deffr.*, *Uncites erythrinus* *Schloth.*

Максимальная мощность отложений ливенского яруса в центральной части Алтай-Галечной синеклизы в районе р.Подуденный Ак-тала не менее 500 м.

КОРЫ ВЪВЕТРИЗАНИЯ

**М е з о з о и с к и е к о р н и в и ё т р и в а н и я (МЗ)**  
Существование длительного континентального периода до наступления верхнемеловых морских трансгрессий способствовало формирования в районе молнико-кор выветривания (рис. 3).

Можно считать, что корообразование в районе завершилось в основном уже в раннем мезозое, что устанавливается по налелии на древний элювий континентальных осадков лантурской свиты при (J1). Вероятно, формирование кор выветривания продолжалось до их консервации в позднемеловое время, на что указывает незначительное развитие в северной части района континентальных осадков, относящихся к мысовской свите конца нижнего - начала верхнегетского чата (K1 та).

распространение кор выветривания определилось в первую очередь палеогеоморфологическими условиями района. Наиболее широко коры развиты в восточной и центральной частях площади, расположенных в пределах континентально-морской покольной равнины Зауралья и в зоне приподнятого пенеплена восточного склона Урала. В насторое время древний залыв не имеет сплошного распространения и характеризуется невидимой мощностью от первых метров до 50–65 м в связи с размывом на участках развития мезоводской речной сети. Интенсивной абразией позднемеловых берегов и проявлением последующих генулятивных процессов в южной части берегового мыса (А-1-2ш.).

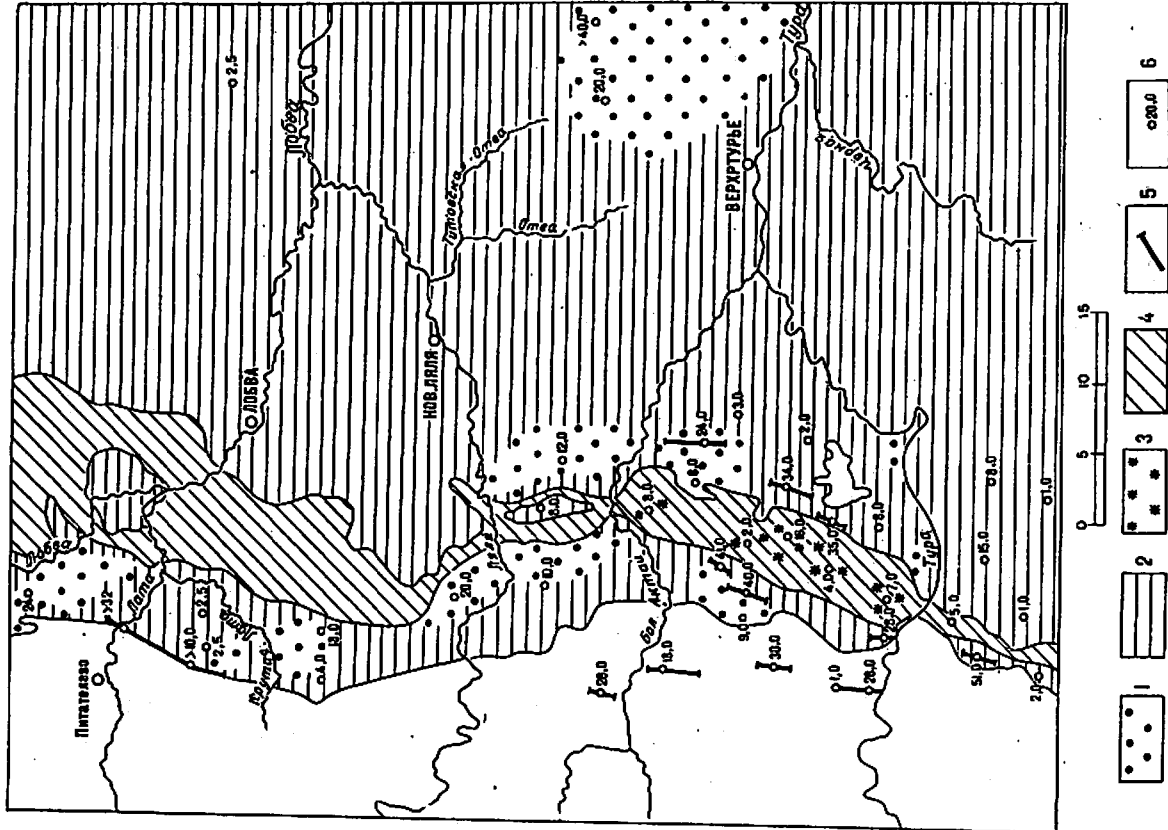


Рис.3. Схема распространения мезозойской коры выветривания

(составил Е. Г. Заборовский)

Мезозойской речной сети, интенсивной образацией позднемеловых молей и проявлением последующих ледниковых процессов в неогене.

четвертичное время. Максимальные мощности кор наблюдается в бортовых частях Акташ-Талынского участка Иделевско-Талыской эрозионно-структурной депрессии и в зонах тектонических нарушений.

Выделяются два генетических типа кор выветривания – остаточные и временные, по морфологическим особенностям – плосадные и линейные. Остаточные коры выветривания имеют наибольшее распространение. Они залегают на различных гипсометрических уровнях, расположаясь на абсолютных отметках от 80–100 м, в Акташ-Талыском участке – до 150–200 м на повышенных участках подъемного рельефа фундамента. Мощность обычно не превышает 5–10 м, редко достигает 40 м. Наиболее мощные коры выветривания формируются на вулканогенных образованиях, габбро, метаморфических породах, незначительные мощности характерны для гранитов, кварцевых диоритов.

Скважинами вскрываются различные горизонты плосадных кор выветривания от зоны глинистых продуктов до зоны дезинтеграции. Обычно наблюдаются только нижние горизонты, глинистые коры выветривания сохранились как правило только в пониженных частях и представляют собой различные глины различной окраски. Состав глинистой фракции кор выветривания гранитов, кварцевых диоритов, метаморфических и вулканогенных пород, габбро и др. кальцитовый, гидрослюдисто-каолинитовый, монтмориллонитовый и каолинит-монтмориллонитовый (смешанный геохимический тип). В глинистой фракции глинистого, песчано-глинистого и дресвино-глинистого элювия зоны промежуточных продуктов преобладают гидрослюд и гидрохлорит. На серпентинитах формируется ферритно-смешанный геохимический тип коры выветривания. Породообразующими минералами в зоне глинистых продуктов являются: гидрогранит, нонtronит, галлуазит, монтмориллонит. С корами выветривания этого типа в районе связанны рудопроявления силликатного никеля.

Плосадные коры выветривания в зонах тектонических нарушений и контактов иногда осложняются линейными, которые имеют вид узких, обычно субмеридиональных полос шириной 50–200 м с мощностью коры выветривания до 50–65 м. Линейные коры установлены в районе р. Кедровой, др. Белая Речка, Карабаша, Волотино и др. Палеогеновая кора в изобилии конкремций бурого железняка.

К признакам проявления олигоценового выветривания относятся: 34

облашение на ограниченных участках изменения темно-серых оттенков в их кровле – дезинтеграция, осветление, превращение в слабо спементированные породы почти белого цвета с желтоватыми налетами окраинами (марматитизация).

## ЮРСКАЯ СИСТЕМА

Континентальные образования в широком диапазоне всех отдельных ярусов системы развиты в пределах Акташско-Талынского участка Иделевско-Талыской мезозойской эрозионно-структурной депрессии, а также в единичных пунктах близи устья рр. Шайтанки и Косоламки на Шайтанско-Таловском участке Невьянско-Кантуринской мезозойской эрозионно-структурной депрессии. Среди осадков here выделяются разновидности различного генезиса: делювиально-проливиально-карстового, аллювиального, озерного, ложногенного, озерного.

### НИЖНИЙ ОТДЕЛ

СЕМЕНОВСКИЙ ЯРУС – ЦЛИНСАХСКИЙ ЯРУС,

НИЖНИЙ ПОДЬЯРУС (J<sub>3</sub>-pr)

Широким распространением в полосе развития карбонатных пород в пределах Акташско-Талынского участка от южной границы листа до широты устья р. Лагутки на севере пользуются пестроцветные глинистые делювиально-проливиально-карстовые образования, сохранившиеся от размыва лишь в древних карстовых западинах. В южной и западной частях участка пестроцветные глины вскрыты шурфами и скважинами на глубине от первых метров до 20–25 м под четвертичными образованиями или осадками лангурской свиты. В центральной и восточной частях участка они вскрыты скважинами на глубине до 80 м под осадками лангурской свиты.

По составу описывающие глины гидрослюдисто-каолинитовые, чешуйчатые известковистые, содержат рассеянную гальку кварца, обломки известняков, редко доломитов. Для нижних горизонтов пестроцветных глин характерно обилье конкреций бурого железняка. Средний гранулометрический состав глин приведен в прил. Г. Степень сортированности материала низкая. Состав песчаной и аллювиальной

вой фракций: кальцит (70%), слабо отщепленные зерна кварца (25%), бесцветная слюда (5%). Глинистая фракция состоит из неупорядоченного каолинита и гидрослюды, незначительной примеси монтмориллонита и палигоскита, хлорита, слюды, зерен кварца и гидроокислов железа. В составе тяжелой фракции преобладают аутигенные минералы: лимонит, сидерит, гетит, гидрогематит (80%). Ильменит и лейкоксен составляет 15%, присутствуют эпидот, пироксен, амфиболы.

Мощность глинистых образований в среднем около 6 м, в карстовых провалах достигает 40 м. На значительной площади пестрозветные глины перекрыты озерно-аллювимальными осадками лантуровской свиты, нижний предел возраста которой - поздний плиоцен.

#### НИЖНИЙ ОТДЕЛ, ПЛИНСВАХСКИЙ ЯРУС-ВЕРХНИЙ ОТДЕЛ

**Лантуровская свита (Лп).** Отложения свиты выполняют наибольшее глубокие участки эрозионно-структурных депрессий. Вскрыты щурфами и буровыми скважинами на глубинах от нескольких метров до 15–20 м в южной и западной частях Актауско-Талышского участка и до 80 м в его центральной части. В пределах Шайтанско-Талышского участка вскрыты буровыми скважинами на левом берегу р. Тура. Обнажения единичны. В составе свиты выделяются аллювальные (преобладающие), озерно-аллювимальные и озерные осадки.

Среди аллювимальных фаций преобладают пески разнозернистые сплошного-полевошпат-кварцевые, часто гравийные, галечники кварцевого состава, обычно приуроченные к нижней части разреза. Реже встречаются алевриты и глинисто-песчаные осадки сплошного-кварц-каолинитовые с лигнитом, с большим количеством гравия и гальки кварца. Глинистость осадков чаще всего возрастает по разрезу снизу вверх. В целом для отложений свиты характерна плохая сортировка материала (пры. 10). Песчаный и алевритовый материал галечники и песков представлен кварцем (75–90%), полевыми шпатами (6–20%), слюдой (2–10%). Глинистый – состоит из смеси гидрослюд (35–40%) и каолинита несортированной формы (25–30%), присутствует кварц (до 10%), слюдя (до 17%), углефицированные растительные остатки, пирит, марказит.

Разрез озерно-аллювимальных старичных фаций лантуровской сви-

ты неоднороден: нижняя часть существенно песчаная, верхняя – глинистая. Глины обычно каолинитовые и гидрослюдисто-каолинитовые серого, иногда почти черного цвета слагаются присутствием углефицированных растительных остатков. Лигниты образуют прослой мощностью до 6 м. Глины однородные, иногда слабо алевритистые, песчаные, состоят из каолинита (75–82%) и гидрослюды (10–20%).

Отложения предположительно озерной фации имеют подчиненное развитие. Представлены каолинитовыми, реже гидрослюдисто-каолинитовыми, слабо песчаными глинами темно-серого и черного цветов ионита с прослойями лигнитов.

В тяжелой фракции отложений лантуровской свиты преобладают устойчивые к выветриванию минералы: ильменит (12–18%), лейкосен (7–12%), циркон (1–5%, редко до 22%), хромшипиллиты (до 16%), гранат (до 12%) и др. Из неустойчивых отмечается в незначительном количестве: магнетит, эпидот, пироксен, амфибол, марказит, сидерит.

В отложениях лантуровской свиты собраны семена морских растений: *Williamsonia uralensis* Dorof., *Bennettites* sp., споры *Selaginella velata* (Weyl. et Krieg.) Krasn., *Coniopteryis* sp., *Eboracisia* sp., *Dicksonia densa* Bolch., *Gleichenia* sp., *Pseudopicea* sp., *Leiotrichites incertus* Bolch., пыльца *Sciadopitys* sp., *Braehiphyllum* sp. [25, 71]. мощность осадков достигает 35 м.

#### МЕЛОВАЯ СИСТЕМА

Морские отложения мелового возраста покрывают почти сплошным чехлом большую часть площади, тогда как континентальные образования развиты на крайне ограниченной территории.

**НИЖНИЙ ОТДЕЛ, АЛЬСКИЙ ЯРУС, ВЕРХНИЙ ПОДЛЯРУС-ВЕРХНИЙ ОТДЕЛ, СЕНОМАНСКИЙ ЯРУС**

**Мысская свита (К<sub>1–2</sub> ма).** Осадки мысовской свиты венчают разрез континентальных отложений мезозоя. Они встречены только в двух пунктах.

к западу от пос. Красный Яр вскрыты шурфами ожелезненные кварцевые пески с прослоями собово-контгломеративных высокочрольистых железных руд мощностью 0,7 м. Залегают пески на пестроцветных глинах коры выветривания и перекрываются либо четвертичными делювальными глинами, либо морскими глауконит-кварцевыми песчаниками верхнего мела.

В среднем течении р. Лягушки породы мысовской свиты вскрытые скважинами на глубинах 28–48 м. В разрезе свиты преобладают темно-серые глины с подчиненными кварцевыми песками, с прослоями лигнитов мощностью до 1,7 м и собово-контгломеративных железных руд мощностью до 1,0 м. Залегают на делювиально-предельно-карстовых пестроцветных глинах нижней прии и перекрываются морскими глауконит-кварцевыми песчаниками верхнего мела.

В отложениях мысовской свиты на северной смежной территории определены богатые комплексы пыльцы и спор, позволяющие датировать эти отложения в пределах альб-сенонанского возраста [6]. Мощность осадков достигает 5 м.

## ВЕРХНИЙ ОТДЕЛ КОНЬЯКСКИЙ ЯРУС–САНТОНИСКИЙ ЯРУС, НИЖНИЕ ПОДЪЯРУСЫ

**Камышловская свита (К<sub>2</sub>км).** Морские осадки камышловской свиты сохранились в пониженных участках фундамента в пределах основного западного борта Актауско-Талышского участка, где вскрыты скважинами на глубине от первых метров до 65 м. Залегают с различными породами фундамента, их корах выветривания или на песках и глинях юрского возраста. В основании разреза обычно присутствуют гравийно-галечные пески, континентальные песчаники, контомераты мощностью 0,2–0,3 м с гальками кварца, кремни и обломками выветрелых пород фундамента. Наблюдается погружение подошвы отложений камышловской свиты в пределах депрессии в северном направлении от абсолютной отметки 140 м на левобережье р. Туры до 60 м на широте пос. Пятагорово. Осадки свиты, залегающие на небольших глубинах (левобережье р. Туры), перекрываются четвертичными и, частично, верхнеолигоценовыми отложениями. На остальной территории в

кровле свиты залегают морские осадки камта-и-маастрихтского возраста.

В составе свиты преобладают пески мелкозернистые глинистые, кварцевого и полевошпат-кварцевого состава, часто с глауконитом. Песчаный и алевритовый материал состоит из кварца (75–90%), глауконита (до 17%), альбита, олигоклаза, андезина (до 11%), микроклина, ортоклаза (до 10%), спикул губок, обрывков панцирей диатомовых водорослей, радиолярий. В составе тяжелой фракции преобладают устойчивые минералы: ильменит (5–20%), лейкоксен (2–15%), циркон (3–12%), ставролит (до 11%), турмалин (3–4%) и др. Из аутогенных минералов наблюдаются пирит и лимонит, иногда в значительном количестве. Глинистый материал в песках составляет до 35%; состав: монтмориллонит (30%), белллит (25%), сидерит, хлорит (23%), опал (10%), кварц, полевые шпаты, глауконит, цеолиты, пирит, марказит. Содержание глауконита в глинистой фракции очень нестабильно, иногда достигает 80%. Подчиненное значение в составе свиты имеет мелкозернистые пещаники кварцевые и глауконит-кварцевые с серым и зеленовато-серым гемелтом, которые переслаиваются с песками и фациально их замещают.

Ископаемые остатки в отложениях свиты отличаются большим разнообразием и позволяют надежно определить возраст. Представлены формами, ведущими придонный, в большинстве случаев прикрепленный образ жизни, свидетельствующими о прибрежном характере нормально-морских осадков: известковистые черви из группы Spirorbidae, Serpula, Ditrupula; пелепилопы Eucalyptocrinus sp., Inoceramus sp. (призматический слой), Oxytoma cf. tenuicostata (Roemer) головоногие моллюски Belemnitella sp., Actinocamax sp.; иланки Truncatula cf. repans Hagenow, Retecava clathrata Goldf., Ceriopora micropora Goldf., Fellifasciigera cf. megaera Goldf., брахиоподы Terebratula sp., обломки иллюминиера Discorbis sibiricus Dain, D. conficus Brem., D. tschelyabinskensis Dain, Anomalina sibirica Dain, Conorbina martini Brozen; отракоды Trochinius concentricum (Reuss), Orthonotacysthere santonica Jask., Cytherettina popularis Jask., Cythereis aff. desnaensis Mand [7]. Мощность отложений достигает 40 м.

### КАМПАНСКИЙ ЯРУС – МАСТАРИХТСКИЙ ЯРУС, НИЖНИЙ ПОДЯГРУС

**Фадюшинская свиты ( $K_2 fd$ )**. Среди верхнемеловых отложений осадки фадюшинской свиты пользуются наиболее широким распространением. Они покрывают сплошным чехлом значительную часть территории и отсутствуют лишь на возвышенных участках фундамента в западной и центральной частях района. Обнажения наблюдаются в береговых склонах рр. Туры, Шайтанки, Полулленного и Большого Акгая, Дяги, Латы. На междуречье рр. Туры и Большого Акгая осадки фадюшинской свиты вскрыты скважинами на глубине до 10–15 м под четвертичными, неогеновыми и юрсковыми отложениями. К северу наблюдалась погружение подошвы отложений свиты, где они залегают на глубинах 25–45 м, приближаясь к поверхности вдоль западного и частично восточного борта депрессии. В восточной части площасти перекрываются палеоценовыми глинами и вскрытые скважинами на глубине 50–60 м, а в северо-восточной части – на глубине 80 м. В ряде случаев осадки свиты наблюдаются на возвышенных участках с абсолютными отметками до 195–200 м. Это позволяет предполагать, что море в кампан-мастрихтское время засхватывало почти всю территорию, исключая западную часть района.

Осадки фадюшинской свиты залегают с размывом преимущественно на породах кристаллического фундамента и их корах выветривания. В основании разреза часто наблюдаются базальтические конгломераты с опаловым цементом мощностью 0,2–0,3 м, конгломерато-песчаные песчаники, пески с гравием и галькой кварца и кремня. Инергия состав обломочного материала сменяется на полимиктовый: турропесчаники, порфириты, габбро-диабазы, кварцы и др.

В разрезе свиты преобладают песчаники и алвертолиты кварц-глauконитовые, глауконит-кващевые и полевомиц-кварцевые с опаловым цементом, которые переслаиваются и фациально замещаются песками и алверитами того же состава. Подчиненное развитие имеет диатомиты и опоки. Характерной особенностью состава фадюшинской свиты является повышенное содержание глауконита в целом по сравнению с другими морскими отложениями и наличие прослоев песчаников кварц-глauконитового состава ярко-зеленого цвета с содержанием глауконита до 80%.

Наиболее типичным является разрез с хорото выраженным по простирации горизонтом кварц-глauконитовых песчаников мощностью обычно не более 7–8 м, приуроченным к его верхней части. Этот тип характерен для Алтайско-Талицкого участка. На возвышенных частях и склонах депрессии кварц-глauконитовые песчаники иногда полностью составляют разрез свиты мощностью не более 2–5 м. В центральных частях депрессии преобладают более глubоководные глинистые и алверитистые песчаные фации с горизонтом кварц-глauконитовых песчаников в верхней части разреза. Подобные разрезы наблюдаются и в южной части Шайтанско-Таловского участка на левобережье р. Туры и в междуречье Шайтанки и Большой Косолапки. В восточной части площасти обычно преобладают алвертолиты и песчаники кварцевого и глауконит-кварцевого состава с пойтинными прослоями опок и реже шпатомитов.

На междуречье Большого Акгая и Ляли (восточнее Алтайско-Туринаского серпентинитового массива) разрез свиты представлен глubоководными аргиллитоподобными глинами с прослоями песчаников глауконит-кварцевых, часто конгломератовидных, мощностью не более 2,5–3,0 м. Глины фактически замещаются глинистыми алвертолитами. Глубоководный тип разреза не имеет широкого распространения, развит на небольшой площасти и указывает на наличие относительно углубленных участков в зоне мелководного щельфа кампан-мастрихтского бассейна.

По вещественному составу песчаные отложения фадюшинской свиты однобразны. Колеблется лишь соотношение главных минеральных компонентов и содержание песчаного, алверитового и глинистого материала. Средний гранулометрический состав песков и алверитов приведен в прил. 10. Сортированность осадков плохая, характерно присутствие гравийного и мелкогалечного кварцевого материала, стяжений фосфорита. Состав песчаной и глинистая фракция состоит из обсидианита и монтмориллонита (50–75%), находящихся в равных количествах, опала (около 30%), глауконита (2–20%), цеолитов (2%, иногда до 20%), сладких хлорита (4%), обломков стигмул и панцирей диатомовых водорослей. В составе тяжелой фракции преобладает устойчивые к выветриванию минералы: ильменит (5–64%), лейкоксен (1–14%), хромшишнелилы (1–29%), циркон (3–16%), ставролит (0–11%) и др.

Среди неустойчивых минералов отмечается повышенное содержание ампелита и цонита, иногда превышающее 30% всей фракции. Вероятно, что объясняется, вероятно, накоплением осадков в прибрежной зоне вблизи источников сноса. В отдельных случаях наблюдается преобладание аутигенных минералов (шпат, мориазит, сидерит).

В составе аргиллитоподобных глин преобладает монтмориллонит, присутствует в различных количествах: бейделлит, хлорит, сапа, опал, кварц, полевые шпаты, глауконит, цеолит. В тяжелой фракции преобладают шпат, марказит (до 87%), среди устойчивых минералов отмечается цильменит, циркон, рутил, турмалин, из неустойчивых – эпиллозит, цинцит (до 7%).

Основанием для определения возраста послужили многочисленные соборы органических остатков: фораминифер *Naplophragmoides obsoletus* Морозова, *H. latidorsatum* Born., *Spiroplectammina lata* Zas-радиолярий *Dictyonites striatus* Lipp., *Porodiscus vulgaris* Lipp., *Spongodiscus striatus* Lipp., *Ostromyodiscus concentrica* Lipp., *Lithostrotbus rostovzovi* Lipp., диатомовик *Triceratium enissimovae* (Jouss.) Strel., *Stephanoporus schulzii* Stein., [71]. Мощность осадков байдинской свиты обычно составляет 15–20 м. Повышенные мощности наблюдаются в наиболее подруженных зонах и достигают 55 м в центральной части Актауско-Талынского участка на междууречье рр. Лия и Большого Актая.

## ПАЛЕОГЕНОВАЯ СИСТЕМА

Палеогеновые отложения имеют широкое распространение в районе, особенно морские осадки палеоцена и эоцен. Завершает разрез континентальные отложения верхнего олигоцена.

### ПАЛЕОЦЕН

Талынская свита ( $P_1^{+1}$ ). Отложения палеоценового возраста развиты в восточной части площади. Западная граница их раза – распространения проходит примерно по линии населенных пунктов Лопаево, Новая Лия, Кондратьевское, Приволжское, Черная Речка. Представляют однородные глины гидрослюдисто-бентонитовые, аргиллитоподобными, грубослоистыми, темно-серого, бу-

роватого цвета со слойками и гнездами песков, алевритов. В основании разреза иногда наблюдается прослой песчаников глауконит-кварцевого состава, марганцовистого сидерита в виде плоских конкреций или линз, гравелилы или конгломераты кварц-кремневого или полимиктового состава с глинисто-опоковым цементом и сзернами глауконита.

Единичные обнаружения палеоценовых глин наблюдаются в береговых склонах р.Лия у пос Сред.Салтаново и Лия-Титово. На водоразделах глины залегают на глубине до 25 м на осадках кампан-мессинского возраста и перекрываются морскими нижнеэоценовыми отложениями.

Педогенный материал в глинах составляет 99%, представлен белллитом (40–50%) и гидрослюдой (20–25%). Кроме того, наблюдается зерна кварца, полевого шпата, глауконита, чешуйки сплошного хлорита, опала и обрывки диатомовых водорослей. В составе глинистой фракции преобладает шпат, марказит (до 87%), среди устойчивых минералов отмечается цильменит, циркон, рутил, турмалин, из неустойчивых – эпиллозит, цинцит (до 7%).

Мощность палеоценовых отложений в северо-восточной части площади достигает 50 м, в юго-западном направлении мощность резко уменьшается до полного выклинивания.

Палеоценовый возраст осадков установлен по находкам в глинистых комплексах фораминифер *Ammodiscus incertus* (Orb.), *Neophragmoides canariensis* Orb., *Ammoscalaris incultus* var. *fribillaris* (Krem.); диатомовик *Stephanoporus ferox* (Grev.) Ralfs, *Triceratium heibergii* Grun., *T. weissii* Grun., *Hemisulus rossicus* Pant., *Trinacria pileolus* Engr.; силикателлат *Dictyosphaerula trifurcata* Jous., пильцы – комплекс с *Rhus* sp., *Taxodiaceae*, *Extratrisporopollenites menneri* (Bolkh.) Mart., *E. major* Mart. [71, 86, сборы автора]. Мощность отложений в северо-восточной части площади достигает 50 м, в юго-западном направлении мощность резко уменьшается до полного выклинивания.

### ЭОЦЕН

#### Нижний эоцен

Серебская свита ( $P_2^{+2}$ ). Осадки серовской свиты имеют широкое распространение, покрывают почти сплошным чехлом централь-

Нуб И. Восточную часть территории. Основной объем в разрезе свиты составляет опоки и диатомиты, реже встречаются опоковые песчаники, пески. Диатомиты фацициально замещают опоки или образуют среди них прослой, как правило, в верхней части разреза и преобладают в наиболее погруженных участках фундамента. Обнажения наблюдаются в береговых склонах крупных рек и на возникших участках современных водоразделов.

В восточной части района отложений серовской свиты залегают на палеопленовых глинах, в центральной части – на осадках кампана-масстрихтского возраста, реже на породах фундамента и их корах выветривания. В основании свиты наблюдаются базальные мелкогалечные конгломераты и конгломератоидные песчаники. Состав гравийно-галечного материала – кварц, кремень. Диатомиты, залегающие в верхних частях разреза, связаны постепенными переходами с перекрывающими их диатомитами среднего-верхнего эоценового и отличаются только видовым составом породообразующих диатомовых водорослей и стиллита-геллат.

Опоки состоят из пелитового материала с размерностью частиц менее 0,01 мм, представленного опалом (до 90%), бентонитом (до 20%), зернами кварца, глауконита, чешуйками слюды (до 12%) и обрывками спикул губок, радиолярий, панцирей диатомовых водорослей. Количество алевритового материала низкотено. Он распределается обычно в виде гнеездообразных скоплений, придающих опокам "узорчатость". Тяжелая фракция состоит из устойчивых минералов: ильменит (до 28%), хромтишинелиты (до 15%), ильменит (до 5%), рутил (до 5%) и неустойчивых: эпидот, цинзит, роговая обманка (до 36%). Из аутогенных минералов главная роль принадлежит шариту и марказиту. Диатомиты слабоглинистые, состоят из обрывков спикул губок, радиолярий, панцирей диатомовых водорослей (80–90%), тонкораспыленного глинистого минерала (10%), опала, зерен кварца, чешуек слюды, хлорита.

Нижнезоценовый возраст осадков установлен по находкам в диатомитах ботанического комплекса диатомовых водорослей хороший сохранился – *Triceratium mirabile* Jousse, *T. ventriculosum* A. S., *T. klinkeri* A. S. и слизикофлагеллат *Dictyocha elongata* Glesser, *D. elongifera* var. *constricta* Glesser [71, 10]. Мощность отложений до 35 м.

**СРЕДНИЙ – ВЕРХНИЙ ЭОЦЕН**

*Ирбитская свита (Р<sub>2</sub>1x)*. Отложения ирбитской свиты не имеют широкого распространения и приурочены к водораздельным участкам современного рельефа. В верхней части наиболее полного разреза обычно залегают светло-серые пористые диатомиты, нижней – серые слабоглинистые, перекраты осадками неогенового и четвертичного возраста, залегая на глубинах от 3–5 до 25 м.

В составе пелитовой фракции диатомитов, составляющей 92–96% наблюдаются обрывки спикул губок и радиолярий (75–90%), распылённый бентонит (10–15%), опал (10%), зерна кварца, чешуйки слюды (5%), единичные зерна глауконита. Алевритовый и песчаный материал диатомитов (4–7%) состоит из кварца (79–81%), полевых шпатов (15–17%), обломков кремнистых пород (2%).

В составе тяжелой фракции, наряду с устойчивыми минералами ильменитом (до 25%), лейкоксеном (до 7%), цирконом (до 5%), рутилом (до 4%), турмалином (до 4%), корундом (до 4%), наблюдается значительное количество неустойчивых – эпидота и цинзита (до 50%). Характерной особенностью тяжелой фракции является малое количество аутогенных минералов.

Основанием для определения возраста послужили многочисленные находки в диатомитах органических остатков: фораминифер *Bolivinopora speciosibilis* (Грибв.), радиолярий *Thecosphaera sublilicis* Гирн., *Sethoprymna victori* Гирн., диатомовых *Oscinodiscus uraleensis* Jousse, *C. payeri* Grun., слизикофлагеллат *Dictyocha rotundata* Jousse, *D. frenguelli* Defl. var. *caventis* Glesser [71]. Мощность диатомитов крайне изменчива, обычно первые метры, реже до 20 м.

#### ОЛИГОЦЕН

##### ВЕРХНИЙ ОЛИГОЦЕН

*Наурузумская свита (Р<sub>3</sub>2x)*. Аллювиальные отложения свиты пользуются незначительным распространением и вскрыты скважинами в юго-западной части площади. Они слагают небольшие изолированные участки, которые ориентированы в субмеридиональном направлении и, возможно, фиксируют положение верхнеолигоценовой речной до-

лины. Залегают с размывом на раннепротерозойских ледниково-протоли-  
альных карстовых глинях, в руслах осадках лентурской свиты, реже  
на породах фундамента и морских позднечелочных осадках. Преп-  
ставлены глинами, песками и галечниками. Глины имеют подчинен-  
ное значение и приурочены к верхней части разреза свиты. Галеч-  
ники слагают нижние ее горизонты.

Глины желтовато-белого цвета, гидрослюдистые с каолинитом.  
Песчаный и алевритовый материал (до 33%) представлен зернами  
кварца (до 55%), цеолитизированного халиевого полевого шпата  
(до 23%), слюды (до 5%), образованными лимонитом (до 43%), об-  
ломками охваченных палеозойскими пород (до 50%).

Пески желтовато-белого цвета разнозернистые, обычно глинис-  
тые с гравием и галькой существенно кварцевого состава. Сред-  
ний гранулометрический состав песков приведен в прил. 10. Круп-  
ные фракции песков представлены угловатыми обломками  
кварца и кремнистых пород. Песчаный и алевритовый материал су-  
щественно кварцевого состава (до 93%), реже встречается зерна  
полевых шпатов (до 25%), слюды и хлорита (до 10%), обломки па-  
леозойских щород (до 10%). Пелитовая часть песков, составля-  
шая иногда до 46% объема, гидрослюдистая (до 80%) с подчинен-  
ным количеством каолинита.

Характерной особенностью галечников является преобладание  
гальки размером до 2-3 см хорошей окатанности, преимущественно  
кварцевого состава. Кварц полупрозрачный серого и молочно-бе-  
лого цвета. Песчаний и алевритовый материал состоит из зерен  
кварца (70-75%), полевых шпатов (1-5%), обломков кремнистого фунда-  
мента (5-20%), слюды (1-5%). обломки —  
ки (до 60%), каолинитом, зернами кварца, четырьмя слюдами, гид-  
рослюдами и желеzem. Средний гранулометрический состав галечни-  
ков приведен в прил. 10.

Тяжелая фракция составляет от 2 до 12% объема класса 0,25-  
0,05 мм и представлена устойчивыми к выветриванию минералами:  
ильменитом (до 74%), хромшипиландитами (до 30%), лейкоксеном (до  
36%), рутилом (до 2%), цирконом (до 26%), ставролитом (до 11%)  
и др. Неустойчивые минералы присутствуют в подчиненном коли-  
честве: магнетита до 2%, эпидота и цимзита до 3%, граната до  
4% и др. Из аутогенных минералов присутствует лимонит (до 41%).  
Палеогеографический коэффициент 26.

Основанием для отнесения данных осадков к верхнему олигоце-  
ну являются их литологическое сходство с осадками стратогени-  
ческих разрезов наурумской свиты верхнего олигоцена Южного За-  
уралья. Глины иногда содержат комплекс пыльцы широкого палео-  
ген-неогенового диапазона: *Abies* вр., *Rhus* вр., *Larch* вр., *Pr-*  
*terinus* вр., *Betula* вр., *Pterocarya* вр., *Betula* вр., *Alnus* вр., *Ca-*  
*grinus* вр., *Acer* вр., *Tilia* вр. [25, 71]. Мощность меняется от  
первых метров до 10 м.

## НЕОГЕНОВАЯ СИСТЕМА

Неогеновые отложения в районе имеют незначительное распро-  
странение. По литологическим признакам и положению в разрезе нео-  
гена в районе расщепляются на миоцен-раннеплиоценовые отложения  
карагольской серии и позднеплиоценовые отложения кустанайской  
свиты.

### Миоцен — нижняя плиоцен, нижняя часть

Каракольская свита (II<sub>1</sub>-2 км). Лесчано-глинистые отложения  
карагольской серии утранованы в юго-западной части площади, в  
виде аллювиально-озерных и ложковых фаций. Осадки залегают на  
различных образованных мезозойского и палеогенового отложений  
верхняя часть разреза существенно глинистая, нижняя — песчаная.  
К аллювиально-озерной части отнесены глины пестроцветные, се-  
ро-серые монтмориллонит-гидрослюдистые с марганцовисто-желе-  
зистыми обособлениями, рассеянной талькой полимиктового состава и  
меломонитами прослоевами кварцевистого песка. Пелито-  
вый материал (46-56%) представлен гидрослюдой (35-55%) и монт-  
мориллонитом (до 28%). Алевритовый (до 28%) и песчаный (до 26%)  
материал в глинях представлен зернами кварца (47-94%), полевых  
шпатов (3-22%), слюды и хлорита (3-10%), обломками пород фунда-  
мента, опок, диатомитов (до 20%). Мощность глинистой части раз-  
реза 4-6 м, максимальная 12 м.

Глины, относящие к ложковой фации, представлены жилинчат-  
ыми гидрослюдистыми песчанистыми разновидностями вишнево-красного  
цвета с большим количеством плохо окатанных каолинизированных

обломков пород фундамента и кварцевой гальки.

Пески в разрезе каракольской серии обычно полимиктовые разнозернистые глинистые с гравием и галькой кварца (69–91%), кремнистых пород, габбро-диабазов, порфиритов, туфопещаников, кварцевых лестничников (7–28%) с обломками бурого железняка (до 4%). Песчаний и алевритовый материал представлен зервами кварца (59–95%), полевых шпатов и обломками кремнистых пород (2–25%). Пелитовая часть песков и обломков кремнистых пород (2–80%), каолинит (до 20%). Монтмориллонит (до 15%). Средний гранулометрический состав песков и пестчано-гравийных отложений приведен в прил.Ю. Мощность песчаной части разреза 3–5 м, максимальная 18 м.

Тяжелая фракция осадков каракольской серии составляет 3–10% объема класса 0,25–0,05 мм. Характеризуется высоким содержанием аутогенных минералов (лимонит, гидроокислы железа до 50%) и преобразованием неустойчивых минералов (апатит, цонзит до 85%, роговая обманка до 23%, широксен до 16%), нац.устойчивыми (ильменит 3–33%, хромшипелиды 1–32%, лейкоксен 2–5%, рутил до 3%, анатаз до 3%).

Описываемые отложения относены к каракольской серии иоценового возраста по их стратиграфическому положению ниже плиоценовых аллювиальных осадков кустанайской свиты и выше верхнеолигоценовых аллювиальных отложений наурузумской свиты [56, 71].

#### ПЛЮОНЕН

АКТАЧИНСКИЙ-АЛЬПЕРОНСКИЙ ЯРУСЫ

*Кустанайская свита (Ч<sub>2</sub>к). Отложения кустанайской свиты* пользуются ограниченным распространением, приурочены к долинам рек Гуры, Большого Актая, Лобын, слагая аллювий докольной террасы этих рек. Плотник аллювия располагается на уровне 32–35 м выше уреза воды на абсолютных отметках 150–170 м. Осадки кустанайской свиты представлены песками, галечниками, рече глинами.

Пески кустанайской свиты обычно разнозернистые, полимиктовые, глинистые, красно-бурого цвета с железистыми и марганцовисто-железистыми обводнениями. Для песков характерна плохая сортировка материала и иногда значительное содержание гравия. Сред-

ний гранулометрический состав гравия приведен в прил.Ю. Крупные фракции состоят из гальек и гравия кварца (25–35%) и сильно измененных пород фундамента (65–75%), степень окатанности – средняя и хорошая. Песчаний и алевритовый материал представлен – лен зернами кварца угловатой формы (35–52%), полевых шпатов (6–10%), силици и хлорита (5–8%), обломками выветрелых пород фундамента (10–36%). Пелитовая часть состоит из гидрослюды, гидроокислов железа, в значительно меньшем количестве присутствует каолинит несовершенной структуры.

В составе кустанайской свиты отмечены глины гидрослюдистые, слабо песчаные красно-бурового цвета с большим количеством малых марганцовисто-железистых добавок. Пелитовый материал (60–85%) состоит из гидрослюды, в меньшем количестве присутствует каолинит, отмечается кварц и полевые шпаты (до 10%), силици и хлорит (до 10%), гидроокислы железа и марганца. Песчаный материал (15–20%) представлен зернами кварца (56–70%), полевых шпатов (10–27%), силици и хлорита (до 5%), обломками выветрелых пород фундамента (4–20%).

Тяжелая фракция в песчаных разновидностях представлена в основном неустойчивыми минералами – эпидотом, цинзитом (43–77%), роговой обманкой (до 10%), моноклинным пироксеном (до 38%), магнетитом (до 6%). В незначительном количестве встречается ильменит (до 6%), шприкон (до 4%), сферен (до 1%) и др. Отнесение описываемых отложений к кустанайской свите основано на пространственной приуроченности к долинам современных рек и несомненной принадлежности их к аллювиальному щанием, распространенном на самых высоких цокольных террасах. Мощность отложений 1–4 м, максимальная 12 м.

#### ЧЕТВЕРТИЧНАЯ СИСТЕМА

Отложения четвертичного возраста различных генетических типов имеют широкое развитие на всей площади. Мощность их не превышает 5–8 м и только в эрозионно-структурных депрессиях иногда достигает 10–20 м (Актайско-Галицкий и Шайтанско-Таловский участки (рис.4).

#### НИЖНЕ-СЕРДНЕЕ ЗВЕНЬЯ

Эльвияль и озера Ильине отложены (ед I-III) предположительно плейстоценового возраста, разлит локально на вершинах пологих холмов и возвышенностей в южной части площади и представлены глиной пестанской со лбеном и дресвой подстилающих пород.

На территории Зауральского пенильена эти отложения разви-ваются за счет плиоцен-четверичного элювия, в связи с чем возраст определяется как плейстоценовый [4, 5]. Мощность отложе-ний 0,5-2,0 м.

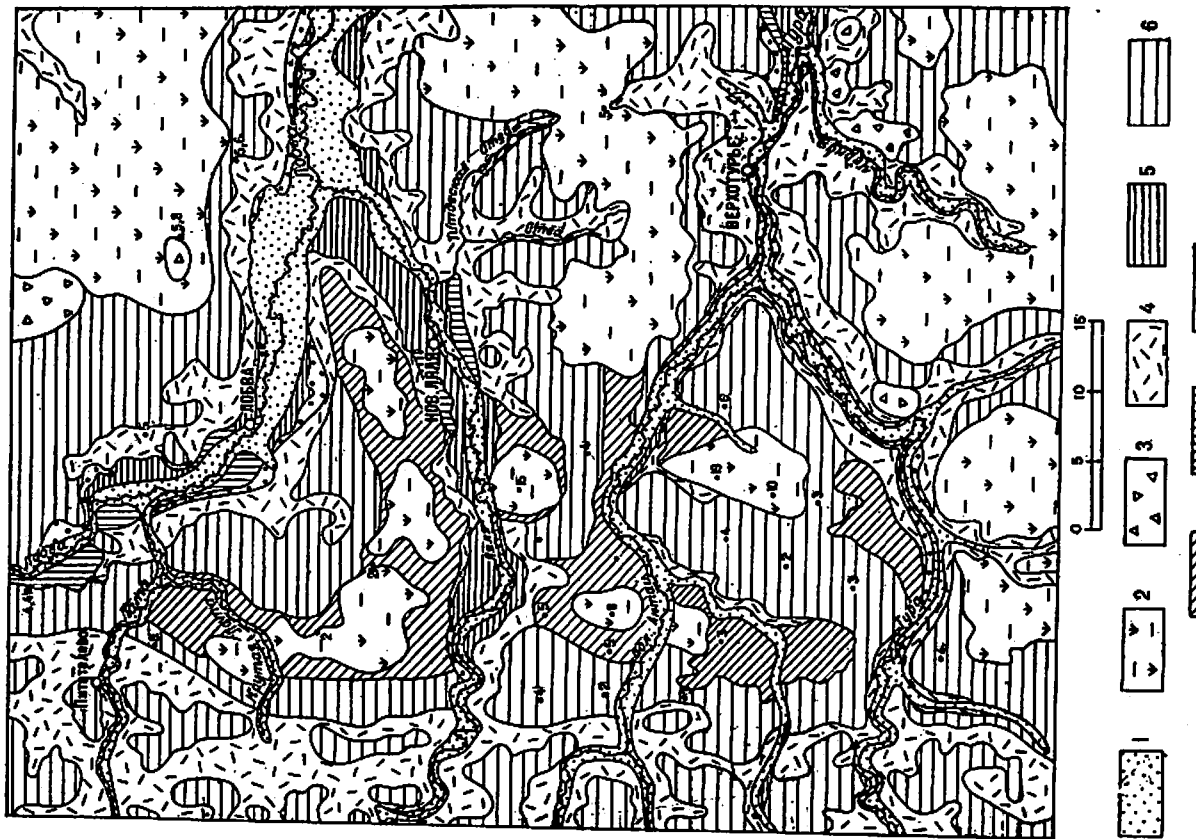
#### НИЖНЕЕ - СРЕДНЕЕ ЗВЕНЬЯ

К этому возрасту отнесены аллювий в ильинский и озеро-реки и озеро-затон (алл-II), широко развитые в пределах эрозионно-структурных депрессий, где они залегают с разрывом на осадках различного возраста. Представлены монтмориллонит-гидросиликатными глинями зелено-серого-синевато-серого цвета с редкой галькой полимиктового состава. В нижней части разреза количество гравийно-галечного материала увеличивается и достигает 40-50%. Возраст отложений приближается на основании притяжения к ним фаунистически окраинные разновидности осадков средне-плейстоценового возраста (I-II и III надпойменные террасы). Мощность отложений от 3 до 10 м.

#### СРЕДНЕЕ ЗВЕНЬЯ

К этому возрасту отнесены аллювимальные осадки, слагающие четвертую надпойменную (Учимскую) и третью надпойменную (исет-

I-2 - верхнее-среднее звенья; 1 - аллювий иллюстрированный и ильинской террасы (алл-II); 2 - озерно-болотные отложения (алл-II-III); 3 - нижнее-верхнее звено, южноказахстанское отложение (ед-I-III); 4-5 - верх-нее звено; 4 - делювиальное отложение (ед-II); 5 - алькульский и хамейский горизонты, аллювий второй надпойменной (чимешковской) террасы (алл-II-III); 6 - среднее-верхнее звено, второе надпойменное (ед-II-III) отложение; 7 - нижнее-среднее звено (ед-II-III); 8 - среднее звено (ед-I-II); 9 - нижнее-среднее звено (ед-I-II); 10 - средний горизонт, аллювий третьей надпойменной (исетской) террасы (алл-III); 11 - верхний горизонт, аллювий четвертой надпойменной (уральской) террасы (алл-IV). Цифрами показана мощность осадков, м



скую) эрозионно-аккумулятивные террасы, участками сохранившиеся в долинах крупных рек.

**Лихинский и днепровский горизонты.** Альвиаль - ние отложений (алт. + дн.) этого возраста снягает четвертую надпойменную террасу. В нижней части разреза они представлены полимиктовыми галечниками. В верхней - бурными песчанистыми глинами. Высота поколия террасы 10-20 м.

К.В.Никиторова [8, 65] в галечниках террасы р.Туры в районе д. Карельна обнаружила остатки *Eucris* вр. (*cavallii* aff. *var. bettagi*) возраст которых определен В.И.Громовым не моложе казарского времени. Средняя мощность аллювия около 5 м.

**Одниновский и московский горизонты.** Альвиальное третьей надпойменной цокольной террасы. По литотектическому составу характеру разреза эти осадки близки к отложениям лихинского и днепровского горизонтов. Высота поколия террасы относительно уреза воды 3-8 м.

Возраст осадков определяется находками К.В.Никиторовой [8] на смешной с запада территории в галечниках третьей террасы зубов и костных остатков *Mesocatodus primigenius* (Blum.) ранней формы. Средняя мощность аллювия около 5 м.

#### СРЕДНЕЕ - ВЕРХНИЕ ЗВЕНЬЯ

**Полигенетическое отложение я (др.-III)** условно среднего-позднего плейстоцена развито в основном на междуречьях в восточной части площасти и представлено желто-бурыми однородными лессовидными суглинками почти без включений обломочного материала с характерной столбчатой отдельностью. Относительно генезиса этих осадков существуют различные точки зрения, многие признают их пойменетическую природу. Возраст (средний-верхний плейстоцен) определяется находками многочисленных остатков фауны млекопитающих в лессовидных суглинках бассейна р.Туры в более восточных районах [4, 5]. Мощность отложений 1-2 м, редко достигает 4 м.

Эльвиально-альвиальное отложение я (др.-III) выражено в западной увалисто-холмистой части района на вершинах пологих увалов. Они представлены

бурными, красновато-бурыми глинами со щебнем коренных пород. Зорстот определяется условно приуроченностью отложений к определенной структурно-картической зоне (восточная увалистая зона) и взаимоотношением с делювийальными образованиями верхнего плейстоцена, прекрывающими элювиальные отложения высоких речных террас. Мощность 1,0-2,5 м.

Дельвиально-отложениев (др.-III) занимает пологие склоны возвышенностей в пределах продольных депрессий и ложбин в увалисто-холмистой части района. Представлены песчаными глинами с подглазатанным щебнем подстилающих пород, гравием и галькой кварца.

Возраст определяется условно по развитию отложений в пределах пленелена и взаимоотношениям с образованиями других генетических типов (озерно-делювиальные осадки нижнего и среднего плейстоцена, делювиальные - верхнего плейстоцена). Мощность 2-4 м.

#### ВЕРХНИЕ ЗВЕНЬЯ

Дельвиально-отложениев (др.-III) приурочены к склонам холмов и речных долин, перекрывают аллювиальные отложения высоких речных террас, включая вторую. Представлены глинистыми пещанистыми, бурыми и суглинками со щебнем, дресвой, иногда глыбами местных коренных пород. Гранулометрический состав весьма непостоянный, мощность изменяется в пределах от 0,5 до 5,0 м. Возраст определяется на основании их сочленения с отложениями второй надпойменной террасы и отсутствия на них зонах террасах.

**Микулинский и халинский горизонты.** Альвиальное отложение (алт. + дн.) представлено аллювием второй надпойменной (камышловской) аккумулативной и эрозионно-аккумулативной террасами. Высота поверхности террасы 6-8 м. Аллювий сложен галечниками и песками разнозернистыми подлинико-выми. В верхней части разреза террасы наблюдается переслаивающие глины алевритистых с песчаными мелкозернистыми ожелезненными. Возраст определяется находками костных остатков фауны: *Mastodons primigenius* (Blum.) поздней формой, *Coelodonta antiquitatis* (Blum.), *Rivus priscus* (Boj.) и др. (определения З.Е.Гаруга, Э.А.Вангенгейма) в аллювии второй террасы р.Туры на смажной с

Востока площади [4.5]. Мощность осадков обычно 2-4 м.

#### ВЕРХНИЕ-СОВРЕМЕННЫЕ ЗАСЫПЬ

##### КАРГИНСКИЙ,

**ПОЛЯРНОУРАЛЬСКИЙ ГОРИЗОНТ - СОВРЕМЕННОЕ ЭВНО** Альлювиальные отложения (алл-IV) составляют первую надпойменную аккумулятивную террасу, высокую и низкую поймы купных рек и их притоков. Сложенны песками, алевропистыми глинами, часто перекрываются залежами торфа. Низкая пойма представлена аллювием русловых фарий, с которым в районе связаны золото-платиновые россыпи.

Возраст отложений устанавливается по находкам современных моллюсков, остряков и археологических памятников неолита. Общая мощность осадков 5-10 м.

**ОЗЕРНО-БОЛОТОВЫЕ ОТЛОЖЕНИЯ (1нIII-IV)** широко развиты в восточной части площади. Занимают междуречья и границы их распространения совпадают с современными торфяными болотами и торфниками, к которым приурочены многочисленные месторождения торфа. Отложения представлены глинями илстами черного и темно-серого цвета, симбо известковистыми. Глинистая фракция (70-82%) кальцит-гидрослюдистого состава.

Возраст озерно-болотных осадков определяется как поздний плейстоцен-голоцен на основании многочисленных палеонтологических данных и результатов изотопного определения возраста [4, 5]. Мощность отложений 3-4 м.

#### РАННЕСИЛИУРИЙСКИЕ ИНТРУЗИИ ( $S_1$ )

Восточно-тагильский комплекс ( $S_1$ ) представлен альпинотипнымиультрамафитами дунит-гарци-суритовой ассоциации, слагающими крупные массивы в центральной части района - Алтайско-Туринский, Лобинский и Вагранский, общая площадь около 280 км<sup>2</sup>. Ультрамафиты фиксируют зону Серовско-Чаутского глубинного разлома и слагают линейно-вытянутые пластообразные тела с вертикальным или крутым западением.

Массивы сложены апоперидотитами (апогарнобрюгитовыми) серпентинитами с редкими структурами и минералами первичных пород. Аподунитовые серпентиниты имеют подчиненное развитие.

В магнитном поле ультрамафиты создают положительные линейные аномалии интенсивностью 1000-4000 гамм с четкими контурами. Градиент напряженности достигает 10 гамм/м, локальные поляния поля соответствуют участкам развития гранитоидов и тальк-карбонатных пород (см. рис. 1). В поле сильной тяжести массивы располагаются в зоне крупной гравитационной ступени, определяющей положение Серовско-Мауского глубинного разлома (см. рис. 2).

Апоперидотитовые серпентиниты ( $\phi^1$ ) состоят из антигорита, лизардита и хризотила, реликтов зерен оливина и порфириевидных выделений бастита; акессорные минералы: хромит, магнетит, широтит.

Аподунитовые серпентиниты ( $\phi^2$ ) сложены по минеральному составу к апогарнобрюгитовым, отличаются отсутствием бастита.

Серпентиниты неуставленной перидитной природы ( $\phi$ ) существенно антигоритовые, обычно рассеяны плоскими с параллельно-полосчатыми выделениями агрегатов талька, карбоната, магнетита. Реликтовых структур не имеют.

Тальк-карбонатные породы ( $tc$ ) широко развиты в восточном эндо контакте Алтайско-Туринского массива, сложены лейидитом - областными агрегатами талька, карбоната, tremолита, хлорита и кварца. В зонах тектонических нарушений серпентиниты превратились в

#### ИНТРУЗИИ. ОБРАЗОВАНИЯ

Интузивные образования пользуются значительным развитием в районе, занимая около 35% его площади. Развитие сравнительно мощного мезозойско-кайнозойского платформенного чехла крайне затрудняет расчленение интузивных образований, изучение их состава, определение возраста.

По совокупности геологических данных и особенностям гранит-магматических полей интузивные породы района расщеплены в соответ-

Таблица

зены в хлоритовые сланцы, тальк-карбонатные породы с тремолитом и хлоритом.

Магнитная восприимчивость и остаточное намагничение серпентинитов в основном высокие, хотя меняются в широких пределах соответственно  $115\text{--}3100 \cdot 10^{-6}$  и  $760\text{--}2660 \cdot 10^{-6}$  СИ. Среднее значение плотности  $2,55\text{--}2,60 \text{ г}/\text{см}^3$  [42, 71]. Химический состав пород близок к среднему составу ультрамафитов Р.Дэли (прил. 9). Сульфосодержащими породами восточно-тагильского комплекса в районе связана минерализация хромита, талька и хризотил-асбеста с их корами выветривания – проявления силикатного никеля. Верхняя возрастная граница формирования ультрамафитов определяется находками обломков серпентинитов в базальных контактах туринской свиты у д. Белая Речка [71] и на северной смежной площади [6]. Радиологический возраст габбро-диоритов, рутильных серпентинитов севернее д. Талая, 425 млн. лет (прил. 8, прбд 5). Нижний возрастной уровень ультраосновных пород комплекса не известен. Раннесибирский возраст принят на основе результатов региональных обобщений [2, 83].

Косьвinsky комплекс ( $S_{1K}$ ) представляет собой серпентинитами ( $v$ ), которые в узких тектонических блоках выделены на поверхность ядре западного контакта Алтайско-Туринского серпентинитового массива в виде линейных тел шириной до 0,8 км в тесной ассоциации с габбро-тагильского комплекса ( $S_1t$ ). В дассейне р. Кругой Латы и в 2 км западнее пос. Красный Яр приподняты выделены преподложительно по результатам анализа геофизических материалов [40]. По составу породы однородны. Доминируют клинопироксениты, как главной разновидности, встречаются магнетитовые оливин- и шпатоклазодержащие пироксениты, связанные постепенными фациальными переходами. В оливин-серпентинитах разностях количества оливина ( $Py_{22}$ ) достигает 35%, появляется экзогнатит, и породы по составу приближаются к верлитам. В шпатоклазовых пироксенитах плагиоклаз, как правило, полностью сопоставлен сиренево-зирозирован, иногда наблюдается реликты биотита. Структура – аллотриоморфно-зернистая, участками поликлиновая, врудных пироксенитах – сидеронитовая.

Магнитная восприимчивость пироксенитов непостоянна: пределы колебаний  $0\text{--}7000 \cdot 10^{-6}$  СИ при средней величине для клинопироксенитов и оливин-серпентинитов соответственно  $650 \cdot 10^{-6}$  и  $2450 \cdot 10^{-6}$  СИ. Среднее значение плотности  $2,95 \text{ г}/\text{см}^3$ .

Схема расположения интрузивных образований	
Средне-позднекаменноугольные	Западная структурно-диапазонная зона (Тагильского прогиба)
Средне-позднекаменноугольные	Стеллинский комплекс ( $S_{12}^{2v}$ ): граничные породы южные лейкократовые сиенито-диориты, диориты
Средне-позднекаменноугольные	Индельский комплекс ( $D_{2-3}^1$ ): матче интрузии, даики габбро-диабазов, контакт-диабазов, диориты
Среднеэоценовые	Аузрабаховский комплекс ( $D_{2a}$ ): гипабиссальные интрузии керченых диоритов, диоритов
Позднесибирские-раннедевонские	Суббульганические интрузии базы ( $S_{2-3}^1$ ?): габбро-диабазы, диабазы эссекитовые: сиениты, микроплагиограниты, плагиограниты-порфиры, росинениты, сиенит-порфиры
Позднесибирские	Верхнетагильский комплекс ( $S_{2t}$ ): диориты, кварцевые диориты, шпатогранулированные граниты
Раннесибирские	Тагильский комплекс ( $S_{1t}$ ): субвульганические интрузии ( $S_{1t}$ ): габбро-диабазы, долериты, шпатограниты, гранит-порфиры
Восточно-Тагильский	Восточно-Тагильский комплекс ( $S_{1v}$ ): косьвинский комплекс ( $S_{1v}$ ): калиевый, калиево-оливиновый пироксениты, апофиллититы, аполюминиты

Магнетитоодержащие широковетвистые, имея аномально высокую магнитную восприимчивость (до  $25000 \cdot 10^{-6}$  СТС), в ряде случаев уверенно выделяются по аномальности до 5800 гамм (магнитная аномалия в районе пос. Савиново) [71].

Взаимоотношения широксенитов с габбро и габбро-диоритами тагильского комплекса неясны. Возможны переходы между габро и широксенитами через меланократовое габро с постепенным по-вышением основности ширококлаза до биотитита [71].

С магнетитовыми широксенитами в районе связано титаномагнитовое оруденение катанарского типа, весьма характерное именно для косьвинского комплекса. Возраст последнего принят по аналогии с другими районами восточного склона Северного и Среднего Урала.

С у с у л к а н и ч е с к и е о б р а з о в а н и я и я н и н -  
г е т о г о с и л у р а предста влены габбро-диабазами, долеритами ( $\text{уф}'$ )  
и плагиогранит-порфирями ( $\text{уф}$ ). Габбро-диабазы и долериты об-  
разуют штокобразные тела изометричной формы в плане площадью  
от 0,3 до 1,4  $\text{км}^2$  среди энтузиев основного состава северо-восточнее Д. Полуденки (прил. 9).  
По минеральному и химическому (прил. 9)  
составу эти породы близки к вмешавшим энтузиевым, отличаясь от  
них поликристаллической структурой, и, по-видимому, являются  
комагматами вмешавших пород, в магнитном поле фиксируются по-  
ложительными аномалиями изометричной формы интенсивностью 200-  
500 гамм (магнитная восприимчивость  $200-4000 \cdot 10^{-6}$  СТС). Плаги-  
огранит-порфирин являются субвулканическими аналогами энтузиевов  
кислого состава и образуют штокобразные тела сложной формы в  
среднем течении р. Кругой Латы. Это полиморфные породы кварц-по-  
левомпакового состава светло-серого цвета с микрогранитовой  
структурой основной массы. Екранленники представлены албитом  
и олишрамидальным кварцем. Редкие мелкие вкрашеннники темно –  
цветного минерала замещены агрегатом стильтономелана.

Т а г и л ь с к и й к о м п л e x (S<sub>1t</sub>) представлен  
габбо, габбро-диоритами и плагиогранитами, залегающими в уз-  
ких субмеридиональных тектонических блоках вдоль западного кон-  
текта альпинотипных ультрамагмитов. Предполагается более широ-  
кое развитие габброидов на глубине, судя по серии крупных (до  
 $5 \times 12 \text{ км}$ ) максимумов гравитационного поля с относительной интен-  
сивностью до 10 мГц, расположенных вдоль западного контакта  
ультраосновных массивов (см. рис. 2). Магнитная восприимчивость

роговообманковых габбров и габбро-диоритов переменна (0-10000- $10^{-6}$  СТС,  $\sigma_p=1800-10^{-6}$  СТС). Среднее значение плот-  
ности 2,91 г./ $\text{cm}^3$ . В связи с близкими значениями физических  
свойств разделение пространственно совмещенных массивов та-  
гильского и косьвинского комплексов на основании анализа фи-  
зических полей, за редким исключением [71], невозможно.  
Среди город тагильского комплекса преобладают неравномерно-  
зернистые в различной степени амфиболизированные габбро (у'),  
которые относятся к первой фазе внедрения и характеризуются  
следующим составом: андезин № 48-50, диопсид, роговая обманка,  
магнетит; вторичные минералы: соскорит, агунтолит. Габбро-диориты (у<sub>h</sub>)  
имеют подчиненное значение, относятся к первой  
фазе внедрения, с габбро связаны постепенные переходы.  
Плагиограниты (у<sub>g</sub>) относятся ко второй фазе внедрения,  
встречаются в виде малых интрузивных тел в габбро, иногда  
пементируют остроугольные обломки габбро в интрузивных бре-  
чиах, которые вскрыты скважинами восточнее Д. Полуденки [71].  
Линнеллярный состав плагиогранитов (%): олигоклаз 60, кварц 30,  
биотит 10; структура призматическая-зернистая.  
Кильные породы комплекса представлены дайками диоритов (у<sub>d</sub>)  
и диоритовых порфиритов. (у<sub>dp</sub>).

По химическому составу габброриды и плагиограниты соответст-  
вуют известково-шелочной натровой серии (прил. 9), как и вулка-  
ниты контрастной ассоциации нижнего-среднего ландовери, с ко-  
торыми они пространственно тесно связаны, что хорошо видно в  
зарезах скважин на левом берегу р. Бол. Актау, у д. Белая Речка  
и в обнажениях береговых склонов р. Гури в районе д. Карелина  
[71].

## ПОЗДНИСИЛУРИЙСКИЕ ИНТРУЗИИ

В е р х н е т а г и л ь с к и й к о м п л e x (S<sub>2vt</sub>)  
представлен диоритами, кварцевыми диоритами, плагиогранитами-  
шламами и плагиогранитами, слагающими Поздняковскую группу штоко-  
образных интрузий среди вулканитов нижнего-среднего ландове-  
ра. На северо-западе площади. Аналогичная ассоциация пород раз-  
вита в восточном дне комплекса Верхнетагильском массиве [3].  
В магнитном поле тела Поздняковской группы образуют зону  
73-тих субмеридионально вытянутых положительных аномалий интен-

сивностью в 500 гамм и более, что отвечает магнитным свойствам пород ( $\times$  СР=1430-10<sup>-6</sup> СГС). Отсутствие минимумов около пологих аномалий свидетельствует о крутом падении объектов и значительном их распространении на глубину. В поле сильы тяжести они приурочены к красовой и эпигенетической частям крупной положительной аномалии, предположительно вызванной габброидами.

Минеральный состав описываемых пород устойчивый. Отдельные разновидности отличаются только соотношением соскоритизированного анцезина с прямой зональностью, роговой обманки и кварца; акцессорные минералы - апатит, сфен, вторичные - эпилор, агат, ноллит, хлорит. Для всех разновидностей характерны постоянное присутствие кварца, количество которого в кварцевых диоритах и плагиогранодиоритах возрастает до 15-20%, и субоббитоновая микроструктура, обусловленные резким ксеноморфизмом роговой обманки относительно призматического плагиоклаза.

Плагиограниты состоят из плагиоклаза (50-55%), кварца (30-40%), редких зерен роговой обманки. Структура гранитовых, макропегматитовая. Кварц в ксеноморфных зернах замещает плагио - клаэз. В связи с тем последний имеет извилистые очертания и иногда наблюдается в виде реликтов в зернах кварца.

Кильные породы комплекса представлены лайками диоритовых породритов ( $\delta_n$ ) и плагиогранит-породритов ( $\zeta_{\text{тн}}$ ).

Пряных данных о возрасте пород комплекса и их взаимоотношении с имеющимися породами на площади не имеется. На смежной с запада территории [49] северо-западнее пос. Поздняковка наблюдалась интрузивные контакты кварцевых диоритов с выветрелыми вулканитами нижнего-среднего ледникового и незначительная первичная кристаллизация, освещение последних в зоне контакта.

По химическому составу (прил. 9) породы Поздняковской группы интрузий известково-щелочной матртовой серии, аналогичны по геологической позиции и петрохимическому составу породам Верхне-Лобянского и Каменского массивов на смежной площади [6]. Сопоставление пород Верхне-Лобянского массива с выветрелыми вулканитами дает определенные основания для объединения их в единую вулкано-плутоническую ассоциацию [48]. Характер дифференциации интрузийных пород Поздняковской группы, особенности петрохимического состава позволяют рассматривать их аналогично породам Верхне-Лобянского массива как кокмагмати-

дифференцированной вулканической ассоциации верхнего леднико-вери-среднего венда. С верхнетагильским комплексом в районе предполагается генетическая связь месторождений золота и минерализации меднопорфирового типа.

### ПОЗДНЕДЕВОНСКИЕ ИНТРУЗИИ ( $S_2$ -D<sub>1</sub>)

Позднедевонско-раннедевонские интрузии образования представлены в западной зоне субвуликанитами, комагматичными эфузивами туринской свиты, а в восточной - гранитоидами диорит-гнейсит-плагиогранитовой ассоциации.

Субулические и образованы я. К этой группе магматиков относятся породы основного состава - габбро-диабазы, диабазы ( $\nu_8$ ) и щелочного состава - сиениты, микросиениты ( $\epsilon$ ), сиенит-порфиры ( $\xi$ ). Габбро-диабазы, диабазы эсекситовые образуют штоки площадью до 0,5-0,6 км<sup>2</sup> и кругопадающие пластообразные тела мощностью до 200-300 м среди пород туринской свиты и более древних образований. Вскрыты скважинами в 4 км юго-западнее пос. Савиново. Обнаруживаются в береговых склонах р. Туры у пос. Лялека, в верховых р. Полуденной Акгай и на других участках. Субвуликанит имеет высокую магнитную восприимчивость (1750-2550·10<sup>-6</sup> СГС) и создает локальные магнитные аномалии с четкими градиентными границами, интенсивностью до 500 гамм. Среднее значение плотности пород щелочного состава 2,75, основного состава 2,84 г/см<sup>3</sup> [71]. Темно-серые мелко- и среднезернистые породы с габбро-диабазовой структурой часто порфировидные; слоевыи алббитизированным плагиоклазом (лабрадор), клинопироксеном, в подчиненном количестве присутствует калишпат. Аксессорные минералы - апатит, магнетит; вторичные - хлорит, олигит, кварц. Кимберлитовый состав пород характеризуется высоким содержанием K<sub>2</sub>O и суммы щелочных окислов (прил. 9).

Изотопное определение возраста диабаза асекскитового калий-аргоновым методом 407 млн. лет (прил. 8, проба 2). Сиениты, микросиениты и сиенит-порфиры образуют штоки - залежи тела площадью до 0,5 км<sup>2</sup> или маломощные дайки среди подгорных туринской свиты. Пироксен-плагиоклазовые сиениты в районе

Д. Полуденным сложены кристаллами плагиоклазом (15%), патинистым калингитовым полевым шпатом (перлит и антимонит, 55%), роговой обманкой (17%), клинопроксеноидом (7%). Акцессорные минералы: ильменит, апатит, сфен; вторичные - биотит, хлорит, кварц. Структура гнейсоморфозернистая, часто порфировидная. Среднее значение магнитной восприимчивости  $1125 \cdot 10^{-6}$  СИС, плотность -  $2,65 \text{ г/см}^3$ . Химический состав пород (прил. 9) типичен для сингитов Татило-Кумынского района [83].

Породы дифорит-гранат-плагио-гнейсовой ассоциации слагают крупные удаленные массивы, ориентированые глубоко согласно структурно - по плоскости выщелачивших метаморфических пород. Преобладают в массивах в основном кварцевые диориты при подчиненном развитии кварцодержащих диоритов, плагиогранодиоритов и плагигранитов. Редкие обнажения этих пород наблюдаются в береговых склонах крупных рек. Наиболее изучен Шайтанский массив кварцевых диоритов по материалам картографического обрушения [71] в южной части площадки, в бассейне р. Шайтанки.

Характерной особенностью массива является то, что слабая гнейсовиность, наблюдается в кварцевых диоритах, полностью согласуется с ориентировкой структурных элементов выщелачивших плагигнейсов и кристаллических сланцев; контакт с плагигнейсами нечеткий благодаря склонству минерального и химического составов этих пород (прил. 9), что отмечалось еще В.М. Сергиевским [13]. В связи с этим представляется возможным предполагать тесную генетическую связь гранитолов и город гнейсово-метаморфового комплекса и увеличение формирования первых с процессами ультраметаморфизма.

В зоне восточного пологого (20-30°) и западного крутоого (70°) контактов с кристаллическими сланцами нижнего палеозоя (?) наблюдается перекристаллизация выщелачивших пород, выразившаяся в появлении магнезиернистых роговиковоподобных структур и резком повышении железистости роговой обманки коэффициент железистости (от 27-40 до 57-58%) и основности плагиоклаза (от № 20-23 до № 43-47).

Кварцевые диориты (40) обычно слабо гнейсoidные, серые среднезернистые породы состава, %: андезина 40-60, роговая обманка 20-30, кварц 10-30, биотит 5-10; вторичные - мусковит, эпидот, хлорит; акцессорные - апатит, сфен, циркон, магнетит.

Плагиогранодиориты (10) отличаются только повышенным содержанием кварца и биотита. Структура гнейсоморфозернистая, иногда порфировидная. Плагиоклаз № 30-40 имеет характерную рекуррентную зональность. Роговая обманка высокозелезнестая ( $f_{\text{ср}}=61,3\%$ ). Магнитное поле стаболившееся, имеет средний уровень 100-300 гамм, возрастая иногда до 500-800 гамм. Часто кварцевые диориты залегают по периферии гранитных массивов, что отражается в характере магнитного поля - изотопами как они оказывают отрицательные аномалии, связанные с гранитами, подчеркивая их изометричную форму (см. рис. I). Наблюдается отчетливая согласованность в изменении интенсивности гравимагнет - ник полей.

Породы магнитны. Вероятная магнитная восприимчивость  $1870 \cdot 10^{-6}$  СИС. Среднее значение плотности  $2,71 \text{ г/см}^3$  [42, 71]. Изотопное определение возраста кварцевых диоритов калий-аргоновым методом 412 млн. лет (прил. 8, пробы 4) с последовательным омоложением волнист контакта с каменноугольными гранитами до 372, 332 [71] (пробы 9,8) и 331 млн. лет (по биотиту, пробы II).

Плагиграниты (10) обнаруживаются в береговых склонах р. Туры западнее д. Волотино на контакте серпентинитов Алтайско-Туринского массива и кристаллических сланцев нижнего палеозоя (?). Контакты с серпентинитами и кристаллическими сланцами интруционные: плагиграниты содержат частные ксенолиты сланцев и встречаются в виде согнутых и секущих кил в экзоконтакте с кристаллическими сланцами. Текстура гнейсогнейсная; структура призматической зернистости или порфирокластическая в сочетании с лепидогранобластовой. Незначительно пропитаны калиевым метасоматозом. Минеральный состав: олигоклаз (52%), кварц (30%), речитовый флюит; вторичные - мусковит (10%), хлорит, калишпат, эпидот; акцессорные - апатит, циркон, гранат (редко).

По химическому составу (прил. 9) это высоконаатровые породы. Среднее значение магнитной восприимчивости плагигранитов  $25 \cdot 10^{-6}$  СИС, плотности -  $2,63 \text{ г/см}^3$  [71].

## СРЕДНЕДЕВОНИСКИЕ ИНТРУЗИИ

А у з р б а ж о в с к и й к о м п л е к с ( $D_2$ ) предстан-  
лел мелкими гипабиссальными интрузиями порфировидных кварцев -

ных диоритов ( $\text{d}_1$ ) и диоритов ( $\text{d}_2$ ) Латинской группы массивов в западной структурно-фациальной зоне среди вулканогенных и вулканогенно-осадочных образований туринской свиты. Форма массивов штокобразная; их выходы на поверхность иногда сопровождаются морфоструктурами колпачевой формы [40].

В магнитном поле на обломок повышенном до 500 гамм фоне они отвечают слабо выраженные аномалии, осложненные точечными максимумами. В поле сильнее же они расположаются в градиентных (краевых) зонах крупного гравитационного максимума, образуя небольшие по интенсивности локальные повышения. Среднее значение плотности пород 2,68 г/см<sup>3</sup> [40].

Массивы чаще всего сложены кварцевыми диоритами порфировидными с характерной полифировой структурой и аллотриоморфной зернистой основной массой. Порфирозные вкрапления представлены зональным ацезионом и опацитизированной роговой обнажкой; акессорные минералы: апатит, магнетит, титаномагнетит; вторичные: соссюрит, хлорит. Гнеиссальные интрузии сопровождаются дайками аналогичных по составу диоритовых и кварцевых диоритовых порфиритов.

Интрузивные контакты диоритов с породами туринской свиты наблюдались в районе поселков Карагул и Тарах. Выделенные породы в зоне контакта интенсивно осветлены, серцитизированы, окварцованны, карбонатизированы, скарнированы.

По химическому составу кварцевые диориты и диориты относятся к известково-щелочной кальцитаторовой серии (прил. 9). Малые глубины образования описаных пород, специфика диализации, интрузивные взаимоотношения с отложениями верхнего силура-нижнего девона позволяют сопоставлять их с образование ауэрбаховского комплекса [83]\*. С данными породами в северной части района связаны скарново-магнетитовые пропилиты.

Вих диоритов ( $\text{d}_3$ ) и диоритов ( $\text{d}_4$ ) Латинской группы массивов пущи тел в осевой части Акташ-Галыцкой синклинали. Они расположены в виде серии часто обособленных тел мощностью 200–400 м в зоне шириной около 2 км и протяженностью 20 км на водоразделе рр. Туры и Полуденного Актая. Севернее, по простиранию зон, единичные дайки контга-диабазов наблюдаются в береговых склонах р. Дели.

Интрузии ивельского комплекса прорывают отложения каргинского и высотинского горизонтов среднего девона. Верхний восточный предел их формирования на площасти не установлен, но в Ивдельском районе он надежно определяется как доранекаменоконским. Интрузии ивельского комплекса прорывают отложения каргинского и высотинского горизонтов среднего девона. Верхний восточный предел их формирования на площасти не установлен, но в Ивдельском районе он надежно определяется как доранекаменоконским. Интрузии ивельского комплекса прорывают отложения каргинского и высотинского горизонтов среднего девона. Верхний восточный предел их формирования на площасти не установлен, но в Ивдельском районе он надежно определяется как доранекаменоконским. Интрузии ивельского комплекса прорывают отложения каргинского и высотинского горизонтов среднего девона. Верхний восточный предел их формирования на площасти не установлен, но в Ивдельском районе он надежно определяется как доранекаменоконским.

При широком диапазоне изменения физических свойств породам комплекса соответствует высокое среднее значение магнитной восприимчивости ( $1750 \cdot 10^{-6}$  СТС) и вероятное значение плотности 2,85 г/см<sup>3</sup> [71]. В физических полях эти породы фиксируются отчетливыми локальными положительными гравимагнитными аномалиями интенсивностью соответственно от 0,5 до 1,0 мГц и от 300 до 1000 гами.

Описываемые породы характеризуются диабазовой и габбро-диабазовой структурой. Состав: соссюритизированный пластоизолаз (35–50%), моноклинный широксен (30–38%), олиотит (1,5%), гидрохлорит (20–22%), кварц (0–5%), актинолит, карбонат, апатит, лейкоксен, рудные минералы. По среднему химическому составу (прил. 9) не отличаются от типичных диабазов и габбро-диабазов, характерны высокие содержания TiO<sub>2</sub> до 2,27%.

## РАННЕ-СРЕДНЕКАМЕННОУГОЛЬНЫЕ ИНТРУЗИИ (C<sub>1</sub>-2)

Степени искажений комплекса (C<sub>1</sub>-2\*) . Интрузивные породы ранне-среднего карбона слагают ряд симметричных по площасти (20–60 км<sup>2</sup>) массивов округлой формы: Боровской, Акташский, Ново-Лялинский, Лопаевский и др. (см. ниже рис. 5). Линейно-дугобразный выпуклый на восток полог массивов простирается в области соединения двух структурно-фаунистических зон. Большшинство массивов располагается в краевой части восточной зоны, Лопаевский – в западной зоне. Массивы двупрежден: I фаза – сле-

## СРЕДНЕ-ПОЗДНЕДЕВОНИСКИЕ ИНТРУЗИИ (D<sub>2-3</sub>)

Ивдельские комплексы (D<sub>2-3</sub>) представляют массивы интрузий и дайки интрузий в дайками диабазов, габбро-диабазов, контга-диабазов. Не исключается возможность сопоставления их в качестве вулканогенных базальтов с вулканогенным образованием дацит-андезит-базальтовой ассоциации трахит-андезит-андезитовой зоны, развитыми на севера площасти [6].

нито-диориты, кварцевые сиенито-диориты, редко плориты (фиг. 2) фаза — лейкократовые порфироидные граниты (1.). Характерно зональное строение массивов с приуроченностью лейкократовых гранитов к ядру. В периферийской части обычно располагаются гранитоиды повышенной основности и щелочности I фазы, в Актаиском и ряде других массивов порфироидные граниты ядра постепенно переходят в атакситовые неравномернозернистые, преимущественно мелкозернистые граниты краевой фации.

Расположенные близко к дневной поверхности центральные части Ново-Ладинского, Боровского и некоторых других массивов образуют куполовидные морфоструктуры в современном рельфе.

В магнитном поле массивам гранитоидов соответствует преобладающие отрицательные аномалии изометричной формы интенсивность 100–200 гамм. Структура магнитного поля подчеркивает зональное строение массивов, что выражается как общим нацелением изолиний, так и нарастанием интенсивности магнитного поля от отрицательного в центре до положительного 100–300 гамм по периферии. В поле силы тяжести почти все массивы расположены в пределах крупной гравитационной ступени и только Боровской массив вызывает нарушение линейности изоаномалий и создает отрицательную аномалию в 10 мГл (см. рис. 2).

Гранитоиды прорывают разновозрастные метаморфические образования, а также серпентиниты раннего силиура и гранитоиды позднего силиура-раннего девона (?). В свою очередь, гранитоиды средне-позднекаменноугольного комплекса интрузированы средне-позднекаменноугольными гранитами. В экзоконтактовом ореоле описываемых интрузий наблюдается карбонатизация и окварцевание серпентинитов, кальцитизация и развитие флогопита в кристаллических сланцах, в северном экзоконтакте Боровского массива скважинами вскрыты березиты и березитизированные породы с густой сетью тонких прожилков черного минерализованного (тирит) кварца с повышенным содержанием золота и редких металлов.

Сиенито-диориты, кварцевые сиенито-диориты мелко- и среднозернистые темно-серые породы с характерными окружными выделениями кварца, порфиробластами кальнагротового полевого шпата и порфироидными выделениями зонального андезина; темноцветные минералы — биотит и роговая обманка. Характерно повышенное содержание сферена, иногда до 5%.

Лейкократовые порфироидные граниты односторонние по соста-

зу породы: микроклин и мицоклин-пертит (70%), альбит-олигоклаз (20%), кварц (35%), диоксид мусковит, хлорит (до 5%), апатит, сфен, циркон, магнетит. По химическому составу они отличают нормальным гранитам (прил. 9). Вероятное значение магнитной восприимчивости 0–50 · 10<sup>-6</sup> СИ, среднее значение плотности 2,56 г/см<sup>3</sup>.

Геология гранитоидных массивов, их внутреннее строение, состав пород, характер энд- и экзоконтактовых изменений, спектрика отравления в физических полях и ряд других признаков позволяют сопоставлять описание интрузии с Султаевским, Сос-Новским и подобными им массивами ранне-среднекаменноугольного степинского комплекса Южного и Среднего Урала [83].

Изотопные определения возраста лейкократовых порфироидных гранитов Боровского массива калий-аргоновым методом, 325 млн. лет (прил. 8, проба 7), что, наряду с геологическими данными, подтверждает ранне-среднекаменноугольный возраст комплекса аналогично эталонному Степинскому массиву на Южном Урале. Комплекс спектрализирован на золото-шеелитовое оруденение.

## СРЕДНЕ-ПОЗДНЕКАМЕНОУГОЛЬНЫЕ ИНТРУЗИИ

Верхнесетский комплекс ( $C_2-J'$ ). Границы и ареалы линий в пределах восточной структурно-фаunalной зоны складают разнообразные по форме тела, грубо согласные структурному плану вымощенных платигнейсов, амфиболитов и кристаллических сланцев среднего-верхнего рифей (?) и нижнего палеозоя (?). Это наиболее распространенные и самые молодые интрузивные образования района. Исключительно слабая обнаженность, значительно затрудняет их карттирование. Оконтурование отдельных массивов при недостатке фактического материала стало возможным благодаря четкой выразительности соответствующих им гранитомагнитных полей. Прямые геологические наименования по скальным выходам гранитов и амфиболитов в береговых склонах р. Тура около г. Верхогорье, в устье р. Черной, рр. Акташ и Лильчиевка пос. Усть-Лобва. Дополнительный фактический материал получен по керну одиночных картеровых скважин.

Описаные выше гранитоиды образуют два крупных (Верхогорский и Усть-Лобвинский) и ряд более мелких массивов с резким ин-

содержанием ольвингита породообразующих окислов за исключением кремнезема,  $\text{CaO}$ ,  $\text{K}_2\text{O}$  и соответственно суммы щелочей.

Кильные образования представлены пегматитами, аplitовидными гранитами.

Изотермические определения возраста гранитов по биотиту калий-аргоновым методом 316–318 млн. лет (прил. 8, пробы 10, 13), что наряду с данными геологической зонами подтверждает спроведенность отнесения их к среднему–позднему карбону.

С гранитами в верхнегорном комплексе в районе связана магнитная минерализация, с пегматитами – проявления слюдни.

Усть-Лобинский массив характеризуется ровным отрицательным магнитным полем с интенсивностью 200–300 гамм. Аномалия

имеет округло–изометричную форму с четкой ориентировкой изолиний согласно контактам.

Верхногорному массиву отвечает такое же по интенсивности магнитное поле, но с менее четкими морфологическими особенностями (см. рис. I).

Какие-либо данные о внутреннем строении массивов отсутствуют, но можно предполагать их зональное (ореально–ядерное) строение с учетом вариации состава гранитов в разных частях одного и того же массива (Усть-Лобинский) и по аналогии с Верхнегорским массивом. Последний находится в той же структурной зоне (в Верхнегорско–Берхисетском эгантаклиниории [83], что и массивы средне–позднекаменноугольных гранитов данного района. Состав гранитов, их возраст, петрофизические особенности, характер физических полей и ряд других признаков позволяют сопоставлять их с верхнегорским комплексом (с производными третьей и четвертой фаз этого комплекса для комплекса Верхнегорского массива). Однако недостаток фактических данных затрудняет расчленение средне–позднекаменноугольных гранитов района на фации.

Граниты, аламеллиты (?)–средне–мелкозернистые серые породы состава, %: кварц 32–20, плагиоклаз 42–33, микроклин 30–23, биотит, мусковит 10–6; акцессорные и рудные минералы – апатит, циркон, магнетит, сфен. Микроструктура гипидноморфозернистая. Характерно неравномерное (спустковое) распределение темноцветных минералов. Характеризуются средней плотностью 2,61 г/см<sup>3</sup>, магнитной восприимчивостью  $100\text{--}500 \cdot 10^{-6}$  СТС (по результатам измерений образцов из различных участков маршрута автора).

По химическому составу (прил. 9) это известково–щелочные глинистые породы с преобладанием  $\text{Mg}_2\text{O}$  над  $\text{K}_2\text{O}$ , близкие по величине значению в тектоническом строении района имеет ПО Г-76 в северо-западном участке и структура, выделенная по результатам комплексной интерпретации геолого-гео-

## ТЕКТОНИКА

Особенности тектонического строения района определяет прежде всего положение его на сочленении двух крупных структур – Гатилово–Иагнитогорского прогиба и Восточно-Уральского поднятия, которым отвечают две структурно-фаунистические зоны соответственно западная и восточная. Эти структуры сопряжены по Серовско-Макушскому глубинному разлому, который фиксируется мощным поясом альбинонитовых ультрамафитов (рис. 5).

Интенсивность гравиметрических аномалий от прогиба к поднятию в пределах листа уменьшается от +40 мгс до -32 мгс, причем в западной структурно-фаунистической зоне характерны различие в зонку, размерам и интенсивности аномалии, в восточной – отчаянно один крупный минимум с двумя эпицентрами (см. рис. 2).

Градиент поля в пограничной зоне достигает 3–4 мгс/км. Магнитное поле в прогибной части характеризуется обилием эпиконвергентных и иногда разноориентированных аномалий, в пределах поднятия – близкое к нормальному. В области сочленения структур характер поля усложняется крупными линейными положительными аномалиями, соответствующими серпентинитовым массивам (см. рис. 1).

Важное значение в тектоническом строении района имеет ПО Г-76 в северо-западном участке и структура, выделенная по результатам комплексной интерпретации геолого-гео-

физических материалов, связанных, вероятно, с локальным расположением дегесинистального фундамента и существенно повлиявшим на внутреннее строение структур прогиба и менее выраженной в подножии. Иная граница ее проходит в центральной части пло- лизу мощностей и характеру разреза образований туринской сви- сти, представляет флексураобразный перегиб, осложненный систе- мой ступенчатых субширотных разломов взбросо-сдвигового (ле- вые сдвиги) типа неоднократно подновленных. В поле силы тяже- сти граница выражается в рееком изгибе изоаномалии в области гра- витационной ступени, разделющей структуры первого порядка, по замыканию и разделению отдельных аномалий прослеживается дале- ко за пределами листа О-41-УП. В области прогиба на границе структуры изменяется фоновая интенсивность магнитного поля от 100–200 гамма в южном блоке, до +200 гамма в северном, смещается

-5 – структурные ярусы и польгружи: 1 – рабедский ярус, 2 – раннепалеозойский ярус, 3–4 – ордовикско-раннедевонский ярус; 3 – раннеэозутийский польгру- 1 – поднесынайский польгру; 5–9 – граничные структуры; 5 – среднесынайско-турейская ЕРУС, среднесынайский польгру; 6–9 – граничные структуры (Татильский метасинклиноир); 10 – Татильско-Загитогорский прогиб (Татильский метасинклиноир); 11 – Юго-Восточно-Уральское поднятие (Верхнотурько-Беркисетский метасинклиноир); 12 – Татильский порог: [1] – центральная подзона Татильского метасинклиноира, Сось- занство-Чудайский синклиноир, [12] – восточная подзона, восточное крыло Татиль- ского метасинклиноира, [1] – Чуркотурский антиклиноир; 8 – четвертого порядка -A – Лобзинско-Лячинская метасинклиноир, 15 – расстоутуринско-Давыдинская метасинклиноир, 12A – Серовско-Карелийская моноклиналь; 9 – пятого и более вы- соких порядков и их номера: [2] – Гарниковская вулканокупольная структура (юго-восточ- зиантическая гряда), [3] – Гарниковско-Лобзинская антиклинальная вул- канокупольная структура, [4] – Гарниковская вулканокупольная структура (юго-восточ- кое задание), [5] – Кардачевская вулканокупольная структура, [6] – Акташско-Гуринский, Гуринско-Гарниковский, Грабен-синклиноир, [5] – Лобзинская группировка вулканокуполь- ской структуры, [6] – Акташско-Гарниковский синклиноир, [6] – Гимринская моноклиналь, [6] – Косолеманская синклиноир, [9] – Еланская моноклиналь, [10] – Романовская Гарниково-Зигантическая; 10 – граничные интрузивных массивов и их номера: [1] – Позд- зиборская группа, [2] – Давыдинская группа, [3] – Вагранский, [4] – Лобзинский, [5] – Акташско-Гуринский, [6] – Лопинский, [7] – Ново-Липинский, [8] – Акташ- ский, [9] – Боровской, [10] – Усть-Лобзинский, [11] – Верхногорский, [12] – Шай- танская; 11–16 – интрузивные породы: II – серпентиниты, 12 – габро, широкос- лежки, 13 – диориты, 14 – тонолита-плагиграниты, 15 – гранитоиды, 16 – гран- иты, 17 – группы разрывных нарушений и их номера: [1] – Капровско-Лячинская, [2] – Гарниково-Зигантическая, [3] – Чуркотурско-Лячинская, [4] – Акташско-Гарни- ский, [5] – Романовская; 18 – линия границы погребенной структуры; 19 – Заднековско-Рыбинская глубокая зона проницаемости (осевая зона); 20 – Се- ровско-Заднековский глубокий разлом (осевая зона)

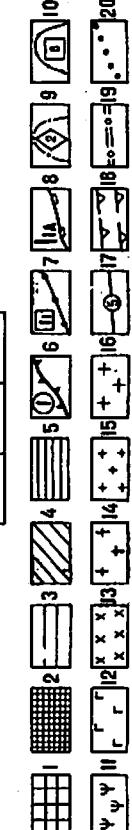
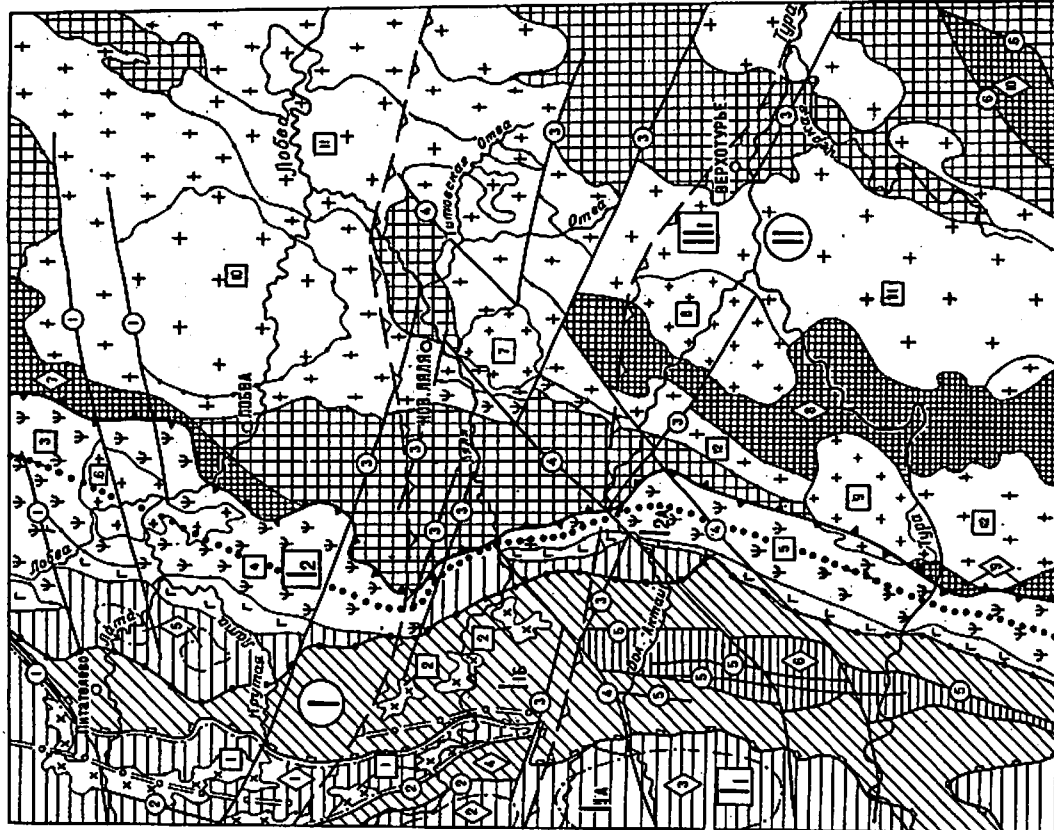


Рис.5. Тектоническая схема района (составил Е.Г.Задоровский, С.А.Зворская)

оси магнитных аномалий, соответствующие серпентинитовым массивам Серовско-Маулянского пояса. В пределах поднятия отмечается широтные простирации локальных магнитных аномалий.

На пересечении описанной структуры с Серовско-Мауляским глубинами разломом наблюдается своеобразный "расход" последнего на серии параллельно сопряженных нарушений, в пределах которого – резкое выклинивание нижне-среднедевонских карбонатных отложений, сокращение мощности полного разреза туринской свиты. Только в пределах структуры установлены разновозрастные гипабиссальные интрузии диорит-шлагограниторитового состава и практически отсутствуют отложения венлокского и лудловского ярусов, представленные фрагментарно существенно терригенно-осадочными породами с фации грантолитовой зоны). В области поднятия более широким развитием пользуются породы гнейсово-амфиболитового комплекса, практически отсутствуют кристаллические сланцы обрамления, обращает внимание широтное простирание толщи амфиболитов в районе г.Новая Ляля – пос.Ниж.Салганово.

Таким образом, поперечная структура, охватывающая северную половину площади, представляется приподнятым блоком, который существовал в качестве поэзитивной структуры с момента заложения и в течение всего развития эрогенического прогиба.

#### ТАГИЛЬСКО-МАГНИТОГОРСКИЙ ПРОГИБ ТАГИЛЬСКИЙ МЕГАСИНКЛЮНОРИЙ

В пределах Тагильского мегасинклюнория, представленного в районе двух структурных подзонами – Центральной (Сосьвинско-Уфалейский синклиниорий) и восточной (восточное крыло мегасинклюнория), установлены вулканогенные и осадочные породы от нижнего-среднего ландовери до среднего девона неизвестально, которые образовались в различные этапы тектono-магматического развития, связанны с определенными структурами и соответствуют двум структурным ярусам: ордовико-раннедевонскому и среднедевонско-раннeturийскому [16].

Ордовико-раннедевонский ярус в пределах листа представлена двумя подъярусами: раннесибирским и позднесибирским-раннедевонским, в среднедевонско-раннeturийской ярус – только

среднедевонским подъярусом.  
**СОСЬВИНСКО-УФАЛЕЙСКИЙ СИНКЛИНОРИЙ**  
и сложен породами раннесибирского, позднесибирского-раннедевонского и среднедевонского подъярусов.

Раннесибирский подъярус обеляет породы, слагающие Лобзянское – Ляля и Нескудметинские и – наль – структуру четвертого порядка, и характеризуется непрерывным (в иной части структуры) накоплением мощных вулканических толщ ландовери, венлага и лудлова в процессе дифференцированных, в целом нисходящих движений. Их интенсивность неизменна и определяется наличием приподнятого относительно стабилизированного поперечного блока. Особенностью процесса вулканической аккумуляции обусловлено образование ряда структур более высокого порядка.

Кедровско-Поздняковская антиклиналь – Клинильная вулканическая язва расположена в северо-западной части плато и прослеживается от р.Ляля на юг до северной границы листа. Контролируется Поздняковско-Рыбинской зоной проинклированности. Центральная часть фиксируется гипабиссальными интрузиями диорит-траппогранитового состава (Поздняковская группа массивов), образующими с вмещающими вулканитами, по мнению ряда исследователей [6, 48], единую вулкано-плутоническую ассоциацию. В магнитном поле отражается сложноустроенной пологогальвой аномалией с ориентировкой изодинам на юго-запад. Залегание слагающих ее пород устанавливается только в южной части (р.Ляля), где наблюдается северо-восточное падение под углом 60–70°.

Гарниковская вулканокупольная антиклиналь расположена южнее пос.Поздняковки, на левобережье р.Ляля. Является сложно построенной вулканической образованиями диаметром около 8 км [23]. Образована экструдально-субвуликаническими склонобразными телами дацит-ливартитового состава и вулканитами цапитового, андезитового и андезито-давальтового составов, залегающими в северо-восточном ее борту с северо-восточным падением под углом 30°. В поле силы тяжести гарниковской структуры соответствует чистый минимум с относительной интенсивностью 3 мГц. Магнитное поле пониженно, обильные знакопеременные аномалии отмечаются вдоль ее северо-восточного борта.

**К а р а у л ь с к а я в ул к а н о к у п о л ь н а я**  
с т р у к т у р а расположена юго-восточнее Тарникской. Виделется пологолитической гравиметрической аномалией с относительной интенсивностью более 3 мГц и размерами 6x17 км. Магнитное поле слабоизмененное с усиливанием интенсивности в центральной зоне. Отмечается полное совпадение пространственного положения и ориентировки локальных магнитных аномалий и изоаномалий. С поверхности развиты лаво-пирокластические и субуличнические фации андезитового и андезито-базальтового составов, физические свойства которых не объясняют описанные выше потенциальные поля.

Позднесилурийско-раннедевонский структурный подьярус представлен отложениями туринской свиты. Инженерная геотектоническая перестройка с преобразованием восходящих движений в этот этап привела к формированию позднегеоморфологических наложенных структур — Краснотурьинско-Пайзинско-Мегасинклиналь, где продолжалось наполнение сменявшихся по составу (субшелочных) и характеру (ареальный тип) продуктов вулканических извержений. Наложенный характер структуры устанавливается по отчетливому смещению ее на восток относительно осевой зоны метасинклиниория [7], пологому ( $10-20^\circ$ ) неострустному налеганию пород туринской свиты на различные образования раннесилурийского структурного подъяруса.

В пределах метасинклиниали выделяется Актай-Талычкая каяя синклиналь, осложненная рядом местных брахиформных структур. Наслаивается воздымание ее щарнира к северу от широты д. Мурзаки, где она имеет в целом симметричное строение с пологим налесием крыльев ( $10-20^\circ$ ). Центральная часть синклиниали выполнена карбонатными осадками среднего девона, которые представляют среднедевонский структурный подьярус, соответствующий новому прогибу на локальных участках, причем неустойчиву, что подтверждается отсутствием в разрезе карбонатных отложений биостратиграфических зон позднего эйфеля (зоны с *Conchidium pseudobasiscincus*) и раннего эмбигита (зоны с *Bogardtina incisoides*).

В южной и центральной части Актай-Талычкая синклиналь имеет сложное строение в связи с интенсивным проявлением меридиональных крутых взбросов и сбросов, вдоль которых проходят

ли значительные перемещения, крупных блоков, обусловленных разрывами ступенчато-блоковых структур с моноклинальным восточным сдвигом пород внутри блоков. Максимальные вертикальные смещения отмечаются в западном борту, где на уровне с образованием ямы туринской свиты выведены известники эйфельского и живетского ярусов, породы интенсивно рассланцованны и имеют крутые восточные склонения. К восточному борту структуры падение пород постепенно выполняется до  $40-20^\circ$  при сохранении моноклинального залегания, рассланцевание отсутствует. Центральной части Актай-Талычкая синклинали соответствует крутый гравитационный минимум (7 мГц) с четкими высокоградиентными контурами, лежащие поле показанное.

Т а л и ц к а я (Устьполюбинская) грабен-синклиналь сложена породами нижней части разреза туринской свиты, имеющими северо-восточное падение под углом  $30-15^\circ$ , ограниченна различными нарушениями типа крутых наливков. Восточная подзона (восточное крыло Тагильского мегасинклинария) сложена породами раннесилурийского структурного подъяруса и представлена Серовско-Карелийской зоной ожиланья, характерной особенностью которой является наличие в ней крутых линейных субвертикальных массивов ультраосновных и основных пород, прокрученных в зоне гту-бинного разлома. Структура практически полностью перекрыта мозаиками и кайнозойскими отложениями, в связи с чем ее структурировано слабо. В целом она рассматривается как присоединенная, до южной границы полеречного блока ограничена взбросами значительной амплитуды (до 1000 м в районе д. Белая Речка), где за уровень с эйфельскими известниками выведены вулканиты нижнезападного пландовера [7] с крутым моноклинальным падением город на северо-северо-восток (по замерам в среднем течении р. Полуденный Актай).

В северной части подзоны предполагается Лосинская Группа вулканокуполовых структур, представляющая собой сложенные породами кислого состава. Представлена цепочкой концентрических вулканитов диаметром от 0,5 до 2,0 км, выделенных в зонах морфоструктур в зоне гравитационного минимума [40] в зоне гравитационного минимума с относительной интенсивностью более 3 мГц. Результат ленинградского аэрофотоснимка [40] в зоне гравитационного минимума с относительной интенсивностью более 3 мГц.

концу позднего палеозоя, частично были унаследованы в мезозойско-хайнозойское время. Тектонические движения в этот период были обусловлены сводово-блоковыми поднятиями и опусканиями восточного склона Урала и наиболее активно проявились вдоль зон глубинного разлома. Это нашло отражение в обновлении части разломов при занесении эрозионно-структурных депрессий. Прерийский район в посреднем мезозое и палеогене обусловил морские трансгресии, а смена отрицательных на слабо положительные движения в позднем палеогене — регressive моря и оживление азимоном деятельности. Позднеолигоценовые поднятия привели к активизации денудационных процессов и сыграли существенную роль в почти полном уничтожении морских остатков в западной и частично в центральной части территории.

Положительный характер движений в этот период предполагается вдоль западной границы Алтайско-Галльского участка депрессии по палеозойским разломам, окаймляющим центральную часть Актаиско-Туринского серпентинитового массива, что подтверждается буровыми и электроразведочными работами [71], наличием денудационно-тектонических уступов в рельфе фундамента и частично находит отражение в современном рельфе. Мощенное время характеризуется относительным покоям. Основные неотектонические движения проявлялись в плющен-четвертичное время, вызвали перестройку речной сети, принятой современные очертания. Наиболее выраженным структурами, в формировании которых определенную роль сыграли новейшие тектонические движения — Алтайско-Галльская и Шайтанско-Галльская впадины, Алтайско-Галльское поднятие и др.

Актаиско-Галльская впадина открыта в современном рельфе, охватывает почти весь Алтайско-Галльский участок депрессии. Наибольшее прогибание дна впадины наблюдается на левобережье рр. Туры и Лены. Амплитуда относительного прогибания ложа впадины составляет 20-25 м [40, 56]. Актаиско-Гуринское поднятие размещается на месте центральной части одноименного серпентинитового массива, новейшие поднятия которого фиксируются различиями глубоких плющен-четвертичных логов, конфигурацией и наложением неравновесных участков современной речной сети, окаймляющей зону поднятия и т.д.

#### ВОСТОЧНО-УРАЛЬСКОЕ ПОДНИЯНИЕ

##### ВЕРХОУРСКО-ВЕРХИСЕКСКИЕ МЕТАМОРФИНОРИИ

Сложнодислоцированные метаморфические породы, широко развитые в восточной половине площади, относятся к Восточно-Уральскому поднятию, участвуют в строении Верхнотуринско-Горного кряжа и условно относятся к Рифейско-Мышильско-Лесозайскому структурному субблоку. К сводовой части структуры приурочен крутий Верхнотуринский гранитный массив, залегающий согласно с имеющимися породами. Западное крыло отдельно определяется выраженным крутым (около 70°) западным падением слагающих его пород, с постепенным выпадающим до 20-30° в присводовую части. В восточном крыле падения пород восточные, относительно крутые (40-50°), что в целом определяет некоторую асимметрию структуры. В районе г. Новая Ляля и пос. Ниж. Салтаново толща амфиболитов имеет выраженное широтное простирание с крутым (70-80°) преимущественно северным падением. Причины дислокантной позиции толщи амфиболитов относительно общего пространства структур не ясны. В пределах западного крыла выделяется ряд структур высокого порядка.

Емехская моноклиналь расположена вблизи южной границы площади. Сложенена кристаллосланцевыми раннепалеозойского структурного яруса в западной периферии Верхнотуринского антиклиниория именитым крутые (70°) падение на запад. Аналогичное строение имеет Липинская моноклиналь в северной части площади.

Косолемская синклиналь осложняет западную присводовую часть Верхнотуринского антиклиниория. Выполнена кристаллическими сланцами нижнего палеозоя, имеющими выраженное пологое (20-30°) падение на запад. На южном замыкании структуры кристаллические сланцы перекрывают плагигнейинско-рифейского структурного яруса с резким угловым несогласием [35].

Ромашинская грабен-синклиналь осложняет восточное крыло Верхнотуринского антиклиниория, опираясь на геологическим наблюдением на сменной с ней площасти [35]. Выполнена кристаллическими сланцами нижнего палеозоя, имеющими западное падение под углом 40-60°. Перевернутые выше структуры находят отражение в магнитном поле.

Тектонические структуры фундамента района, сформированные в

концу позднего палеозоя, частично были унаследованы в мезозойско-хайнозойское время. Тектонические движения в этот период

были обусловлены сводово-блоковыми поднятиями и опусканиями восточного склона Урала и наиболее активно проявились вдоль зон глубинного разлома. Это нашло отражение в обновлении части разломов при занесении эрозионно-структурных депрессий. Прерийский район в посреднем мезозое и палеогене обусловил морские трансгресии, а смена отрицательных на слабо положительные движения в позднем палеогене — регressive моря и оживление азимономом деятельности. Позднеолигоценовые поднятия привели к активизации денудационных процессов и сыграли существенную роль в почти полном уничтожении морских остатков в западной и частично в центральной части территории.

Положительный характер движений в этот период предполагается вдоль западной границы Алтайско-Галльского участка депрессии по палеозойским разломам, окаймляющим центральную часть Актаиско-Туринского серпентинитового массива, что подтверждается буровыми и электроразведочными работами [71], наличием денудационно-тектонических уступов в рельфе фундамента и частично находит отражение в современном рельфе. Мощенное время характеризуется относительным покоям. Основные неотектонические движения проявлялись в плющен-четвертичное время, вызвали перестройку речной сети, принятой современные очертания. Наиболее выраженным структурами, в формировании которых определенную роль сыграли новейшие тектонические движения — Алтайско-Галльская и Шайтанско-Галльская впадины, Алтайско-Галльское поднятие и др.

Актаиско-Галльская впадина открыта в современном рельфе, охватывает почти весь Алтайско-Галльский участок депрессии. Наибольшее прогибание дна впадины наблюдается на левобережье рр. Туры и Лены. Амплитуда относительного прогибания ложа впадины составляет 20-25 м [40, 56]. Актаиско-Гуринское поднятие размещается на месте центральной части одноименного серпентинитового массива, новейшие поднятия которого фиксируются различиями глубоких плющен-четвертичных логов, конфигурацией и наложением неравновесных участков современной речной сети, окаймляющей зону поднятия и т.д.

ям и смещениям хода изолиний.

Кे д р о п с к о - Л я м п и н с к и е нарушения зосточно-западного направления и Актауские - северо-западного являются также сбросо-сдвигами. Палеозойские разломы неоднократно подновились особенно в плиоцен-четвертичное время. При изучении Туринско-Галицкой зо-лого-шатиновой россыпи установлено, что к одному из разломов приурочена долина р. Туры [56], пересекающая россыпь в широт -ном направлении. Оно выклинивается поднятием (до 20-30 м) южной половины россыпи, в связи с чем часть древнего аллювия по р. Та-зине засыпана.

#### РАЗРЫВНЫЕ НАРУШЕНИЯ

К нарушениям первого порядка относятся С е р о в ск о - М а у к с к и й г л у б о к и й разлом, во время за-ложения которого (поздний ордовик-ранний силур), происходил подъем южных масс ультраосновных пород, а дальнейшее разви-тие сопровождалось внедрением интрузий габбро в виде линейных массивов вдоль западной его части, что отчетливо выражается в гравиметрическом поле серии положительных аномалий интенсив-ностью до 5 мГл.

П о з д н я к о н с к о - Р и с и н с к и я г л у б и-ная зона проинциализации параллельна Серов-ско-Макушскому глубинному разлому и контролируется с поверхнос-ти гипабиссельными интрузиями диорит-плагиогранитного состава (Поречинская группа массивов), на глубине - массивами основ-ного и, вероятно, ультраосновного состава, что подтверждает - ся наличием ксенолитов, проксенитов в диоритах западнее пос. Поздняковки [49], выходами габбро (Рыбинский массив) у се -верной границы площади, серпентинитов Верхне-Катасымского массива, а далее к северу по простирации зоны [6] и наличием крупных гравитационных максимумов.

Субмеридиональная система разрывных нарушений развита толь-ко в западной структурно-фацальной зоне. Обычно контролирует границы структур третьего и более высоких порядков и в по-ле сильнейшести характеризуется градиентными зонами. Разрыв-ные нарушения имеют характер крутих взбросов и надвигов (Ак-тай ско - Т а л и ц к и е и П о з д н я к о в с к и е) со значительными амплитудами вертикальных смещений (500-1250 м). Актауско-Галицкие нарушения часто контролируются малыми ин-тузиями и дайками диабазов, габбро-диабазов, время заложения - средний-поздний девон. Неоднократно подновились и, очевидно, сыграли определяющую роль в возникновении на месте девонской синеклизы мезозойской депрессии.

М у р з и н с к о - Л а т и н с к и е нарушения ступенчатого взбросо-сдвигового типа (левые сдвиги) западно-го-северо-западного направления проявились в зоне южной гра-ници приподнятой поперечной структуры, амплитуды горизонталь-ных смещений достигают 1-2 км, вертикальных - первые сотни метров. Уверенно выделаются по физическим полям, по нарушени-

ям и смещениям хода изолиний.

Ке д р о п с к о - Л я м п и н с к и е нарушения зосточно-западного направления и Актауские - северо-западного являются также сбросо-сдвигами. Палеозойские разломы неоднократно подновились особенно в плиоцен-четвертичное время. При изучении Туринско-Галицкой зо-лого-шатиновой россыпи установлено, что к одному из разломов приурочена долина р. Туры [56], пересекающая россыпь в широт -ном направлении. Оно выклинивается поднятием (до 20-30 м) южной половины россыпи, в связи с чем часть древнего аллювия по р. Та-зине засыпана.

#### ГЕОМОРФОЛОГИЯ

Территория листа располагается в пределах четырех геоморфо-логических районов - остаточных гор и приподнятого отрепари-зованного пенеплена восточного склона Среднего Урала, конти-нентально-морской щокольной и аккумулятивной равнины Зауралья [38].

Р а и о н о с т а т о ч н ы х г о р занимает западную часть площади. Гульбей увалисто-холмистый. Слонны холмов и увалов пологие заlesenные, покрыты элювиально-дельвикальными отло-жениями. Абсолютные отметки 220-260 м с относительными превы-шениями 50-100 м. Рельеф, преимущественно денудационный, наход-ится в определенной связи с вещественным составом палеозойс-ких пород, выходящих на поверхность, ориентированной геологичес-ких структур и пропильными трещинами тектоники [40]. Возвы -щенным участкам рельефа, как правило, соответствуют площади развития вулканогенных образований туринской свиты на юге вы-соких и заболоченных площадей развития более древних вул-каногенных образований. Рельеф расчленен глубоко врезанными зернистыми долинами с крутыми, иногда стекающими склонами. Основ-ные черты его сформированы в мезозое, окончательно - в связи с заложением и формированием современной гидросети.

Р а и о н п р и п о л о д н я т о г о отрепари-заиного пленения примыкает с востока к району

остаточных гор и охватывает центральную часть площади. Граница района проходит по денудационно-tektonическому уступу, который участками подковлен в результате неогеотектонических движений, в связи с тем иногда наблюдалась на стереомодели. Район характеризуется следом волнистой денудационной поверхностью с абсолютными отметками 130–170 м, обусловленной длинейным процессами пенепленизации, сопровождавшимися интенсивным химическим выветриванием в мезозое. Существенно выровнена морской абсолютный в связи с позднемеловой и палеогеновой трансгрессиями. После отступления моря только на отдельных участках сохранились морские отложения, и на дневную поверхность выведены реликты мезозойской поверхности выравнивания (отпресарированной). В шлиоцен-четвертичное время часть отпресарированного пенеплена испытала поднятие (приподнятый).

В пределах зоны пенеплена находится северная часть Иделльско-Гатильской мезозойской эрозионно-структурной депрессии (Актайско-Гатильский участок). Ширина ее 6–12 км, борта, как правило, выражены слабо. К депрессии в южной ее части приурочена долина современной реки Гатиль. Днища депрессии полого поникаются на север: отметки днища в районе р. Туры 130–140 м, р. Полуденный Актай 100–120 м, р. Бол. Актай 80–90 м, р. Ляй 70 м и менее. Наличие яростного аллювия, выполняющего днище депрессии, позволяет предполагать существенную роль эрозионных процессов при ее формировании. Являясь отрицательной формой рельефа в течение мезозоя и кайнозоя, депрессия была аккумулятором отложений на протяжении всего этого времени.

Отличительной особенностью зоны пенеплена является сохранность в ее пределах (в виде реликтов) древних поверхностей выравнивания, ответвляющих различным климатическим и тектоно-климатическим этапам развития района: раннемезозойской аккумулятивной поверхности, для которой маркирующим является делювально-протравильные осадки синекдронного и плинеборского ярусов нижней триасы; позднемезозойской денудационной и аккумулятивной поверхности, охватывающей площади развития кор выветривания, рекректических морских меловых осадками на приподнятых участках древнего рельефа и озерно-альлювиальных отложений лангурской и мысовской свит; олигоценовой денудационной и аккумулятивной поверхности, соответствующей плоским распространениям кор выветривания и сопряженных с ними аллювиальных осадков наурумской свиты.

На верхнем олигоцена: миоценовой, существенно аккумулятивной поверхности, сложенной проливальными и аллювиально-озерными отложениями каракольской серии и шлиоцен-четвертичной аккумулятивной (озерной) поверхности.

Окончательное формирование рельефа этой зоны связано с заложением и развитием речной сети в шлиоцен-четвертичное время. Восточная часть площади относится к району конгигиентальной зоны с почти плоской поверхностью, большей частью заложенной, со слабым наклоном в восточном и северо-восточном направлениях. Абсолютные отметки 120–140 м. Речная часть разрезана, реки меандрируют, в береговых склонах обнажаются горы домезозойского фундамента (амфиболиты, кристаллические сланцы, интрузивные образования). На всей площади поклонной равнины развиты морские верхнемеловые, палеогеновые и неогеновые отложения (пески, песчаники, глины, опоки, диатомиты и пр.) мощностью 10–20 м и до 40 м у восточной границы района. Наряду с морской абразией и аккумуляцией на формирование рельефа равнины, как частично и пенеплена, оказала влияние озерная четвертичная аккумуляция.

В пределах континентально-морской поклонной равнины расположается северная часть Невьянско-Кантуринской мезозойской эрозионно-структурной депрессии (Шайтанско-Галовский участок), заложенная северном рельефе депрессия не выражена, кроме ее западного борта на водоразделе рр. Туры и Большого Акта. Ширина депрессии 5–10 км. К депрессии приурочена долина современных рек Гартанка, Емеха и Мал. Акта. Днище депрессии плоское со слабым наклоном на север, отметки днища у р. Туры 120–140 м, на водоразделе рр. Большого Акта и Ляй – 70–80 м. Преский аллювий смыкается только в углублениях плотника (левобережье р. Туры). В связи с заполнением депрессии осадками последующих морских трангрессий и озерного бассейна она является погребенной.

Северо-восточная часть территории относится к району Узонтинентальной низменности – морской аккумулятивной зоне винновой равнины с плоской заложенной поверхностью. Реки меандрируют, в береговых склонах практически отсутствует обнажения пород дюарского бутчамента, мощность осадков мезозоя и кайнозоя достигает 60–80 м.

В формировании рельефа континентально-морских равнин грав-

ную роль сыграло длительное, почти непрерывное, накопление морских и речных металлов, неметаллических полезных ископаемых, строительных материалов. Месторождения не эксплуатируются, кроме золото-платиновой россыпи бассейна р.Тура и Верхотурского месторождения кирпичных глин.

Рельеф обусловлен сочетанием морских и озерных аккумулятивных поверхностей палеогенового и плиоцен-четвертичного возраста и поверхности эрозии сложного генезиса.

Плиоцен-четвертичная поверхность эрозии, формируемая современным обликом равнины территории, в отличие от более древних имеет сложное строение и смешанный денудационно-аккумулятивный генезис. В ее состав входит речные долины и их склоны. Морфологические особенности долин определяются положением их в том или ином геоморфологическом районе. В пределах остаточных гор и отрепахированного пeneшлена речные долины нешироккие, асимметричные, слабо террасированы, часто с нарушенным профилем равновесия (перекаты, уступы). Глубина эрозионного вреза 30-40 м. Реже долины яшикообразной формы с заболоченными дном. В пределах равнины речная сеть разрежена, ширина долин достигает 2-2,5 км (рр.Ляля, Лобва), врез неглубокий, реки меандрируют, склоны террасированы. Наибольшее развитие имеет вторая (камышловская) аэрозионно-аккумулятивная терраса, хорошо выраженная в долине крупных рек Дцы и Лобви, где она имеет высоту около 6-8 м.

В юго-западной части района существенную роль в формировании рельефа играют карстовые формы. Исходя из возраста заполнения их осадков, выделяется мезозойский карст (заполнение форм, не выражено в современном рельфе), олигоценовый и четвертичный карст. Глубина карстовых ям один до 5 м, редко достигает 15 м. Редкие тектонические уступы совпадают, как правило, с границами геоморфологических районов.

## ПОЛЕЗНЫЕ ИСКОПАЕМЫЕ

На плохими листа известно 79 месторождений и 26 рудопроявлений твердых горючих ископаемых, черных, цветных, благород-

ных и редких металлов, неметаллических полезных ископаемых, строительных материалов. Месторождения не эксплуатируются, кроме золото-платиновой россыпи бассейна р.Тура и Верхотурского месторождения кирпичных глин.

### ТВЕРДЫЕ ГОРЮЧИЕ ИСКОПАЕМЫЕ

торф

Известно 31 промышленное месторождение, из них 12 крупных (Лопинское, Косолапинское I и II, Отинское, Мало-Шатинское и др.), 13 средних (Чистое, Краснощорское, Пятагорьевское и др.) и 6 малых, и 4 непромышленных месторождения. Площадь крупных залежей составляет 1040-14653 га при средней мощности 1,7-4,7 м и балансовых запасах на 1/1-1982 г. 5269-7774 тыс.м<sup>3</sup>. Тип торфа обычно смешанный (верховой, низовой, переходный), степень разложения в крупных залежах 33-42%, зольность 4,6-5,9%. Залежи торф обычно на озерных осадках четвертичного возраста. Общие балансовые запасы торфа в районе около 200 млн.м<sup>3</sup>. Месторождения не эксплуатируются.

### МЕТАЛЛИЧЕСКИЕ ИСКОПАЕМЫЕ ЧЕРНЫЕ МЕТАЛЛЫ

ЖЕЛЕЗО

Известны проявления и пункты минерализации скарново-магнетитовой и хромисто-никелитовой континен-

тальной формаций.

Скарново-магнититовое проявление (I-I, 9) расположено в 1,5 км к западу-северо-западу от пос.Пятагорово, где в отвалах затопленного карьера найдены глыбы эпидот-гранатовых скарнов и массивных магнезиальных магнетитовых руд. Время открытия и разработка этих руд неизвестно. Содержание в руде Fe<sub>2</sub>O<sub>3</sub> и FeO 25-62%, серы до 0,02-0,03%. Проявление сопровождается

локальной магнитной аномалией интенсивностью 4000 гамм. Аналогичного типа проявление Толокянка (П-1,10), расположено в 6 км южнее пос. Малая Лата, и минерализация у Поселка №2 (П-1,10). Промышленных залежей магнетитовых руд на глубине до 200–300 м по геофизическим данным не обнаруживается [32].

Титаномагнетитовая Формация Известны 3 проявления, связанные с рудными пироксенитами, залегающими вдоль западного контакта Алтайско-Туринского серпентинитового массива Савиновское (Ш-2,6), Среднесавиновское (Ш-2,7) и Ижносавиновское (Ш-2,8), расположенные юго-западнее пос. Савиново. Выходы на поверхность рудных пироксенитов сопровождаются магнитной аномалией интенсивностью свыше 5000 гамм. По результатам интерпретации пироксениты залегают в виде пластов мощностью около 50 м с относительно пологим ( $30^{\circ}$ ) падением на запад [71]. Руды вкрапленные, содержание  $\text{Fe}_{2}\text{O}_3$  и Feо 19,6%,  $\text{TiO}_2$  1,4%, ванадия 0,03–0,05%. По масштабу оруденения и ввиду сложных геологических условий залегания рудные тела промышленного значения не имеют.

Хромисто-литомонитовая Формация Известно 2 проявление Мухининское (П-1,1) и Малая Лата (П-1,1), связанные с осадками Мансовской свиты ( $K_1$ -2шв), имеющими ограниченное распространение в западном борту Алтайско-Галкинского участка эрозионно-структурной диффузии. Проявления представлены горизонтом бобово-конгломератовидных руд мощностью 0,7–1,0 м. На участке Малая Лата рудные горизонты вскрыты скважинами на глубине 40 м. Состав руд, %:  $\text{Fe}_{2}\text{O}_3$  71,53, Feо 0,71, Cr<sub>2</sub>O<sub>3</sub> 5,84, TiO<sub>2</sub> 0,54, P<sub>2</sub>O<sub>5</sub> 0,18, V<sub>2</sub>O<sub>5</sub> 0,10, Co 0,024, Ni 0,07. Перспективы проявления оцениваются отрицательно ввиду ограниченного распространения руд и технологической сложности извлечения железа из-за высокого содержания хрома.

#### ХРОМ

Хромитовая Формация Позняковская, известная вкрапленность хромита (до 3%) наблюдалась в апогиросублитовых и аподунитовых серпентинитах Алтайско-Туринского массива в нескольких пунктах, в том числе юго-западнее д. Талана (ГУ-2,8) и северо-восточнее д. Карелина (ГУ-2,10). Практического значения оруденение не имеет.

#### ЦВЕТНЫЕ МЕТАЛИ

Медь

Известно 1 рудодрязывание (Лялинский рудник), 2 пункта минерализации и ряд перспективных комплексных геохимических анализаций (в том числе Латинская), которые не заверены поисковыми работами и на геологической карте не показаны.

Лялинский рудник (П-1,12) расположен на левом берегу р. Ля-Ли в 5 км юго-западнее пос. Караул. Еще в 1725–1727 гг. шахтой и штольнями разрабатывались "мыль медного колчедана" и кварцевые жилы с пиритом и самородной медью. Проявление приурочено к зоне гидротермальноизмененных пиритизированных пород нижне-го-среднего лландовери с частыми дайками кварцевых плутонитовых порфиритов, мелкими телами кварцевых диоритов и жильями перит-халькопирит-кварцевого состава мощностью 10–15 см. Концентрация сульфидов наблюдается в осветленных кварц-серпентитовых породах и в кварцевых жилах. По результатам спектральных анализов в окварцированных ландарито-дацитовых порфирах концентрации меди и серебра часто достигает 1% и более, что при относительном высоких содержаниях молибдена (0,05–0,07%), следах вольфрама, флюса и высокую сближают геохимические спектры описанных пород с месторождениями меднопорфирового типа. Уверенно определять генетическую природу Лялинского оруденения не представляется возможным, но следует подчеркнуть наличие признаков как медноколчеданного, так и меднопорфирового типов. Для окончательной оценки необходимо проведение комплексных поисковых работ.

На Позняковском участке (П-1,9), расположенным юго-восточнее пос. Позняковка, медная окраинность пирита и халькопирита отмечена в гидротермальноизмененных вулканитах (до вторичных кварцитов) нижнего–среднего ландовери. Минерализация на Котляковском участке (П-1,8) представлена халькопиритом и медной залежью в трещиноватых серпентинитах Лобвинского массива, превращенных участкам в тальк-карбонатные породы. В плутонитовых порфирах, секущих серпентиниты, также иногда наблюдаются шелки самородной меди.

ленное.

На Талыкском проявлении, расположеннном в 1 км севернее пос. Михайловского, аналогичная по составу и геологической позиции продуктивная толща имеет невыдержанную мощность, огра-ниченное распространение. Содержание в бокситах, %:  $\text{Al}_2\text{O}_3$  51,34,  $\text{SiO}_2$  12,38,  $\text{Fe}_2\text{O}_3$  20,87. Проявление непреклонное.

В Акташ-Галицком месторождении, расположенным в 6 км северо-западнее д. Карелина, почвой и кровлей бокситонесущего горизонта является известняки эйфельского яруса. Протяженность горизонта, имеющего восточное падение (угол 18-25°), по простиранию 3,9 км, по падению 150-300 м, мощность 0,2-15,8 м. Горизонт сложен бокситами, иногда прититализированными аллитами.

Среднее содержание в бокситах, %:  $\text{Al}_2\text{O}_3$  48,77,  $\text{SiO}_2$  11,30,  $\text{Fe}_2\text{O}_3$  11,54,  $\text{S}$  0,3; среднее содержание в прититализированных бокситах, %:  $\text{Al}_2\text{O}_3$  55,27,  $\text{SiO}_2$  8,39,  $\text{Fe}_2\text{O}_3$  16,02,  $\text{S}$  2,92; среднее содержание в аллита, %:  $\text{Al}_2\text{O}_3$  39,84,  $\text{SiO}_2$  30,02,  $\text{Fe}_2\text{O}_3$  14,13,  $\text{S}$  0,05. Ориентировочные запасы бокситов 5,0 млн.т, аллита 15,2 млн.т. На обнажениях ограниченного масштаба оруденения, невысокого качества бокситов, склонности морфологии залежи, месторождение относится к непромышленным.

На проявлении № 83, занимающем аналогичную геологическую позицию, мощность рудного горизонта 10,4 м, протяженность до 2 км, по простиранию 400 м. Качество бокситов высокое - золе:  $\text{Al}_2\text{O}_3$  57,19-58,73%,  $\text{SiO}_2$  6,77-8,06%,  $\text{Fe}_2\text{O}_3$  4,62-6,91%,  $\text{S}$  - 0,02-0,07%. Ориентировочные запасы 2,2 млн.т.

В качестве низкоглиноземистого сырья могут быть использованы нижнепрарские делювиально-проточильные глины, развитые в южной части Акташ-Галицкого участка мезозойской депрессии и приглубленные к древним карстовым полостям в карбонатных отложениях. По химическому составу глины отвечают аллитам и смешанным с ориентировочными запасами 15 млн.т.

#### НИКЕЛЬ

С и л и к а т н о - н и к е л е в а я ф о р м а ц и я. Известно 4 проявления - № I (Ш-2,4) в 5 км восточнее д. Полуденная, № 5 Галицкое (Ш-2,5) около 6 км западнее д. Талыя, № 10 (ГУ-2,1) в 3 км западнее д. Боровая и № 13 (ГУ-2,3) в 4,5 км северо-западнее д. Золотино. Проявления связаны с континентальными глинями мезозойской коры выветривания серпентинитов Акташ-Туринского массива.

Наиболее крупное Галицкое проявление площадью 15 км<sup>2</sup>. Рудный горизонт представляет собой пластообразное тело, залегающее горизонтально на глубине от 2,9 до 12 м, средней мощностью 4,9 м. Среднее содержание Ni и Co в рудном горизонте соответственно 0,86 и 0,065%. Содержание условного никеля по рудному горизонту I, 25%. Соотношение мощностей вскрыши и прорывного горизонта примерно 1:1. Противозные запасы никеля и кобальта в сухой руде (хвосты рудоффицент 50%) составляют соответственно 400 и 30 тыс.т. Проявления перспективные, необходимо проведение поисково-разведочных работ.

#### Алюминий

Б о к с и т о в а я м о р с к а я ф о р м а ц и я. Известно 2 месторождения и 2 проявления бокситов, которые связаны со среднедевонскими отложениями и занимают различное стратиграфическое положение. Винновское месторождение (ГУ-I,10) и Талицкое проявление (ГУ-I,14) приурочены к границе эйфельского и живетских ярусов, Акташ-Галицкое месторождение (ГУ-I,12) и проявление № 83 (ГУ-I,11) залегают среди известняков эйфельского яруса.

На Винновском месторождении, расположеннном в 6 км юго-восточнее пос. Кантановского, бокситонесущий горизонт средней мощностью 20 м сложен глинистыми сланцами с прослоями известняков включает четыре залежи бокситов, из которых самая крупная (западная) имеет длину 230 м, мощность 4-5 м. Содержание в бокситах, %:  $\text{Al}_2\text{O}_3$  37,77-58,37,  $\text{SiO}_2$  5,5-15,48,  $\text{Fe}_2\text{O}_3$  II, 56-28,75. Запасы бокситов оцениваются в 25 тыс.т. Месторождение непромышленное.

#### РЕДКИЕ МЕТАЛЛЫ МОЛИБДЕН

Минерализация (ГУ-3,4) установлена на правом берегу р. Туры в 2 км выше слияния рр. Туры и Акташ. Экрапленность молибденита приурочена к зоне контакта пегматитовой жилы с биотитовым гранитами верхнисетского комплекса. Мощность жилы 3 м. Мощность

0,001-0,02%, но 0,01%, у менее 0,001%. Для оценки перспективы в зоне экзоконтакта массива необходимо проведение дополнительных работ.

**Золото и платина в россыпи связана с аллювимальными отложениями современных и древних речных долин. Известно 38 россыпей, из которых наиболее крупными являются россыпь рр. Туры (Ш-3,3), Бол.Талын (ГУ-1,8), Полуденно-Актая (Ш-1,9), Туринско-Талынская частично погребенная крупная россыпь (Ш-1,10), состоящая из серии металлоносных горы-зонтов различного стратиграфического уровня.**

Практически все крупные россыпи района золото-платиновые. По морфологическим признакам выделяются русловые, долинные, террасовые. Для всех типов россыпей характерно неравномерное распределение металла.

Наиболее крупная по размерам долинная россыпь р.Туры в насторожнее разрабатывается драгой и разведана почти до г. Верхнегородское. Туринско-Талынская золото-платиновая россыпь расположена в южной части Актая-Талынского участка мезозойской эрозионно-структурной депрессии и имеет пять металлоносных горизонтов: нижнемезозойский (делювиально-проливные отложения) преский (лангурская свита), верхнемезозойский (наурузумская свита), миоценовый (каракольская серия) и плиоцен-четвертичный (комплекс надпойменных террас). Туринско-Талынская россыпь является одной из крупных на Среднем Урале.

## БЛАГОРОДНЫЕ МЕТАЛЛЫ ЗОЛОТО

### НЕМЕТАЛЛИЧЕСКИЕ ИСКОПАЕМЫЕ МИНЕРАЛЬНЫЕ УДОБРЕНИЯ

#### Фосфорит

Проявление фосфоритов (Ш-4,5) среди пещаников кварц-глауконитового состава верхнего мела было установлено на глубине 38,0-38,2 м в 10 км северо-восточнее г.Верхнегородье. Практического значения не имеет.

Кая вкрашенность молибденита наблюдается в зоне шириной 0,3 м как в пегматитах, так и в гранитах. Содержание молибдена по данным погрудного опробования 0,32%. Природы минерализации неясна, специальных работ по ее оценке не проводилось.

## БЛАГОРОДНЫЕ МЕТАЛЛЫ ЗОЛОТО

**Золото-кварцевая и золото-сулфидно-кварцевая формация. Известно 1 месторождение, 4 проявления и 1 пункт минерализации. Гравий-гнейсовых пород нижнего-среднего ландшовери с позднесибирской интрузией плагиогранит-плагиогранито-диоритового состава Поздняковской группы. Разработано шахтой на золото и киноварь в конце XIX в., отработано шахтой до глубины 25-30 м, заброшено из-за большого притока воды. Отрабатывалась кварцевая жила мощностью 0,7 м с крутым падением, содержащая вкрашенность золота, серебра, киновари, галенита, халькопирита, халькоцина, ковеллина, пирита, сфалерита, перуссита, блекой руды. В районе месторождения позднее установлено обуздание в минерализованных породах и в кварцевых жилах мощностью 0,1-3,0 м, протяженностью 60-450 м. Отсутствие жил с промышленной концентрацией золота и крайне неравномерное его распределение гравийной причиной прекращения поисковых работ, хотя перспективы новых рудопроявлений в районе Гравинского месторождения не могут считаться выясненными.**

Проявления Глубокореческое (ГУ-1,13), Бол.Талынское (ГУ-1,15), Мал.Пектын (ГУ-1,16) и Токовое (ГУ-1,17) расположены в юго-западной части листа и связаны с кварцевыми жилами, которые развертывались до 1917 г. Пророчены к зонам рассланцевания вулканогенных пород. Других следений не сохранилось. Минерализация в верховых р.Малый Актая (ГУ-2,9) связана с березитизированными породами и березитами в ослабленной зоне экзоконтакта Боровского гранитного массива с кварцевыми диоритами, кристаллическими сланцами и серпентинитами. Породы перекрыты осадками мезозоя и кайнозоя мощностью 20-22 м. По данным спектральных анализов содержание Au не менее 10 г/т, As

## КЕРАМИЧЕСКОЕ СЫРЬЕ КАОЛИН

Известны 4 проявления первичных каолинов, связанные с корой выветривания кильных гранит-аллитов. Они разведены в 1939 г. Налимовское проявление (ГУ-2,5) - пластообразная залежь, мощность 4,5 м, шириной 8 м, длиной 2,5 км, авторские запасы 90 тыс.м<sup>3</sup>. Шевелевское проявление (ГУ-2,2) - пластообразная залежь, мощностью 2,5 м, шириной 10 м, длиной 2 км, авторские запасы 50 тыс.м<sup>3</sup>. Путимцевское проявление (ГУ-3,1) имеет параметры одинаковые к параметрам первых двух проявлений, авторские запасы 50 тыс.м<sup>3</sup>. Нанолинское (ГУ-2,6) проявление промышленной ценности не имеет. Каолин низкого качества, могут быть использованы для производства отечественного шамотного кирпича. Запасы могут быть увеличены за счет прослеживания залежей по простиранию (на всходах).

## АБРАЗИВНЫЕ МАТЕРИАЛЫ ТРЕПЕЦ

Известно 2 проявления. Разведывались в 1931-1932 гг., залегают на опоках Йробитской свиты. Александровское проявление (Ш-2,1) - пластообразная залежь, средняя мощность 5,2 м, запасы вскрытия 4,3 м. Химический состав, %: SiO<sub>2</sub> 70, 94, Al<sub>2</sub>O<sub>3</sub> 9, 83, Fe<sub>2</sub>O<sub>3</sub> 4, 36, CaO 1, 21, MgO 1, 07, п.п. 10, 31. Авторские запасы 9600 тыс.м<sup>3</sup>. Буреломное проявление (П-3,8) - пластообразная залежь, средняя мощность 3,3 м, мощность вскрыши от 2,5 до 11,2 м. Химический состав, %: SiO<sub>2</sub> 75, 07, Al<sub>2</sub>O<sub>3</sub> 7, 12, Fe<sub>2</sub>O<sub>3</sub> 9, 95, CaO 1, 77, п.п. 9, 83. Авторские запасы 2277 тыс.м<sup>3</sup>.

## ПРОЧИЕ НЕМЕТАЛЛИЧЕСКИЕ ИСКОПАЕМЫЕ

### СПЛОДА

Мусковитовая формация. Верхотурское проявление (ГУ-4,2) находится в 9,5 км к юго-востоку от г. Верхотурье, связано с пегматитовой жилой мощностью 2 м, центральная часть которой сложена ортофенитом, плагиогнейсом, кварцем и кирпича марки 100. Балансовые запасы на 1/1 1980 г. по категориям А+В+С<sub>1</sub> 90 тыс.м<sup>3</sup>.

Мусковитом. Размеры кристаллов "столы 2х3 и 3х4 см, качество сырья низкое, промышленного значения проявление не имеет.

## СТРОИТЕЛЬНЫЕ И ОГНЕУПОРНЫЕ МАТЕРИАЛЫ

### КАРБОНАТНЫЕ ПОРОДЫ ИЗВЕСТИКИ

Ключевское месторождение (П-1,8), расположено в узбее пос. Мал. Дата, имеет промышленное значение. Разведывалось в 1937 г. Кальцитняк брахитовидные светло-серого цвета с розоватым оттенком. Химический состав, %: CaO 54, 9, MgO 0, 26-1, 18, MnO 0, 10, R<sub>2</sub>O<sub>3</sub> 0, 21-2, 59, нерастворимый осадок 1, 37-4, 66, P 0, 01, Al<sub>2</sub>O<sub>3</sub> 0, 05, п.п. 42, 6. Запасы на 1/1 1961 г. 8840 тыс.т. Месторождение является основной сырьевой базой для Новолининского района по объему известняков на известь и производству известковой муки для тулобренни. Эксплуатировалось кустарно, в настолько время законсервировано.

### ГЛИНИСТЫЕ ПОРОДЫ ГЛИНЫ КИРПИЧНЫЕ

Известно 2 промышленных месторождения. Ново-Лытнинское месторождение (П-3,7) расположено в северо-восточной части г. Ново-Лытни. Разведено в 1961 г.; связано с отложениями четвертичного возраста II надпойменной террасы р. Лытни. Глины образуют пластообразную залежь средней мощностью 2,5 м, вскрыша 0,1 м. Глины среднепластичные с высокой чувствительностью к сушке. Запасы на 1/1 1970 г. по категориям А+В+С<sub>1</sub> составляют 510 тыс.м<sup>3</sup>. Месторождение не эксплуатируется, поскольку располагается на застроенной части населенного пункта. Верхотурская месторождение (П-4,7) находится в 1,5 км к юго-востоку от г. Верхотурье, разведано в 1955 г. Залежь мощность 4 м приурочена к четвертичным отложениям надпойменной террасы р. Тура. Мощность вскрыши 0,8 м. Согласно ГОСТ 530-54 глины пригодны для изоготовления кирпича марки 100. Балансовые запасы на 1/1 1980 г. по категориям А+В+С<sub>1</sub> 231 тыс.м<sup>3</sup>. Эксплуатируется с 1948 г., перспективы

прироста запасов имеется за счет доразведки залежи в восточном направлении.

#### ОБЛОМОЧНЫЕ ПОРОДЫ ГАЛІЧНИК И ГРАВІЙ

Берхотурское промышленное месторождение (III-4,8) расположено в 10 км юго-восточнее г. Берхотурье. Развелено в 1956 г. Представляет собой пластообразную залежь песчано-гравийного материала (гравия 50-70%) с примесью глинистой фракции (3,2%). Вскрыва средней мощностью 0,9 м. Испытания показали пригодность сырья для изготавливания известково-песчаных стековых блоков марки 25 и 35. Балансовые запасы на 1/1 1980 г. по категориям А+В+С1 составляют 134 тыс. м<sup>3</sup>. Месторождение не эксплуатируется, резервное.

## ПОДЗЕМНЫЕ ВОДЫ

Согласно схеме гидрогеологического районирования Урала рассматриваемая территория расположена в пределах двух структур первого порядка: Уральской системы бассейнов грунтовых вод зон трещиноватости (II) и западной окраины Западно-Сибирского артезианского бассейна (III). Первая структура представлена бассейнами грунтовых вод зон трещиноватости в породах среднего и нижнего палеозоя восточного склона Урала (II<sub>3</sub>), второй — Тобольскими артезианскими бассейнами (III) (рис. 6). Граница между структурами совпадает с западной границей распространения морских отложений верхнего мела и юрэна. Типичным для первого района является приуроченность подземных вод к зонам региональной и локальной трещиноватости, гидравлическая связь водоносных комплексов, обезпорный характер подземных вод, расщлененность водоносной системы на небольшие бассейны, высокие темпы водообмена, гипрокарбонатный, разе гипрокарбонатно-сульфатный состав вод, сдача (0,1-0,5 г/л) минерализации. Относительно слабая фоновая водообильность палеозойских образований объясняется сравнительно низкой степенью трещиноватости пород в зоне вывет-

ривания и наличием глинистых кор. выветривания, явлениями: сносительным водоупором. На фоне массивов со следом водопроводимостью отчетливо выделяются зоны повышенной водообильности, являющиеся своеобразными подземными дренажами. Эти зоны, принадлежащие к тектоническим нарушениям и контактам интрузий с геологически неоднородными породами, играют определяющую роль в перераспределении подземного стока.

Центральную и восточную часть площади занимает Тобольский артезианский бассейн (III<sub>1</sub>). По гидрогеологическим условиям бассейн представляет собой ярусную структуру. В его пределах幾乎 включают две области. Западная окраина (III<sub>1A</sub>) до линии пос. Лобья - г. Новая Ляля - г. Верхотурье представляет собой область питания основных водоносных горизонтов и комплексов, участвующих в строении восточных частей бассейна. Этакже расположенные водоносные комплексы пород чехла образуют здесь единую водоносную систему с дислокированными породами фундамента. В связи с хорошим водообменом подземные воды имеют пресную или ультрапречистую минерализацию и гипрокарбонатный состав.

Северо-восточную часть территории занимает собственно Тобольский артезианский бассейн (III<sub>1B</sub>). Верхний ярус образует платформенную водонасыщенную систему этакже расположенных водоносных комплексов, имеющих затрудненную гидравлическую связь с подземными водами фундамента. Область характеризуется затрудненными условиями водообмена, что вызывает изменение химического состава подземных вод по гипрокарбонатно-сульфатному и увеличение минерализации по сравнению с западной окраиной бассейна.

Гидрогеологическое расчленение разреза произведено по литолого-фациальному принципу, в результате чего выделено девять водоносных горизонтов и комплексов.

Водоносный горизонт альзинский включает в себя отложенные в эпохи речных долин представлены преимущественно песчаными мощностью до 20 м. Уровень подземных вод горизонта свободный. Глубина залегания его не превышает 5,4 м. Уклон потока — в сторону русла рек. Отложения, практический лиценные глинистые фракции, характеризуются коэффициентом фильт-

рации до 50 м/сут и дебитами скважин до 2 л/с. При повышении степени загрязненности коллектор фильтрации уменьшается до 0,2 м/сут, а дебит скважин составляет 1,0-0,1 л/с. Химический состав подземных вод горизонта является гидрокарбонатно-кальциево-магниевым и магниево-кальциевым. Минерализация от 0,14 до 0,31 г/л.

**Спорадический освобожденная толща озерно-болотных отложений четвертичного возраста** мощностью до 25 м занимает довольно обширные площади на водоразделах и в долинах рек.

В связи с литологической и гранулометрической неоднородностью отложения горизонт подземные воды не образуют постоянного горизонта, а встречаются в виде местных скоплений в песчаных разностях среди существенно глинистых толщ. Описываемые отложения чаще всего являются средой, через которую происходит инфильтрация атмосферных осадков в нижележащие горизонты. Химический состав вод преимущественно гидрокарбонатный кальциево-магниевый и кальциево-магниево-натриевый. Минерализации 0,04-0,43 г/л.

**Эоценовый водоносный комплекс** распространен в восточной части района. Минеральность пород комплекса отличается от первых метров до 30 м. Водообильность пород комплекса невелика. Это объясняется затрудненными условиями питания

водоносный горизонт выполненных отложений русла современных рек галечники, лески, глины, суглинки; 2 - споровиковые супеси толщи четвертичных озерно-болотных отложений (пески, алы, торф, глины, галечники); 3 - водоносный комплекс; 3 - эоценовый (плотоядные, глыбоконгломераты, пески, аллювиальные оползы, глины). 5 - юрский (пески, галечники, глины), 6 - зона граничности между карбонатными породами нижнего и среднего девона - зона трещиноватости вулканогенно-осадочных пород нижнего и среднего девона (породы природы, туфиты, туфолавочки, туфогравийники, табор-диаспориты). 8 - зона трещиноватости интузивных пород Ульяновской состава (серпентиниты). 9 - зон трещиноватости икрующих пород кислого состава (граниты, гранитогнейсы, кварцевые диабазы, пегматиты), 10 - водупорная толща глин, 12 - гравийно-распротертанные галечниковые глины, 12 - гравийная структура первого порога; 13 - система дасчейнов грунтовых вод зон трещиноватости в породах среднего и нижнего палеозоя восточного склона Урала, Ш. Тобольский южногорецинский бассейн; 13 - трещиноватость усиленных областей в восточных склонах Кузнецкого ареала; 14 - область пепельных оснований Тобольских котловиков, 15 - область состояния артезианского бассейна; 14 - воло-сийные зоны, прокрученные к геологическим контактам.



Рис. 6. Схема гидрогеологического районирования и распространение водных зон, прокрученные к геологическим контактам. Гидрогеологические комплексы и зоны (составила Г.И. Новак по материалам В.С. Селезнева)

вследствие перекрытия водонесущих олук диаграммами и глинистыми образованием более молодого возраста, а также выходом гипсометрическим положением над дренаами. Коэффициент водоупорности достигает  $100 \text{ м}^2/\text{сут}$ . Разгрузка подземных вод происходит преимущественно на склонах долин рек, на контактах зон с подстилающими тальниками глинами. Дебиты источников в большинстве случаев не превышают  $0,1\text{--}0,3 \text{ л}/\text{с}$ .

Активный водообмен и хорошая промывость пород серовской скважины определяют слабую минерализацию ( $0,3 \text{ г}/\text{л}$ ) и гидрокарбонатно-кальциевый состав подземных вод.

Водоупорная ягольная таликоидальная палеоплита распространена в восточной и центральной части описываемого района. В целом тома представляют собой водоупор, что объясняет широкое распространение болот на плющах выхода рассматриваемых отложений на поверхность. Состав подземных вод в кровле тальниковой свиты указывает на отсутствие промывости пород. Воды имеют обычно гидрокарбонатно-хлоридный состав с суммой солей, достигающей  $1,25 \text{ г}/\text{л}$ .

Отложение и язвержненемеловоговодоносного комплекса. Примущественное развитие в разрезе комплекса пользуются кварц-глaukоктоновые песчаники.

В восточной части района, за исключением долин рек Ляли и Туры, породы комплекса повсеместно перекрыты водоупорной толщей тальниковых глин мощностью 20–30 м, что определяет напорный характер подземных вод. Водянина напора достигает 55 м. Мощность водоносного комплекса до 85 м.

Комплекс характеризуется сравнительно высокой водообильностью. Средний удельный дебят скважин, вскрытых верхнемалояные отложения, составляет  $0,42 \text{ л}/\text{с}$ . Максимальная водообильность отмечается в районе пос. Лобва, где забуркован напорный дебит скважин  $10 \text{ л}/\text{с}$ . Глубина залегания подземных вод изменяется от 2,2 до 27 м. Дебиты родников от  $0,01$  до  $3 \text{ л}/\text{с}$ . По химическому составу подземные воды комплекса преимущественно гидрокарбонатные кальциевые и кальциево-магниевые с минерализацией  $0,03\text{--}0,5 \text{ г}/\text{л}$ .

Водоносный комплекс зоны карбонатного осадочного озера Серноводский комплекс озерных и озёрно-западинных отложений распределен в западной части территории. Глубина распространения

в р. н. соответствует наиболее пониженным зонам палеозойского фундамента. Мощность его достигает 20 м. Глубина залегания подземных вод увеличивается в направлении к р. Тура от 1,5 до 27 м. Коэффициент фильтрации достигает 40–50 м/сут в гравийно-галечных отложениях и уменьшается по мере увеличения содержания глинистого материала. Подземные воды комплекса гидрохимически связанны со смежными горизонами, через которые и осуществляется их питание. На участках, где породы комплекса залегают на известниках с низким положением уровня подземных вод, они находятся в зоне аэрации и воды не содержат. Химический состав вод преимущественно гидрокарбонатный кальциевый и кальциево-магниевый с минерализацией  $0,15\text{--}0,16 \text{ г}/\text{л}$ .

Водоносный комплекс зоны трещинно-водообильного и карбонатного озера Карбонатно-глинистого комплекса распространяется в восточной и южной частях района и среднего девона на западной части района. Границы его с известняками вулканогенно-осадочными породами почти совместно тектонические. Породы комплекса постепенно погружаются в северном направлении на глубину до 50 м. Мощность зоны промывости до 80–100 м. Широко распространены в комплексе водообильные зоны. Карст встречается в зонах тектонических нарушений в основном до глубины 50 м. Среднее значение коэффициента фильтрации из-за востока изменяется в широких пределах от 16 до  $0,01 \text{ м}/\text{сут}$  в зависимости от степени трещиноватости, закарстованности и промытости пород. Удельные дебиты скважин, вскрытых водообильными зонами, составляют  $3\text{--}2,1 \text{ л}/\text{с}$ . В южной части зоны комплекса безнапорны и залегают на глубине от 2 до 27 м. По мере его погружения в северном направлении подземные воды приобретают напор. Питание водоносного комплекса происходит за счет инфильтрации атмосферных осадков, поглощения речного стока и за счет дренажирования вышележащих водоносных горизонтов. Общее направление потока меридиональное в сторону р. Туры. По химическому составу воды комплекса относятся к гидрокарбонатным кальциевым и кальциево-магниевым с минерализацией  $0,18\text{--}0,32 \text{ г}/\text{л}$ .

Водоносный комплекс зоны карбонатного осадочного озера Серноводский комплекс озерных и озёрно-западинных отложений распределен в западной части территории. Глубина распространения

Несколько эффективности трещиноватой зоны составляет 40–50 м. Зеркало подземных вод преимущественно свободное и залегает на глубине от 0,4 м в долинах рек до 16 м на водоразделах. Наиболее широкая водонасность комплекса отмечается на контактах с интрузивными гнейсами и в зонах тектонических нарушений, где лебиты отдельных скважин достигают 10 л/с. Дебиты родников варьируют от 0,1–0,3 л/с у преобладающего количества источников до 5 л/с в зонах локализации стока. По химическому составу трещинные воды являются палеозойскими, имеющими повышенную водонасыщенность. Минерализация не более 0,5 г/л.

Водоносный комплекс зон тектонического и интрузивного пород комплексного возраста имеет мощность 20–40 м. Повышенная водообильность комплекса отмечается в зонах тектонических нарушений, где мощность продуктивной зоны увеличивается до 100 м. В таких районах дебит скважин составляет до 4–8 л/с при понижении 5 м. Дебят большей части скважин, вскрывших данный водоносный комплекс, не превышает 0,8 л/с. Дебиты родников составляют 0,3 л/с, редко достигая 1–2 л/с. Химический состав вод гидрокарбонатный, кальциево-магниевый, кальциево-кальциевый, кальциево-магниево-магниевый. Часто отмечается повышенное содержание иона ( $\text{SO}_4^{2-}$ ). Минерализация до 1 г/л.

Водоносный комплекс зон тектонического и интрузивного пород ультраосновного гранита – основной состава в реальном проявлениях в виде отчетливо выраженных возвышенностей. Мощность рыхких покровных отложений 2–25 м. Трещиноватость наблюдается до глубины 15–20 м. Значительная часть трещин закальматирована глинистым материалом, что препятствует инфильтрации атмосферных осадков, являющихся основным источником питания водноносного горизонта, в связи с чем водообильность пород невелика. По химическому составу воды относят к гидрокарбонатным кальциевым и магниево-кальциевым с минерализацией 0,1–0,5 г/л.

По результатам гидрогеологических исследований описанного района В.С. Селезневым в 1976 г. [86] был произведен подсчет естественных ресурсов подземных вод района через модуль нормального зимнего стока. Естественные ресурсы оценены в 1847 л/с. В настоящее время для хозяйственного питьевого водопользования месторождений различных полезных ископаемых.

снабжения городов, поселков, и отдельных предприятий используяется подземные воды зон трещиноватости интузивных и вулканогенно-осадочных пород, девонских известняков, меловых и аллювиальных отложений. Сложившиеся водозaborы представляют собой, как правило, одиночные скважины, реже – системы одиночных скважин, заложенных произвольно, без специальных разведочных работ. Наиболее крупными водопотребителями в районе являются гг. Верхотурье, Новая Ляля и пос. Лобва, где по состоянию на 1980 г. фундуковый суммарный дебит водозaborных скважин составляет соответственно 97,38 и 54 л/с. Перспективная потребность этих населенных пунктов, равная 7–II тыс. м<sup>3</sup>/сут., может быть полностью обеспечена на счет ресурсов подземных вод после проведения специальных поисково-разведочных работ.

## ОЦЕНКА ПЕРСПЕКТИВ РАЙОНА

Район расположен в зоне тайги, имеет слабо развитую экономику, связанный в основном с заготовкой и переработкой древесины, другие виды промышленного производства в ближайшем времени не планируются.

В геологическом отношении район изучен недостаточно, из известных промышленных месторождений россыпного золота и платины, рудного золота, известняков, кирличных глин, песчано-гравийных смесей и торфа в настоящее время эксплуатируется россыпь р. Туры и Верхотурское месторождение кирличных глин.

Благоприятными экономическими факторами для дальнейшего развития района являются: строительство автомагистрали Свердловск–Серов и наличие железнодорожной магистрали Свердловск–Северуральск, проходящих через центральную часть площасти; крупные балансовые запасы торфа (около 200 млн. м<sup>3</sup>), достаточные для полного обеспечения района энергетическим сырьем; благоприятные перспективы открытия месторождений подземных вод высокого качества и достаточные ресурсы вод открытых водоемов для технических целей; положительная оценка перспектив открытия промышленных месторождений различных полезных ископаемых.

Основные перспективы района связаны с возможным открытием промышленных месторождений меди и руд кольчевидного типа [48]. В пределах развития вулканических силурийских комплексов контрастной и непрерывной ассоциации западной и восточной полосы (Павлинско-Калугинская меднорудная зона) с широким развитием субвулканических и гипабиссальных интрузий гранитоидов, кимберлитовых вулканитов. Признаки оруденения приурочены к их контактовым зонам и сопровождаются процессами гидротермального метасоматоза с образованием кварц-сернистых пород, вторичных кварцитов и комплексных гидро- и литогеохимическими аномалиями [31, 40, 73, 74, 101].

Особенности глубинного строения Тагильской геосинклинальной мегазоны и влияние его на металлогенез меди рассмотрены Е. С. Контарем [48]. Им отмечается премущественная пророчность колчеданного оруденения медно-серного и медно-цинкового профиля к фемиическим блокам, а золото-полиметаллического и медноНорильского - к салическим. Положение данного района в пределах Челябинского салического блока определило его золото-колчеданно-полиметаллическую специализацию с признаками медноНорильского оруденения. На сменной с земледелием известно Гарнековское золото-полиметаллическое проявление.

Наиболее перспективной площадью на медные руды является Поздняковско-Латинская (рис. 7), в пределах которой выделены участки: Латинский, Поздняковский, Травянский, Восточно-Гарнековский и Лялинский, рекомендуемые для постановки общих поисков с проведением электроразведки методом НИ и поискового бурения глубиной до 400 м, на Травянском участке до 700 м. Наличие в пределах последнего золотого оруденения (Травянское месторождение) с повышенным содержанием ртути (запасы по свободной киновари) может свидетельствовать о скрытом колчеданном и медно-порфировом оруденении, что подтверждается геомагнитными аномалиями наружного характера, спектр элементов которых отвечает золото-колчеданному и колчедано-полиметаллическому типам оруденения.

Латинский участок включает комплексную литеогеохимическую аномалию, которая по элементному составу, характерному для медно-порфирового оруденения (Си, Мо, Аг, Ва), соответствует около-рудному уровню и рассматривается как рудная. Продуктивность

аномалии по меди оценивается в 250 т на 1 м глубины, что соответствует 75 тыс. т до глубины 300 м на площади около 2 км<sup>2</sup> [48]. Заверочное бурение работы не проводились. Аномалия связана с субмеридиональной тектонически ослабленной зоной, которая отчетливо фиксируется серией сближенных даек диоритовых и диабазовых порфиритов [40].

Перспективные участки простирационно связаны с южной периферией крупной полтеречной структуры доордовикового (?) залежания, типа флексуры, граница которой представлена тектонической ослабленной зоной, неоднократно подновляемой и разделяющей район на два блока: северный приподнятый (А) и южный (В). Эта зона является благоприятным структурным фактором, контролирующим размещение известняков в районе проявления, дунитов минерализации и геохимических аномалий колчеданного, медно-порфирового, золото-кварцевого, золото-сульфидно-кварцевого и других типов оруденения.

В связи с недостаточной изученностью структурной позиции, условный локализации известных в районе признаков различных типов оруденения, сосредоточенных в северо-западной части Челябинской области решения ряда геологических вопросов, поставленных в результате аэрофотогеологического картирования масштаба 1:50000 [40] и в первую очередь - формационной принадлежности вулканогенных образований западной полосы, природы предполагаемых крупных колцевых структур, с которыми пространственно связаны все известные проявления меди, золота и литеогеохимические аномалии, уточнения петротехнической и возрастной характеристики интрузивных комплексов на данном участке (см. рис. 7) рекомендуется проведение глубинного геологического картирования масштаба 1:50000.

Перспективы обнаружения приповерхностного промышленного скарнового-магнетитового оруденения в пределах Ауэрбаховской рудноносной зоны, охватывающей площадь развития вулканогенно-осадочных образований туринской свиты и гипабиссальных интрузий ауэрбаховского комплекса, неизвестны. Оспариваемые геофизическими работами [32] доказывается отсутствие промышленных скоплений магнетитовых руд в пределах этой зоны на глубине до 200-300 м, хотя заверочных буровых работ не проводилось.

Рудопроявления желеязоса (Малая Лата) и Малая Лата) не имеют перспектив в зоне (Малыгинское и Малая Лата)

**Связь с неизучительным масштабом проявления бобово-контгломератовых руд и вмещающих континентальных осадков.** Сложные геологические условия залегания и масштаб прорываний титаномагнетитового оруденения также ограничивают перспективы промышленного использования данного типа железных руд.

Результаты проведения поисково-разведочных работ на известных и новых выявленных прорывах бокситов позволяют оценивать площадь как неперспективную на наличие крупных промышленных месторождений.

**Перспективы выявления промышленных месторождений силикатного и кальцитового никеля ограничены лишь развитием наименее кор выветривания, установленных в центральной части Алтайско-Туринского серпентинитового массива – Таловский участок, где рекомендуется проведение геодизических работ методами ВЭЗ и СЭП по сети 800x100 м с детализацией 400x100 м и буровых работ (в зимний период) по сети 800x100 м с детализацией 400x50 м при средней глубине скважин 30 м.**

Перспективными на выявление рудного золота являются экзоконтактовые зоны интрузий нижне-среднегаммено-утольного возраста, изученные крайне недостаточно. Предполагается для выявления оруденения имеющегося в северном экзоконтакте Боровского массива – Боровской участок, где картироочными скважинами под чехлом мезозойских и кайнозойских осадков мощностью 20–22 м вскрыты золотосодержащие березиты и березитизированные породы с частыми жилами минерализованного кварца [7]. Рекомендуется проведение общих поисковых работ (в зимний период): магниторазведка масштаба 1:10000, электроразведка (метод III), поисковое бурение глубиной до 300 м.

I – границы будущих зон и их номера: I – Дальнинско-Калугинская меднорудная зона, II – Гороблагодатско-Покровская меднорудная зона, III – Масловско-Аузерховская меднорудная зона, IV – Алтайско-Туринская бокситовая зона, V – Семиретско-Чесменская хромитовая зона с малоценной тальк-асбестовой минерализацией в интузиях кор выветривания, VI – Верхногурско-Сандинская мусковитовая и золотосодержащая зона; 2 – штоки, рекомендуемые для проявления глубинного геологического наутилования масштаба 1:50000; 3 – границы перспективных площадей; 4 – участки, рекомендуемые для постановки общих поисков, и их номера: 1 – Копчиковского-Краснотуринский, 2 – Дальнинский, 3 – Поздняковский, 4 – Травянский, 5 – Восточно-Тарниновский, 6 – Дальнинский, 7 – Таловский, 8 – Боровской; 5 – линия границы поперечной структуры, представляющей геотроническую ослабленную зону, разделенной район на две стороны: А – северный (поднятый), Б – южный.

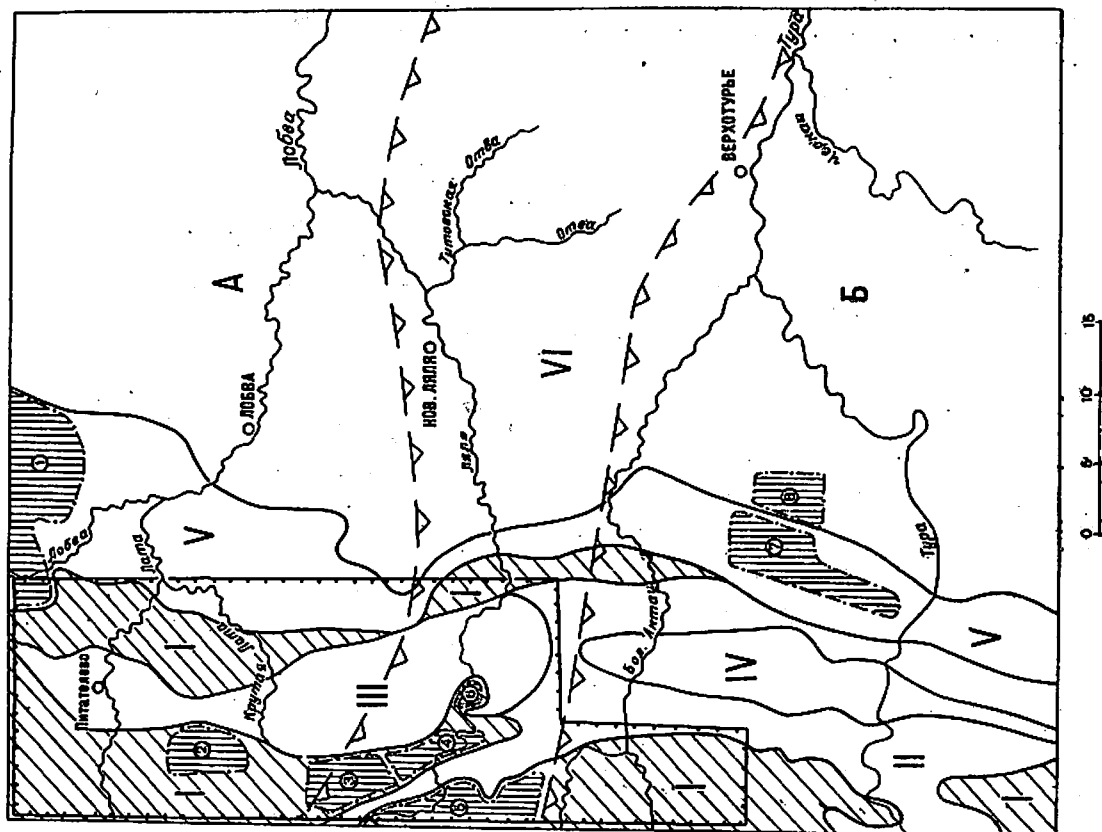


Рис.7. Схема прогнозов и рекомендации (составил Е.Г. Задоровский, С.А. Зворонок)

Минерализация хризоти́л-асбеста встречена в нескольких пунктах в пределах Лобынинского сегментного массива [40]. Участок Коптиково-Красноярский со значительным даком среднего состава считается авторами перспективным на обнаружение месторождений хризотил-асбеста и предлагается для постановки общих поисковых работ.

Кличевское месторождение известняков является основной сырьевой базой для Новолыжинского района по обжигу известняков на извест и производству известковой муки для удобренний. Известняки хорошего качества, залегают неглубоко. Многочисленные проявления строительных и формовочных песков в районе связаны с мороками пестанами верхнего мела (камышловская и Фаддинская свиты) и приурочены в основном к западной бортовой части Акта́й-Галицкого участка, где мощность вскрыши не превышает 2 м [67]. Основная фракция песков (0,25–0,05 мм) на 70–97% состоит из кварца, мощность меняется в широких пределах от первых метров до 22–23 м. Технологические испытания песков [24] показали, что они удовлетворяют требованиям, предъявляемым к строительным и формовочным пескам. Суммарные прогнозные запасы песков в юго-западной части Акта́й-Галицкого участка составляют около 70 млн. т [71].

Крупных месторождений хирдичин в районе не известно, в настоящее время разрабатывается Верхогурьевское месторождение и имеются данные о старых разработках кирпичных цементальных и аллювимальных глин обнаженным пластическим образом без добавки отощителя на многих участках площасти. В связи с широким развитием описываемых образований перспективы открытия месторождений кирпичных глин в районе весьма благоприятны.

Сапропель встречен в реликтовом озере Таловского болота северо-восточнее д. Талыя [80]. Мощность его достигает 5 м. Поисково-оценочные работы не проводились, предварительные масштабы проявления позволяют предполагать, что сапропель Таловского озера может удовлетворять потребности хозяйства Ново-Лялинского района.

Проявления глаукофита обнаружены и описаны С.Д.Рабинович [80, 81, 82], наиболее крупные из них – Добинское и Белореченское. Содержание глаукофита в глаукофитовых песчаниках верхнего мела достигает 70–80%, мощность рудного пла-

та от 3,5 до 17 м. Испытания показали высокую ионосомнную способность и высокое качество сырья для изготовления красок. Широкое развитие глаукофитовых пестанников в районе, залегание их в большинстве в районе д. Полуденный, пос. Кауул, Ниж. Салгатово и других участках позволяет благоприятно оценивать перспективы района относительно промышленного использования глаукофита.

Известные проявления граувэла вблизи г.Новая Ляля – высокого качества, с крупными аллювальными залежами [30], с благоприятными условиями эксплуатации и возможностями прироста запасов в процессах вновь установленных площадей развития отложений киргитской свиты [71], позволяют положительно оценивать перспективы открытия промышленных месторождений.

Благоприятные перспективы открытия промышленных месторождений песчано-гравийных смесей связаны с широким проявлением аллювимальных осадков в долинах рек (восточнее г.Верхогурье), Ляля (от пос.Савиново до устья), Лобзы (от пос.Коптяки до восточной рамки площасти) и Бол.Актая (восточнее д.Новоселово). В настоящее время часть проявленных кустарно эксплуатируется: в естественном виде гравий используется в качестве дорожного балласта.

Разведанных месторождений и залежей никеля пока не имеется, хотя они добывались и в настоящее время эксплуатируются мелкими карьерами местными дорожными управлением в качестве бутового камня на многих участках: в районе г.Верхогурье по обеим берегам р.Гуры разрабатывается гранитоши, запасы практически неограниченны (сопротивление сжатию от 1200–1600 до 2000 кг/см<sup>2</sup>, материал пригоден для дорогих и строительных работ); в 3 км юго-западнее г.Новая Ляля; на левом берегу р.Шантаки, в 7 км западнее ст.Карелино; в районе пос.Лопашово и на других участках. Для дорожного строительства используется также порфириты, туфы, серпентиниты и другие породы, часть из которых обладает хорошими декоративными свойствами – массивные порфириты в районе р.Поздняковки, д.Мураинки, порфировидные граниты Боровского массива (д.Талыя) и др.

Таким образом, район является перспективным на различное полезные ископаемые, но слабая геологическая изученность спрекращает его промышленное развитие.

## ЛИТЕРАТУРА ОПРЫНКОВАННАЯ

1. Бахтиров А.В., Верещагина В.С., Лидер В.А. и др. Карта месторождений минеральных строительных материалов Свердловской области масштаба 1:750000. Свердловск, 1972, с.243-244, 322-323.
2. Геологическое развитие и металлогения Урала. М., Недра, 1981. 253с. Авт.: К.К.Золотов, М.С.Рапопорт, Б.А.Полов, К.П.Плюхин, Ю.С.Каретин, В.С.Шуб, Е.М.Ананьев, Е.С.Контарь.
3. Дианова Т.В. Вулканогенные горные породы восточной части Павдинского района. - Тр.Горно-геологич.ин-та УЗАН СССР, Вып.33. Свердловск, 1958, с.3-139.
4. Лидер В.А. Четвертичные отложения Урала. М., Недра, 1976, 144с.
5. Лидер В.А. Карта четвертичных отложений Урала. Свердловск, 1978. 171с.
6. Лисов Н.С., Коровин Н.Ф. Государственная геологическая карта СССР масштаба 1:200000. Серия Среднеуральская. Лист 0-4I-I. Объяснительная записка. Свердловск, 1974. 175с.
7. Максимович Г.А. Академико-Талицкое месторождение бокса - та.-Ученые записки Пермского госуниверситета. Т.2, вып.3, 1936, с.263-299.
8. Никифорова К.В. Геологическое строение и история развития гидрогеологической сети в северной части восточного склона Среднего Урала за хайнозойскую эру (Исовский и Верхотурский районы). - БЮИИ. Отд.гесл. Т.2I, № 5, 1946, с.57-65.
9. Сигов А.П., Гузовский Л.А. Объяснительная записка к карте кор выветривания Урала. Свердловск, 1981. 212с.
10. Сигов А.П., Шуб В.С. Объяснительная записка к геоморфологической карте Урала. Свердловск, 1981. 229с.
- II. Рентгентен В.П. О молодых тектонических движущихся на восточном склоне Урала. - Материалы по геоморфологии Урала. Вып. I №.Л.: Госгеотехиздат, 1948, с.268-279.
12. Рентгентен В.П. Стратиграфия меловых и третичных отложений восточного Приуралья. - Тр.ГИН АН СССР. Вып.133, геол.серия (№ 54), 1951, с.24-30.
13. Сергиевский В.М. Описание 37-го планшета геологической съемки масштаба 1:200000. I-я Вагранская дача. - Тр.ДНИГРИ. Вып.75, ОГИ. №.-Л., 1936, 55с.

14. Сергиевский В.М. Вулканизм ордовикско-палеозойской геосинклиналии. - В кн.: Геология СССР. Т.12, Урал. Ч.1. Кн.1. М.: Недра, 1969, с.455-459, 473-507.
15. Соболев И.Д. Геологическая карта Северного, Среднего и Восточной части Камского Урала масштаба 1:200000. Лист 0-4I-УП. 1966.
16. Соболев И.Д. Тектоника. Центрально-Уральское поднятие. Тагильско-Магнитогорский прогиб. - В кн.: Геология СССР. Т.12, Урал. Ч.1, кн.2. М.: Недра, 1969, с.43-174.
17. Черняковский Г.Ф. Иннералогическая характеристика некоторых колчеданных рудопроявлений в северной части Среднего Урала. - Тр.ГГИ Уфы АН СССР. Свердловск, 1958. Вып.33, с.144-159.
18. Черняковский Г.Ф. Среднепалеозойский вулканизм восточного склона Урала. М.: Недра, 1972. с.258.
19. Штрейс Н.А. Стратиграфия и тектоника зеленокаменной полосы Среднего Урала. Тектоника СССР. Т.Ш. Изд-во АН СССР, 1951. 379с.
- ФОНДОВАЯ \*
20. Автонеев С.В., Сотникова Р.А. Петрохимические особенности вулканогенных точек силура-нижнего девона меденских районов средней части Тагильского метасинклинория (отчет Верхне-Туринского отряда за 1975-1977 гг.). 1977, № 035277.
21. Александрова Е.П. Полевой отчет о геологическом исследовании в 46-47 планшетах геологической карты Урала. 1931, № 14261.
22. Алешин Б.М., Фадеичев А.Ф. и др. Геологический отчет о результатах поисковых работ на медные руды, проведенных Качат-нарской ГЭЛ в 1961-1962 гг. в Ново-Лынском районе Свердловской области. 1962, № 27548.
23. Алешин Б.М., Спирионов Ф.Н. и др. Геологический отчет о результатах геологопоисковых работ и геофизических на медные руды, проведенных в Нижне-Туринском и Ново-Лынском районах Свердловской области в 1963-1964 гг. № 028965.
24. Алешин Б.М., Фадеичев А.Ф. и др. Геологический отчет о результатах поисковых работ на медные руды, проведенных Качат-нарской ГЭЛ в 1963-1964 гг. № 028965.
- \* Работы, для которых не указано место хранения,

- 1962 г. Свердловская геологоразведочная партия по разведке торфяных месторождений.
25. Алешин Б.М., Полянский И.Г., Семерун А.К. и др. Турино-ско-Талицкая золото-платиновая россыпь на Среднем Урале. 1968, № 031382.
26. Архангельский Н.И. Краткий отчет о работах Исовской поисково-разведочной партии на Киноварь, проведенных с октября 1941 г. до января 1944 г. № 022049.
27. Асташенко А.И. Полезные ископаемые части Цадинской и Лобвинской лесных дач. 1937, № ТО372.
28. Баланс запасов полезных ископаемых РСФСР на 1.1.1981г. Тюб. Свердловская область. Свердловская геологоразведочная партия по разведке горных месторождений.
29. Баланс запасов полезных ископаемых СССР на 1.1.1982г. Тюб. Свердловская область. Свердловская геологоразведочная партия по разведке горных месторождений.
30. Йоеводкин А.А. Отчет о поисково-разведочных работах на тренел в Новолыдинском районе. 1931, № 14420.
31. Вострокутов Г.А. Отчет о работах опытно-методической гидрогеометрической партии за 1958 г. 1959, № 015966.
32. Гильманов Н.Э. и др. Отчет о результатах комплексных геофизических работ на Актаиско-Талыкской поисковой площади в Новолыдинском районе за 1976-1979 гг. 1979, № 036082.
33. Гневутов М.А. Окончательный отчет Верхне-Кусовской партии за 1943 г. Часть I. Работы Алтайского отряда. 1944, № ЦЛ3436.
34. Говорудин Н.А., Кивих Т.Г. Отчет о результатах геофизических работ, проведенных нерудной партией на территории Нижнетагильского, Петрокаменского, Заркотурского и Новолыдинского р-нов Свердловской области в 1957-1958 гг. 1959, № 023477.
35. Грачев В.А., Крылов Р.А. и др. Отчет о геологосъемочных работах масштаба 1:200000, проведенных в 1963-1966 гг. в среднем течении р. Салды (Туринской), в пределах северной половины листа 0-41-XIII. 1967, № С30674.
36. Дерен В.В., Никитин В.А. Отчет о результатах гравиметровой съемки, проведенной Северной гравиметровой партией на территории толотрапеции 0-40-XII (в.л.) и 0-41-УП в 1961-1962гг. 1962, № 027454.
37. Дополнительный список переразведенных и вновь разведенных горных месторождений Свердловской области с 1975 по

- 1962 г. Свердловская геологоразведочная партия по разведке торфяных месторождений.
38. Ермакова Н.П., Ермаков Н.П. Отчет об электроразведочных работах, проведенных на Верхнотурском участке в Новолыдинском, Серовском и Верхнотурском районах Свердловской области в 1955г. 1956, № 07130.
39. Ерышев А.П., Страхов В.И. Отчет о результатах магнитометрической съемки, проведенной в Ново-Лылинском, Верхногорском, Махневском и Нижне-Салдинском районах Свердловской области в 1954 г. № ОП1954.
40. Заборовский Е.Г., Закокурников В.П. и др. Отчет о результатах аэроботогогеологического картирования масштаба 1:50000 Латинской площади (листы 0-41-25-А, 0-41-25-Б, 0-41-25-В, 0-41-25-Г), проведенного Тугулымским отрядом в 1977-1979 гг. 1979, № 035971.
41. Имбру Н.Ю. Отчет о магнитометрической съемке, проведенной на Среднем и Северном Зуралье в 1953 г. 1954, № О20177.
42. Имбру Н.Ю., Самойлова Л.Н. Объяснительная записка к магнитной карте листа 0-41-УП. 1961, № О17673.
43. Капинус Ю.А., Назаров В.М. Отчет о результатах комплексных геофизических работ, проведенных Воронцовской геофизической партией в 1962-1964 гг. на Серовской никеленосной площади. № 28978.
44. Карапин К.С., Ананьев Е.М. и др. Объяснительная записка к структурно-формационной карте магнитических образований Гагильского месторождения масштаба 1:200000, 1976-1979 гг. 1979, № 035827.
45. Козин Б.П., Зенков И.И. и др. Геологическая карта Урала масштаба 1:50000 трапеций 0-40-48-Г (вост. половина), 0-41-37-В (зап. половина). Отчет Нижне-Туринского геологического отряда по работам 1965-1966 гг. 1967, № 030640
46. Козлов А.А. Отчет об исследовании третичных отложений в Еланганцевых месторождениях листа девятнадцатой карты Европы. Россия, 1927-1928 гг. № П1124.
47. Кононова Л.И. Промежуточный геологический отчет о результатах поисково-разведочных работ на Серовском месторождении силикатных никелевых руд за период 1965-1966 гг. с оперативным подсчетом запасов по Еловскому участку, по состоянию разведанности его на 1.1.1967 г. 1967, № 030133.

48. Контар Є.С., Лидарова І.Е. и др. Прогнозно-перспективная оценка Тагильского прогиба на медные руды. Отчет партии эндогенной металлогенеза. Составление прогнозных карт масштаба 1:200000 на меридиональные и медно-железо-вандийские руды на структурно-фаунистической основе для территории Тагильского прогиба с врезками 1:50000 и 1:10000. 1977, № 035246.
49. Коровин Н.Ф., Козин Б.Д. и др. Отчет Лытлинского геологово-съемочного отряда по геологическому доказательству масштаба 1:50000 листов 0-40-36-В, 0-40-48-А и Б, проведенному в 1974-1978 гг. 1978, № 035764.
50. Коскин С.Д., Десятниченко Л.И. и др. Отчет о результатах гравиметрической съемки масштаба 1:50000, проведенной на Восточно-Исовской площади в Свердловской области (топографическая 0-41-37-В) в 1980-1981 гг. Специализированная гравиметрическая партия № 4, 1981, № 036909.
51. Крылов Р.А., Закожурников В.П. и др. Геологическая карта Урала масштаба 1:200000 листа 0-41-XIII (южная половина). Отчет Новоселовского геологического отряда о работах, проведенных в 1967-1969 гг. 1969, № 031720.
52. Кутин П.А. Отчет об аэромагнитной съемке на восточном склоне Северного Урала в 1974 г. 1948. Воркута. Фонды Политехнического музея УГМК.
53. Кудиков В.А., Какуртна М.А. Отчет о результатах геолого-геофизических и геофильтровых работ на спилкитно-никелевыеруды, проведенных в Новоляйинском и Верхнотурском районах Свердловской области в 1965-1966 гг. 1972, № 033113.
54. Лисов Н.С. и др. Отчет Серовской геологово-съемочной партии по групповому геологическому доказательству масштаба 1:50000 Серовской площади в пределах листов 0-41-I-А (в.п.), 0-41-I-В (з.п.), 0-41-I-В, 0-41-I-Г (з.п.), 0-41-13-А, 0-41-13-Б (с.з. ч.), 0-41-13-В, проведенному в 1974-1978 гг. 1978, № 035567.
55. Лицниц Г.Б. Отчет о геофизических работах, проведенных в центральной части Восточно-Мостовской полосы в 1946 г. 1946, № 019348.
56. Ломаев А.В., Назаров И.В. и др. Отчет Высокого геоморфологического отряда по результатам полевых работ 1966-1967 гг. (в среднем течении рр. Турьи, Салди, Тагила). 1968, № 030824.
57. Мазур З.Р., Шесток В.Т. и др. Сводка по месторождениям строительных материалов Свердловского административно-экономического района по состоянию на 1.1.1957 г. № 15742.

58. Мельников А.С., Ерошевская Р.И. и др. Окончательный отчет по теме: Составление палеогеографических, литолого-фациальных карт луждова Северного, Среднего и восточного склонов Южного Урала. 1964, № 028601.
59. Мурзина В.П., Мезенцева В.Ф. Геологическая карта Урала в масштабе 1:100000, восточная половина листа 0-41-37 и западная половина листа 0-41-38 (Отчет о работе Верхнотурской геолого-съемочной партии по работам 1951 г.). 1952, № 019339.
60. Назаров В.М. Отчет о результатах комплексных геофизических работ, проведенных Североуральской комплексной геофизической партией на Свердловской никеленосной площади за период 1964-1967 гг. № 30396.
61. Нанская И.Я., Тимохов А.Н. Отчет о результатах магнитометрической съемки, проведенной Сосьвинской геодинамической партией в 1955 г. в Ново-Лытлинском и Верхнотурском районах Свердловской области. 1956, № 020495.
62. Напик П.Т. Известники Ново-Лытлинского района Свердловской области. 1938, № 014324.
63. Напик П.Т. Отчет о поисках наливов в Н-Салдинском, Кушинском, Исовском и Верхнотурском районах. 1939, № 019018.
64. Нечаев Л.В., Прямоносов П.С. Металлогеническая карта южных месторождений Урала масштаба 1:500000. 1962, № 027568.
65. Никифорова К.В. Кайнозойские отложения восточного склона Среднего Урала в районе широтного отрезка р.Тура. Отчет геоморфологического отряда Исовской партии за 1942 г. № 013518.
66. Нижулин И.Н. Отчет о промпариательной разведке пещечно-травянистого месторождения ст. Верхнотурье ж.д. им. Л.М. Кагановича М., 1941, № 013739.
67. Отчетный баланс запасов строительных материалов и подечочных камней Свердловской области за 1980 г. на 1.1.1981 г. Свердловск, 1981, № 36711.
68. Ошев С.П., Тимохова Е.Г. Отчет о результатах работ комплексной геофизической партии, проведенных в Ново-Лытлинском районе Свердловской области в 1957 г. № 023305.
69. Панкова Н.В. Геологическая карта Урала масштаба 1:50000, планшеты 0-41-13-Г, 0-41-13-Б и 0-41-25-Б (с.п.). Отчет о работах Вагранской геологово-съемочной партии за 1940-1941 гг. 1945, № 020760.

70. Пакулин Г.М. Отчет о проведенных геологопоисковых работах на фосфориты в Верхнотурском и Малхинском районах Свердловской области в 1957-1958 гг. № 1559. № 15952.
71. Петров Б.Н., Заборовский Е.Г. и др. Геологическая карта Урала масштаба 1:50000. Листы 0-41-37-А (в.п.), 0-41-37-Б, 0-41-37-В (в.п.), 0-41-37-Г. (Отчет Алтайского отряда о геологических работах, проведенных в 1965-1970 гг.). 1970, № 032166.
72. Пихтовникова Н.Н., Рыков Е.Ф. и др. Прогнозная карта строительных материалов и агресирия четвертичных отложений масштаба 1:200000. Восточный склон Среднего Урала и Зауралье. 1969, № 31632.
73. Полянский И.Г. и др. Геологический отчет о результатах геологопоисковых, геохимических и геофизических работ на медные руды, проведенных в Ново-Ильинском районе Свердловской области за период с I.ХI.1964 г. по I.XI.1967 г. № 030667.
74. Полянский И.Г. и др. Геологический отчет о результатах геологопоисковых, геохимических и геофизических работ на медные руды, проведенных в Ново-Ильинском, Н-Туринском районах Свердловской области в 1967-1969 гг. 1969, № 031663.
75. Полянский И.Г., Полянская О.С. и др. Геологический отчет о геологопоисковых и геофизических работах на россыпное золото, проведенных в Верхнотурском, Красноуральском и Н-Туринском районах Свердловской области в 1966-1970 гг., 1970, № 032040.
76. Попов В.Б. Отчет о полевой работе Верхнотурско-Макневской геологосъемочной партии в 1931 г. № 014263.
77. Попова Н.А. Отчет о результатах поисково-разведочных работ на уголь, проведенных в 1945-1946 гг. Ново-Ильинской ГРП в пределах Алтайско-Лобвинской депрессии. № 019350.
78. Попова Н.А. Отчет о результатах поисково-разведочных работ на уголь в южной части Сосьвинской депрессии. 1947, № 019382.
79. Пресняк В.Г. Экспертное заключение по месторождению слюды Верхнотурского и Н-Салдинского районов Среднего Урала. 1944, № 013582.
80. Рабинович С.Д. Геологическая карта Урала масштаба 1:50000, листы 0-41-25-Б (в.п.), 0-41-37-Б. Отчет о работе Лыдинской геологосъемочной партии за 1940 и 1941 гг.

- 1945, № О19208.
81. Рабинович С.Д. Месторождения глауконитов Ново-Лыдинского района на восточном склоне Урала. 1942, № 3466.
82. Рабинович С.Д. Материалы по геологии и литологии месторождений глауконита Ново-Лыдинского района. 1943, № 3550.
83. Рапопорт М.С., Афанасьева Е.М. и др. Карта гранитоидных формаций восточно-Уральского поднятия и прилегающих районов масштаба 1:200000 как основа для прогнозирования связанных с гранитоидами оруденения. Отчет Партии региональной геофизики за 1977-1981 гг. 1981, № 036655.
84. Рассохин В.Д., Самылов Л.Д. и др. Геолого-экономический обзор месторождений строительных материалов Свердловской области. 1957, № 07773.
85. Рыков Е.Б., Пихтовникова Н.Н. и др. Карта неуродных полезных ископаемых, связанных с мезокайнозойскими отложениями Урала в масштабе 1:200000. 1964, № 28964.
86. Селезнев В.С., Емельянов Г.Н. и др. Гидрогеологическая карта СССР масштаба 1:200000, лист О-41-УП (Новая Лыль). Отчет Лыдинского отряда по результатам работ 1974-1976 гг. 1976, № 34920.
87. Сергиевский В.М. и др. Геологическое строение бывшей Павшинской дачи и ее месторождения меди. 1944, № 020966.
88. Сигов А.П., Щуб В.С. Геоморфологическая карта Урала масштаба 1:500000. 1977, № 035106.
89. Сидоренко А.Е., Архангельская Л.С. и др. Объяснительная записка к карте плавиноности и золотоносности Исовского, Кыштымского и бывшего Косыльского присоветов масштаба 1:100000. 1955, № 018491.
90. Смирнова Т.А. Отчет о геологическом-поисковых работах в районе Актауско-Галицкого месторождения доказитов. 1942, № 023027.
91. Старцев Н.Н. Отчет Северо-Тагильской геолого-разведочной партии по поисковым работам на голубой амфибол-асбест в северной части Восточно-Тагильского гипербазитового массива в 1957 г. 1959, № 015786.
92. Стороженко Л.Е., Баранников А.Г. Карта россыпей Урала масштаба 1:500000. 1963, № 028331.
93. Страхов В.И., Нанская И.Я. Отчет о результатах магнитометрической съемки, проведенной в 1953 г. в Исовском и Ново-

Приложение I

С П И С О К

промышленных месторождений полезных ископаемых, показанных на листе 0-41-УП геологической карты (западные половины). Отчет о работе Иссыкской геологической партии за 1957-1959 гг. 1959, № 023910.

95. Тарасов А.В., Чернов В.С. Отчет об электrorазведочных работах, проведенных в Ново-Лялинском и Серовском районах Свердловской области в 1956 г. 1957, № 07916.

96. Уманцев Д.Ф. Геофизические исследования водоразделов рек Сосна-Тура-Тавда, произведенные в 1944-1945 гг. 1946, № 023439.

97. Уфимцев В.А. Отчет по аэрогеоботанической съемке, выполненной на Среднем Урале в 1963 г. 1964, № 028802.

98. Цаур Г.И., Цаганова Л.И., Мартынова З.И. Отчет по теме: "Дигитогенетическое и стратиграфическое расчленение континентальных осадков в пределах Кандинско-Бургантовской (Красноохтябрьский участок), Иильско-Тагильской (Алтай-Талицкий участок), Башерско-Высокий (Подоленский участок) и Коткарской (Андреевского-Шиенский участок) депрессии Урала", 1966-1968 гг. 1968, № 30063.

99. Чертяковский Г.Ю. Отчет по теме: "Изучение стратиграфии и структуры силурийских вулканогенных толщ в бывшей Павлинской даче", 1949-1953 гг. 1955, № 020461.

100. Чурсин А.В., Халымбаш И.Г. Отчет об аэрофотометрической съемке, выполненной на Урале в 1966-1967 гг. 1968, № 031056.

101. Шалагинов В.З., Калугина Р.Д. и др. Геологическая карта Урала масштаба 1:50000, планшеты 0-41-25-А и 0-41-25-В. 1962, № 027514.

102. Эпштейн С.В. Краткий отчет о работах Верхотурской геологической партии, 1930 г. № 2016.

103. Эпштейн С.В. Отчет о маршрутных геологических наблюдениях на восточном склоне Северного Урала. 1939, № 014298.

Наименование месторождения на карте	# на карте	Вид полезенного ископаемого и наименование месторожде- ния		Серия на литературу (номера по списку ли- тературы)
		I	II	
ТЕРДИЕ ГОРНЫЕ ИСКОПАЕМЫЕ				
Торф				
Мало-Латинское	I-1	8		29
Цытатеевское	I-2	3		28
Лобинское	I-2	5		28
Петъкино	I-3	1		28
Кондинское II	I-4	1		28
Кондинское I	I-4	2		28
Березовое	I-1	3		29
Латушинское	I-1	5		28
Лопаевское	I-2	2		29
Бессоновское	I-2	3		29
Сухое	I-2	4		28
Зынгостово	I-2	5		28
Мурзинка	I-2	6		28
Кочневское	I-2	7		28
Чапаевское	I-3	1		28
Буяляковское	I-3	2		29
Семейкино	I-3	5		28
Черное	I-3	6		28
Красноярское	I-4	1		28
Черное I	II-2	3		29
Чистое	II-3	1		28
Салтановское	III-3	2		29
Отынское	III-4	1		29
Метино	III-4	6		28
Вагульское	IV-I	6		28

Продолжение прил. I

I	2	3	4
IV-I	9	Тоннел Коридор	28
IV-2	7	Косоламское II	29
IV-3	2	Косоламское (Кочковатое)	29
IV-3	3	Косоламское I	29
IV-4	1	СТРОИТЕЛЬНЫЕ И ОГНЕУПОРНЫЕ МАТЕРИАЛЫ	29
Г-3	7	Глины кирпичные	1,72
Г-4	7	Ново-Ладинское Веркогурское	1,67,72
III-4	8	ОСЛОМОЧНЫЕ ПОРОДЫ Гальник и гравий Веркогурское	57,66,67
III-4	8	РОССИЙСКИЕ МЕСТОРОЖДЕНИЯ Золото Р.Исток (Золотой Исток) Лог Боярдинский	56,71,89 56,89
Ш-1	3	P.Раевка	56,71,89
Ш-1	5	P.Выниовка	56,89
Ш-1	7	P.Бычничная	56,89
Ш-1	1	Донскарелинская	71
Ш-1	3	Старковские Лога	56,89
Ш-1	4	Золото, платина	
Ш-1	5	Р.Мураинка	56,71,89
Ш-1	2	Лог Бобрик	56,89
Ш-1	8	р.Полуденный Акташ	56,71,89
Ш-1	9	Туринско-Галанцкая	25,71
Ш-1	10	р.Гутра	56,71,89
Ш-3	3	р.Бол. Таллица	56,71,75,
Ш-1	8	Северо-западнее д.Волотино	89,
Ш-2	4		71

Приложение 2

С П И С О К

Индекс клетки на карте	№ на карте	Был полезного ископаемого и назначение месторождения	Ссылка на литературу (номера по списку ЛП-тературы)	Примечание
		МЕТАЛЛИЧЕСКИЕ ИСКОПАЕМЫЕ		
		Благородные металлы		
		Золото	II	
		Травянское	III, IOI	Сопутствующая Hg
		СТРОИТЕЛЬНЫЕ И ОГНЕУПОРНЫЕ МАТЕРИАЛЫ		
		Карбонатные породы	I, 62, IOI	
		Известняк		
		Ключевское		

Приложение 3

**СПИСОК**  
недропытливых месторождений полезных ископаемых,  
показанных на листе 0-41-УП геологической карты  
масштаба 1:200000

Индекс клетки карты	№ на карте	Вид полезного ископаемого и наименование месторождения	Ссылка на ли- тературу (номера по списку ли- тературы)			
			I	II	III	IV
I	2		III-2	2	пос. Николаевский Золото, платина	80
I-2	2				II-I 4 III-I 4 IV-I 2	80, 89
III-4	2					56, 89
III-4	3					80, 89
III-4	4					80, 89
<b>РОССИЙСКИЕ МЕСТОРОЖДЕНИЯ</b>						
<b>Золото</b>						
I-1	2	с. Контия				92, 101
I-1	3	у р. Неромки				101
I-1	4	у пос. Канчика				101
I-1	5	За Узкоколейкой				101
I-1	6					101
I-1	7					101
I-1	1	р. Керровая с притоками				101
I-1	2	р. Лата с притоками				101
I-1	4	руч. Родничный				101
I-1	5	р. Крутая Лата с притоками				101
I-1	6	р. Александровка				101
I-1	7	р. Ольховка и среднее тек- чение р. Крутая Лата				101
I-2	1	р. Лобва (севернее с. Контия)				69
I-2	4	р. Лобва (ниже д. Лопаево)				80
I-2	6	р. Лобва (у пос. Лобва)				80
I-2	7	р. Еловка				80
I-1	2	р. Латушка				80
I-1	6	р. Каменка с притоками				80
I-1	7	р. Ермаковка				80
II-2	1	р. Коноплика				80, 92
II-2	8	у пос. Заболотного				80, 92
II-3	4	у пос. Крутая				80, 92
III-1	1	руч. Безымянный				56, 89
III-1	6	р. Белая				56, 89

Приложение 4

С П И С О К

Непромышленных месторождений полезных ископаемых, показанных на листе 0-41-УП геологической карты подорских образований масштаба 1:200000

Индекс клетки на карте	№ на карте	Вид полезного ископаемого и название месторождения	Ссылка на ли- тературу (но- мера по спи- су литерату- ры)
<b>МЕТАЛЛИЧЕСКИЕ ИСКОПАЕМЫЕ</b>			
IV-1	10	Цветные металлы алмазный	7,24,90 24
IV-1	12	Бинновское Акташ-Чалышное	

Приложение 5

С П И С О К  
проявленных полезных ископаемых, показанных на листе  
0-41-УП геологической карты масштаба 1:200000

Индекс клетки на карте	№ на карте	Вид полезного ископаемого и название (местонахождение) проявления	Ссылка на ли- тературу (но- мера по спи- су литературы)
I	2		4
<b>МЕТАЛЛИЧЕСКИЕ ИСКОПАЕМЫЕ</b>			
		Черные металлы	
		Железо	101
		Муглининское	101
		Медная Лага	101
		Печенные металлы	
		Никель	
II-2	4	№ I, в 5 км восточнее п. Полуденная	71
II-2	5	№ 5, Таловское	71
II-2	1	№ 10, в 3 км западнее п. Боровая	71
II-2	3	№ 13. В 4,5 км северо-запад- нее п. Волотино	71
<b>НЕМЕТАЛЛИЧЕСКИЕ ИСКОПАЕМЫЕ</b>			
		Минералы и удобрения	
		Фосфорит	70
		Керамическое сырье	
II-4	5	В 10 км северо-восточнее г. Верхогурье	
		Каолин	
		Шведовское	63,85
		Надимовское	63,85
		Вандинское	63,85
		Путимцевское	63,85

Приложение 5

I	2	3	4
	A	о разн ви н и е м а т е р и а л и	
II-3	8	Трепел	30,85
III-2	1	Буреломное Александровское	30,85

Приложение 6

С П И С О К

Проявленный полезных ископаемых, показанных на  
листе 0-41-УП геологической карты Докторских образований  
на масштабе 1:200000

Индекс клетки на карте	№ на карте	Вид полезного ископаемого и название (местонахождение) проявления	Ссылка на ли- тературу (но- мера по списку литературы)
<b>МЕТАЛЛИЧЕСКИЕ ИСКОПАЕМЫЕ</b>			
Ч е р н е м е т а л л и			
		Хлороз	
I-1	9	Изгаталевское	27,101
II-1	10	Толокнянка	101
II-2	6	Савиновское	71
II-2	7	Среднесавиновское	71
II-2	8	Кинесавиновское	71
П р о т и н е м е т а л л и			
		Медь	
II-1	12	Дыбинский рудник	40,64,101
		Альминский	
III-I	II	Проявление № 83	24
III-I	14	Талецкое	90
Б л а г о д и н е м е т а л л и			
		Золото	
IV-I	13	Глубокоречинское	56
IV-I	15	Бол. Галичье	56
IV-I	16	Мал. Легкое	56
IV-I	17	Токово	56
<b>ПРОЧИЕ НЕМЕТАЛЛИЧЕСКИЕ ИСКОПАЕМЫЕ</b>			
		Сланцы	
IV-4	2	Верхотурское	64,79

Приложение 7

СПИСОК

Пунктов минерализации полезных ископаемых, показанных на листе 0-41-УП геологической карты добрских образований масштаба 1:200000

Индекс карги на карте	% на карте на карте	Вид полезного ископаемого и название (местонахождение) пункта минерализации	Ссылка на ли- тературу (но- мера по спис- ку литературы)
I-I	10	МЕТАЛЛИЧЕСКИЕ ИСКОПАЕМЫЕ Ч е р н ы е м е т а л л и Железо Поселок № 2	27,101
IV-2	8	Хром Юго-западнее д. Талас	71
IV-2	10	Северо-северо-восточнее д. Карелина	71
		Ц в е т н ы е м е т а л л и Медь Колыковский Позняковский	64 101
I-2	8	Р е д к и е м е т а л л и Мolibден	4
II-1	6	р.Тура, в II км выше станицы рр.Тура и Актая	59
IV-3	4	Б л а г о род н ы е м е т а л л и Золото р.Мал.Акташ	71

Приложение 8  
Использование результатов определения химического состава рудных пород

Homog ипсог	Mечто бартина Ильюх Llopota nra mina	par A6coamor Koar-Bo	hnt hnt Bo3	par Ar-Ad Koar-Bo	Koar-Bo Koar-Bo	10-9/ r/t	отношение Ar-40/K-40	отношение Ar-40/K-40	отношение Ar-40/K-40	B 6 km K mlo-mlo-3amaly от NoC.Ga- B 3 km K mlo-mlo-3amaly от NoC.Ga- B 3 km K mlo-mlo-3amaly от NoC.Ga- B 5 km K mlo-Bocoky от Chirchirin B 3 km K cereby от A.Lazar B 3 km K cereby от A.Lazar Akitzai	Y.A.Bezler Petka ha P.Loylyayevnai D 2 km K cereby-Bocoky от A.Bozorin- Ho	
I	B 6 km K mlo-mlo-3amaly от NoC.Ga- B 3 km K mlo-mlo-3amaly от NoC.Ga- B 3 km K mlo-mlo-3amaly от NoC.Ga- B 5 km K mlo-Bocoky от Chirchirin B 3 km K cereby от A.Lazar B 3 km K cereby от A.Lazar Akitzai	430±27	4,72	155,5	0,0270	7	6	5	4	3	2	I
2	B 6 km K mlo-mlo-3amaly от NoC.Ga- B 3 km K mlo-mlo-3amaly от NoC.Ga- B 3 km K mlo-mlo-3amaly от NoC.Ga- B 5 km K mlo-Bocoky от Chirchirin B 3 km K cereby от A.Lazar B 3 km K cereby от A.Lazar Akitzai	407±4	3,64	112,5	0,02533							2
3	B 3 km K mlo-mlo-3amaly от NoC.Ga- B 3 km K mlo-mlo-3amaly от NoC.Ga- B 3 km K mlo-mlo-3amaly от NoC.Ga- B 5 km K mlo-Bocoky от Chirchirin B 3 km K cereby от A.Lazar B 3 km K cereby от A.Lazar Akitzai	447±25	1,57	56,3	0,02810							3
4	B 5 km K mlo-Bocoky от Chirchirin B 3 km K mlo-mlo-3amaly от NoC.Ga- B 3 km K mlo-mlo-3amaly от NoC.Ga- B 5 km K mlo-Bocoky от Chirchirin B 3 km K cereby от A.Lazar B 3 km K cereby от A.Lazar Akitzai	412±18	0,94	29,5	0,02620							4
5	B 3 km K mlo-mlo-3amaly от NoC.Ga- B 5 km K mlo-Bocoky от Chirchirin B 3 km K mlo-mlo-3amaly от NoC.Ga- B 5 km K mlo-Bocoky от Chirchirin B 3 km K cereby от A.Lazar B 3 km K cereby от A.Lazar Akitzai	425±12	0,94	30,2	0,02661							5
6	B 2 km K cereby-Bocoky от A.Bozorin- Ho	383±17	0,91	26,3	0,02369							6
7		325±16	3,32	80,2	0,01975							7

	I	B 800 M X 1000 m of Bottokartan ha	D. Mamatshare	Krapameen import	332t6	0,91	22,5	0,02031	8	7	II	12	13	14
	9	B 2 km K DFO-DFO-Sammary of Bottok-	Krapameen ha p. Lelatshare	Krapameen import	372t3	2,38	67,1	0,02312	9	8	10	11	12	13
	10	Jepard Geper p. Akrai, B 300 M ha-	Keke X.-U. Mocra B. I. Depkotyppa	Bonotint	318	6,47	156,2	0,02020	331	5,77	145,7	0,02112	II	
	11	Keke X.-U. Mocra B. I. Depkotyppa	Jepard Geper p. Akrai, B 3 km ha-	Bonotint	403	4,87	152,6	0,02620	403	4,87	152,6	0,02620	II	
	12	Ha Jeprom Geper p. Akrai, B 8 km	Ha Jeprom Geper p. Akrai, B 8 km	Bonotint	316t28	6,22	164,0	0,02020	316t28	6,22	164,0	0,02020	III	
	13	B I Km K Ceeppo-Sammary of	Ha Jeprom Geper p. Akrai, B 8 km	Bonotint	16,59	1,65	5,95	0,02020	16,59	1,65	5,95	0,02020	III	
	14	Ha Jeprom Geper p. Akrai, B 10 km	Ha Jeprom Geper p. Akrai, B 10 km	Bonotint	16,57-18,32	0,75-2,36	3,56-4,82	0,07-0,10	17,77	1,65	5,95	0,02020	IV	
7	59,63	0,60	16,57-18,32	0,75-2,36	3,56-4,82	0,07-0,10	1,65	1,65	1,65	1,65	1,65	1,65	1,65	
	59,69-62,65	0,30-0,70	16,57-18,32	0,75-2,36	3,56-4,82	0,07-0,10	1,65	1,65	1,65	1,65	1,65	1,65	1,65	
	59,69-62,65	0,60	16,57-18,32	0,75-2,36	3,56-4,82	0,07-0,10	1,65	1,65	1,65	1,65	1,65	1,65	1,65	
	73,10	0,39	12,93-15,36	0,53-0,97	1,55-2,51	0,04-0,05	0,35-1,60	0,35-1,60	0,35-1,60	0,35-1,60	0,35-1,60	0,35-1,60	0,35-1,60	
	70,82-74,90	0,31-0,48	12,93-15,36	0,53-0,97	1,55-2,51	0,04-0,05	0,35-1,60	0,35-1,60	0,35-1,60	0,35-1,60	0,35-1,60	0,35-1,60	0,35-1,60	
	69,19	0,39	19,59	0,65-1,14	2,44-3,87	0,06-0,07	0,66-1,33	0,66-1,33	0,66-1,33	0,66-1,33	0,66-1,33	0,66-1,33	0,66-1,33	
	68,92-69,98	0,19-0,40	14,11-14,90	0,55-1,14	2,44-3,87	0,06-0,07	0,66-1,33	0,66-1,33	0,66-1,33	0,66-1,33	0,66-1,33	0,66-1,33	0,66-1,33	
2	59,00	0,64	14,57-14,80	1,78-1,90	4,46-7,68	0,09-0,11	6,94-7,80	3,27-5,18	0,58-0,88	-	2,83-3,00	99,00-99,68	99,34	7
	48,57	0,27	15,47-18,77	3,55	7,21	0,17	4,45	2,96-4,62	0,43-1,76	0,19-0,30	2,52-6,13	99,00-100,12	99,40	

Georgian Agricultural Coctar Topsis Report, see x (Spesial)

Topsisources 9

I	B 800 M X 1000 m of Bottokartan ha	D. Mamatshare	Krapameen import	332t6	0,91	22,5	0,02031	7	6	5	4	3	2	1
8	B 2 km K DFO-DFO-Sammary of Bottok-	Krapameen ha p. Lelatshare	Krapameen import	372t3	2,38	67,1	0,02312	9	8	10	11	12	13	14
9	Jepard Geper p. Akrai, B 300 M ha-	Keke X.-U. Mocra B. I. Depkotyppa	Bonotint	318	6,47	156,2	0,02020	318	6,47	156,2	0,02020	III		
10	Keke X.-U. Mocra B. I. Depkotyppa	Jepard Geper p. Akrai, B 3 km ha-	Bonotint	331	5,77	145,7	0,02112	331	5,77	145,7	0,02112	II		
11	Keke X.-U. Mocra B. I. Depkotyppa	Jepard Geper p. Akrai, B 3 km ha-	Bonotint	403	4,87	152,6	0,02620	403	4,87	152,6	0,02620	II		
12	Ha Jeprom Geper p. Akrai, B 8 km	Ha Jeprom Geper p. Akrai, B 8 km	Bonotint	316t28	6,22	164,0	0,02020	316t28	6,22	164,0	0,02020	III		
13	B I Km K Ceeppo-Sammary of	Ha Jeprom Geper p. Akrai, B 8 km	Bonotint	16,59	1,65	5,95	0,02020	16,59	1,65	5,95	0,02020	III		
14	Ha Jeprom Geper p. Akrai, B 10 km	Ha Jeprom Geper p. Akrai, B 10 km	Bonotint	16,57-18,32	0,75-2,36	3,56-4,82	0,07-0,10	17,77	1,65	5,95	0,02020	IV		

Topsisources 8

I	67.95	0.41	15.83	1.04	1.80	0.03	2.84	3.56	4.50	0.24	-	1.06	1.96	14
I	69.30	0.40	15.00	1.12	2.59	0.05	3.96	4.50	0.24	-	1.16	-	1.02	99.26
I	70.96	0.48	16.24	0.51	1.97	1.71	1.17	1.87	1.72	0.71	0.71	1.07	1.95	99.22
I	74.67	0.32	12.19	1.19	2.31	1.06	0.05	1.98	0.05	0.25	0.25	0.08	0.16	99.20
I	76.86	0.29	17.36	1.17	1.79	1.72	1.14	1.79	1.72	0.72	0.72	1.07	1.95	99.18
I	78.33	0.48	16.34	0.51	1.97	1.71	1.17	1.87	1.72	0.71	0.71	1.07	1.95	99.16
I	80.00-71.73	0.13-0.24	15.78-16.90	0.31-0.71	1.34-1.60	0.22-0.40	2.27-3.20	4.54-6.55	0.60-1.58	0.45-0.72	0.04	0.04	0.04	99.20
I	85.89	0.29	17.53	3.82	3.82	3.82	3.82	3.82	3.82	3.82	3.82	3.82	3.82	99.19-99.65
3	53.89	0.69	17.53	3.82	3.82	3.82	3.82	3.82	3.82	3.82	3.82	3.82	3.82	99.19-99.65
4	59.29	0.54	17.24-17.85	3.17-3.86	4.57-5.20	0.12-0.28	3.32-4.14	6.49-7.96	0.75-2.66	0.13-1.40	1.10	2.10	2.10	99.16-99.22
5	49.46	1.29	15.23	4.19	6.33	0.21	5.55	3.88	0.87	0.29	2.91	2.91	2.91	99.22
6	45.66-65.77	0.20-2.27	13.95-16.23	2.22-7.05	2.22-8.01	0.15-0.28	3.28-5.79	6.02-8.59	2.47-5.51	0.67-1.22	0.23-0.41	1.84-1.10	1.84-1.10	97.15-100
7	32.72-41.11	0.22-0.33	13.53-14.45	0.66-0.99	0.44-0.75	0.16-0.19	3.50-5.50	4.34-4.49	0.22-0.41	0.14	0.12	0.12	0.12	99.0-99.53
8	31.13	0.65	16.68	3.53	3.53	3.53	3.53	3.53	3.53	3.53	3.53	3.53	3.53	99.27
9	49.44-61.66	0.23	16.68	3.53	3.53	3.53	3.53	3.53	3.53	3.53	3.53	3.53	3.53	99.27
10	50.69	0.73	16.68	3.53	3.53	3.53	3.53	3.53	3.53	3.53	3.53	3.53	3.53	99.27

;programee approx.9

I	56.34	0.69	16.83	3.53	3.53	3.53	3.53	3.53	3.53	3.53	3.53	3.53	3.53	99.24
I	49.32	0.70	15.93	3.53	3.53	3.53	3.53	3.53	3.53	3.53	3.53	3.53	3.53	99.27
I	72.87	0.25	13.71	0.94	2.20	0.06	0.57	2.71	4.49	0.70	0.67	0.07	0.07	100.10
I	47.90	1.10	18.65	4.57	6.39	2.59	1.12	1.12	1.28	0.71	1.12	1.12	1.12	99.25
I	51.65	0.69	15.83	3.53	3.53	3.53	3.53	3.53	3.53	3.53	3.53	3.53	3.53	99.25
I	48.10	0.39	12.20	0.10	1.10	0.05	0.19	0.19	0.19	0.19	0.19	0.19	0.19	100.1
I	40.58-41.44	0.28-1.05	15.53	0.10	1.10	0.05	0.16	1.14	4.49	0.70	0.67	0.07	0.07	100.0-100.63
2	37.48-39.66	0.39-0.51	12.49-20.23	1.36-6.30	6.11-7.22	0.03-0.17	1.41-9.72	2.56-5.47	0.04-0.76	0.36	2.25	2.25	2.25	99.18-100.15
3	51.65	0.69	15.83	3.53	3.53	3.53	3.53	3.53	3.53	3.53	3.53	3.53	3.53	99.25
4	49.32	0.70	15.93	3.53	3.53	3.53	3.53	3.53	3.53	3.53	3.53	3.53	3.53	99.27
5	72.87	0.25	13.71	0.94	2.20	0.06	0.57	2.71	4.49	0.70	0.67	0.07	0.07	100.10
6	47.90	1.10	18.65	4.57	6.39	2.59	1.12	1.12	1.28	0.71	1.12	1.12	1.12	99.25
7	51.65	0.69	15.83	3.53	3.53	3.53	3.53	3.53	3.53	3.53	3.53	3.53	3.53	99.25
8	48.10	0.39	12.20	0.10	1.10	0.05	0.19	0.19	0.19	0.19	0.19	0.19	0.19	100.1
9	40.58-41.44	0.28-1.05	15.53	0.10	1.10	0.05	0.19	0.19	0.19	0.19	0.19	0.19	0.19	100.0-100.63
10	59.67	0.67	18.38	1.94	2.87	0.16	1.22	1.28	4.56	0.69	1.23	1.23	1.23	99.10-100.67
1	52.62-54.54	0.58-0.70	15.53-16.83	4.03-6.28	1.55-2.69	1.35-4.44	0.08-0.25	1.03-2.24	0.98-2.37	3.18-6.57	5.44-9.31	0.25-0.50	0.25-2.52	100.02
2	33.90	0.51	14.20	0.13	1.22	0.15	0.15	1.22	1.28	4.56	0.69	1.23	1.23	100.22
3	52.62-54.54	0.58-0.70	15.53-16.83	4.03-6.28	1.55-2.69	1.35-4.44	0.08-0.25	1.03-2.24	0.98-2.37	3.18-6.57	5.44-9.31	0.25-0.50	0.25-2.52	100.02
4	33.90	0.51	14.20	0.13	1.22	0.15	0.15	1.22	1.28	4.56	0.69	1.23	1.23	100.22
5	59.67	0.67	18.38	1.94	2.87	0.16	1.22	1.28	4.56	0.69	1.23	1.23	1.23	99.10-100.67
6	33.90	0.51	14.20	0.13	1.22	0.15	0.15	1.22	1.28	4.56	0.69	1.23	1.23	100.22
7	49.44-61.66	0.23	16.68	3.53	3.53	3.53	3.53	3.53	3.53	3.53	3.53	3.53	3.53	99.27
8	50.69	0.73	16.68	3.53	3.53	3.53	3.53	3.53	3.53	3.53	3.53	3.53	3.53	99.27
9	49.44-61.66	0.23	16.68	3.53	3.53	3.53	3.53	3.53	3.53	3.53	3.53	3.53	3.53	99.27
10	59.67	0.67	18.38	1.94	2.87	0.16	1.22	1.28	4.56	0.69	1.23	1.23	1.23	99.10-100.67

;programee approx.9

№I - Ichnih (j<sub>1-5-p<sub>1</sub></sub>): 2-4 - silexplity, necin, tazeminkin (zavtyppokan contra - j<sub>1n</sub>): 5 - necin  
 №II - Ichnih (j<sub>1-5-p<sub>1</sub></sub>): 6-7 - arleplity, necin, tazeminkin (zavtyppokan contra - j<sub>1n</sub>): 10-II - necin, prepok (zavtyppokan contra - k<sub>2</sub>ra): 8-9 - necin, tazeminkin (zavtyppokan contra - k<sub>2</sub>ra): 10-II - necin, prepok (zavtyppokan contra - k<sub>2</sub>ra): 11-2-k<sub>2</sub>r): 12-13 - necin, prepok (zavtyppokan contra - k<sub>2</sub>ra).

I	69,24	72,56	0,33	14,27	0,90	1,60	0,95	0,60	1,66	4,05	3,27	0,10	0,18	99,66
II	10	13,8	6,4	3,9	6,1	4,1	1,1	0,7	1,8	3,1	1,1	0,05-0,01	0,001	
III	10	10-5	5-3	3-1	1-0,6	0,5-0,25	0,25-0,10	0,10-0,05	0,05-0,01	0,001				
IV	-	-	-	-	Gzhern	2,7	6,6	3,0	7,5	2,5	3,4	14,6	38,2	33,4
V	-	-	-	-	6,1	9,0	9,0	14,7	23,6	2,4	2,9	37,7	32,0	37,2
VI	-	-	-	-	4,0	5,6	3,2	21,7	1,6	2,4	1,4	6,0	33,4	37,7
VII	-	-	-	-	8,4	6,6	27,5	27,5	21,7	2,4	2,9	14,6	38,2	33,4
VIII	-	-	-	-	0,3	0,5	2,0	5,9	23,6	13,8	44,2	59,0		
IX	-	-	-	-	6,4	3,9	6,1	4,1	1,1	0,7	0,5-0,25	0,25-0,10	0,10-0,05	0,05-0,01
X	-	-	-	-	13,8	6,4	3,9	6,1	4,1	1,1	0,05-0,01	0,001		
XI	-	-	-	-	2,4	4,8	14,2	14,5	11,6	9,5	2,5	4,6	15,6	17,5
XII	-	-	-	-	7,0	6,3	5,1	4,9	3,9	1,9	2,3	1,1	36,2	32,0
XIII	-	-	-	-	27,0	3,5	4,2	4,5	11,6	19,2	3,9	3,0	26,9	26,9
XIV	-	-	-	-	27,0	24,1	18,7	6,2	2,2	3,5	2,7	4,0	11,6	

Спектр ліній зондового джерела (%) по масовим (м)

Лінійкенне ID

I	2	3	4	5	6	7	8	9	10	II	III	IV	V	VI
I	69,24	72,56	0,33	14,27	0,90	1,60	0,95	0,60	1,66	4,05	3,27	0,10	0,18	99,66
II	10	13,8	6,4	3,9	6,1	4,1	1,1	0,7	1,8	3,1	1,1	0,05-0,01	0,001	
III	10	10-5	5-3	3-1	1-0,6	0,5-0,25	0,25-0,10	0,10-0,05	0,05-0,01	0,001				
IV	-	-	-	-	Gzhern	2,7	6,6	3,0	7,5	2,5	3,4	14,6	38,2	33,4
V	-	-	-	-	6,1	9,0	9,0	14,7	23,6	2,4	2,9	14,6	38,2	33,4
VI	-	-	-	-	4,0	5,6	3,2	21,7	1,6	2,4	1,4	6,0	33,4	37,7
VII	-	-	-	-	8,4	6,6	27,5	27,5	21,7	2,4	2,9	14,6	38,2	33,4
VIII	-	-	-	-	0,3	0,5	2,0	5,9	23,6	13,8	44,2	59,0		
IX	-	-	-	-	6,4	3,9	6,1	4,1	1,1	0,7	0,5-0,25	0,25-0,10	0,10-0,05	0,05-0,01
X	-	-	-	-	13,8	6,4	3,9	6,1	4,1	1,1	0,05-0,01	0,001		
XI	-	-	-	-	2,4	4,8	14,2	14,5	11,6	9,5	2,5	4,6	15,6	17,5
XII	-	-	-	-	7,0	6,3	5,1	4,9	3,9	1,9	2,3	1,1	36,2	32,0
XIII	-	-	-	-	27,0	3,5	4,2	4,5	11,6	19,2	3,9	3,0	26,9	26,9
XIV	-	-	-	-	27,0	24,1	18,7	6,2	2,2	3,5	2,7	4,0	11,6	

Лінійкенне ID

Homēpa o rba xinh n Mōmōcīn c t pāt n l pā f n y e o k n x												
H o m e p a n g e n e n g i n e e r i n g , M												
G r a n t p a t h e n e												
6,0	31	5	I	4	10	29	8	37	45			
40												
6,0	7,0	5,9	I,9	I,0	II,0	2,7	2,6	I,0	4,5			
16,8	10,6	0,8	I,0	3,5	0,5	3,7	10,2	68,8	5,7			
44,8	30,8	IIA,2	46,9	57,5	34,0	63,0	92,0	105,1	41,0			
Tyōnha crēa-												
Xinh, M												
Mōmōcīn kāpē-	I-2	I-2	I-3	I-3	I-3	I-3	I-4	I-4	II-I			
Mōmōcīn kāpē-	I-2	I-2	I-3	I-3	I-3	I-3	I-4	I-4	II-I			
Mōmōcīn kāpē-	16,8	10,6	0,8	I,0	3,5	0,5	3,7	10,2	68,8	5,7		
J1-s-p1												
K1-2ms												
K2km												
K2fd												
P1-t1												
P2sr												
P3tr												
P3nr												
N1-2kr												
G												

## II pāt n l pā f n y e o k n x

Homēpa o rba xinh n Mōmōcīn c t pāt n l pā f n y e o k n x												
H o m e p a n g e n e n g i n e e r i n g , M												
G r a n t p a t h e n e												
8,0	6,8	3,0	I,0	2,0	4,4	9,0	17,0	10,0	3,0	5,0		
2	6	9	I7	3326	4070	7	3264	3130	3135	19		
Peocyp creesn, nōkasshnx ha mīcīe 0-41-3II Tocymapctrehon												
reaciotnēgēcīo kāpēi CCCP Macimtaa 1:200000												
II pāt n l pā f n y e o k n x												
J1-s-p1												
K1-2ms												
K2km												
K2fd												
P1-t1												
P2sr												
P3tr												
P3nr												
N1-2kr												
G												





## ОГЛАВЛЕНИЕ

Введение .....	3
Геологическая изученность .....	5
Стратиграфия .....	II
Интузивные образования .....	54
Тектоника .....	69
Геоморфология .....	79
Полезные ископаемые .....	82
Подземные воды .....	92
Оценка перспектив района .....	99
Литература .....	106
Приложения .....	II5

Государственная  
геологическая карта СССР  
масштаба 1:200000

Серия Среднеуральской  
Лист 0-41-II

Объяснительная записка

Редакторы: М.И. Лепинг, Т.Г. Грабежева  
Технический редактор Э.М. Дякович

Подписано к печати 1.08.85. Формат 60x80. 1/16 лист. 5.75.  
Уч.-изд. л. 6.04, тираж 200 экз. Заказ 137.

62044, Свердловск, Вайнера 55. Геолого-карографическая  
партия, УГСЗ, обединение "Уралгеология".